



Spedizione in abbonamento postale - Gruppo III

# *l'antenna*

Anno XXIX - Luglio 1957

NUMERO

# 7

LIRE 350

## strumenti elettrici di misura

radio  
televisione  
telefonia  
galvanoplastica  
elettroterapia



|                                |                 |
|--------------------------------|-----------------|
| MOD. C.I.8.R. a magnete        | flangia 102x125 |
| MOD. A.I.8.R. elettromagnetici |                 |
| MOD. C.I.6.R. a magnete        | flangia 80x90   |
| MOD. A.I.6.R. elettromagnetici |                 |
| MOD. C.I.5.R. a magnete        | flangia 60x70   |
| MOD. A.I.5.R. elettromagnetici |                 |

*Cassinelli & C.*

MILANO

VIA GRADISCA 4 - TEL. 991.121 - 966.014

DAVOR ST

FABBRICA STRUMENTI  
ELETTRICI DI MISURA  
MILANO



VIA GRADISCA, 4  
TELEFONO 991.121 - 966.014  
NUOVA SEDE PROPRIA



LABORATORI ELETTRONICI



SEZIONE PROFESSIONALE

VIA PANTELLERIA N. 4 - MILANO - TELEF. 991267 - 991268



### Generatore VHF 48 ÷ 270 MHz mod. 5126

#### Caratteristiche tecniche

Gamma di frequenza: 48÷270 MHz ricoperta con continuità  
Circuito risonante: a farfalla  
Tubo oscillatore: 2/EC81 Philips  
Precisione di frequenza: 1,5%  
Potenza di uscita: 0,5 Watt  
Impedenza di uscita: 50 Ohm o 75 Ohm, a richiesta  
Possibilità di modulazione esterna  
Alimentazione: da rete 110, 125, 145, 160, 220 V. - 42÷60 Hz  
Dimensioni: 260 x 200 x 180 mm

### Generatore UHF di segnali campione 230 - 950 MHz mod. 527

#### Caratteristiche tecniche

Gamma di frequenza: 230÷950 MHz  
Precisione di frequenza:  $\pm 1\%$   
Tensione di uscita: variabile con continuità da 1  $\mu$ V a 1 Volt  
Precisione sulla tensione di uscita:  $\pm 10\%$   
Impedenza di uscita: 50 Ohm (bocchettone tipo «N»)  
Circuito risonante: a farfalla  
Tubo oscillatore: EC55 Philips  
Filtro di blocco regolabile per la seconda armonica incorporato  
Modulazione di ampiezza:  
— Interna: da 0 al 70% con variazione continua  
— Frequenze di modulazione: 400 e 1000 Hz  
— Esterna: da 30 Hz a 7 MHz  
Distorsione dell'involuppo: minore del 5% al 60% di modulazione  
Alimentazione: dalla rete 110-125-145-160-220 V 42÷60 Hz  
Valvole impiegate: N. 6:  
1/EC55 - 2/6AU6 - 1/50B5 - 1/85A2 - 1/6X4  
Dimensioni: 482 x 265 x 200 mm



### Generatore UHF 230 ÷ 950 MHz mod. 5116

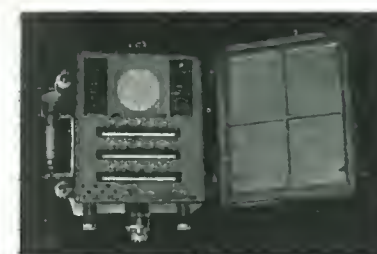
#### Caratteristiche tecniche

Gamma di frequenza: 230÷950 MHz ricoperta con continuità  
Circuito risonante: a farfalla  
Tubo oscillatore: EC55 Philips  
Precisione di frequenza: 1,5%  
Potenza di uscita: 0,5 Watt  
Impedenza di uscita: 50 Ohm o 75 Ohm, a richiesta  
Possibilità di modulazione esterna  
Alimentazione: da rete 110, 125, 145, 160, 220 V. - 42÷60 Hz  
Dimensioni: 260 x 200 x 180 mm

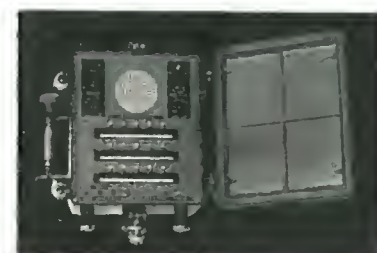


FILIALI: ROMA - VIA AMATRICE, 15 - NAPOLI - VIA ROMA, 28

## IMPIANTI TRASMISSIONI ORDINI E MUSICA PER BORDO



POSTO  
COMANDO  
COMMISSARIO



POSTO  
COMANDO  
TIMONERIA

CENTRALE M.F.R.  
AMPLIFICATRICE CON  
COMANDO A DISTANZA



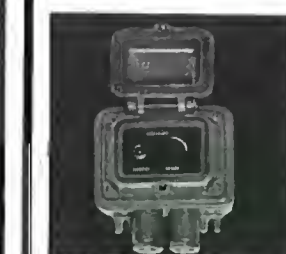
REGOLATORE  
DI VOLUME



ALTOPARLANTE  
A LINEE  
DI SUONO  
PER INTERNO



ALTOPARLANTE  
A TROMBA  
PER ESTERNO



REGOLATORE  
DI VOLUME

**SIEMENS**  
SOCIETÀ PER AZIONI  
MILANO

### SIEMENS SOCIETÀ PER AZIONI - MILANO

VIA FABIO FILZI 29 - TELEFONO 69.92

#### STABILIMENTI IN MILANO

#### UFFICI REGIONALI

|   |                                   |                                       |  |   |                                     |                                   |  |                                       |                                      |
|---|-----------------------------------|---------------------------------------|--|---|-------------------------------------|-----------------------------------|--|---------------------------------------|--------------------------------------|
| BOLOGNA<br>T. 26.646<br>V. Riva Reno 65 | CATANIA<br>T. 16.461<br>V. Pacini | FIRENZE<br>T. 23.761<br>P. Stazione 1 | GENOVA<br>T. 54.061<br>V. D'Annunzio 1 | MILANO<br>T. 66.71.41<br>V. Locatelli 5 | NAPOLI<br>T. 25.193<br>V. Medina 40 | PADOVA<br>T. 38.761<br>V. Verdi 6 | ROMA<br>T. 68.77.91<br>P. Mignanello 3 | TORINO<br>T. 49.072<br>V. S. Teresa 3 | TRIESTE<br>T. 38.942<br>V. Trento 15 |
|---|-----------------------------------|---------------------------------------|--|---|-------------------------------------|-----------------------------------|--|---------------------------------------|--------------------------------------|

LEONARDO  
P. L. Da Vinci 5

OCE  
V. Pontenuovo 98

ISARIA  
V. De Castilia 21

MONTEROSA  
V. Monterosa 83

SAN SIRO  
P.le Zavattari





*Condorino*  
**TVP 2**

17" pollici  
soprammobile  
L. 118.000  
consolle  
L. 125.000

In vendita  
in tutta Italia  
presso i migliori  
rivenditori



*Condorino*  
**TVP 22**

21" pollici  
soprammobile  
L. 168.000  
consolle  
L. 175.000

*Condor*  
**Giant 90L**

stabilizzatore  
automatico  
condor



mod. 2080  
L. 18.800

21" pollici  
lusso  
soprammobile  
L. 225.000



**DOTT. ING. GIUSEPPE GALLO**

s.p.a. elettromeccanica *Condor*

VIA UGO BASSI, 23A - MILANO - TELEF. 694.267 - 600.628

Non dimenticate di acquistare, presso  
tutte le Edicole, il terzo numero di

# alta fedeltà

*la nuova Rivista che fino dai primi  
numeri ha suscitato l'interessamento  
di tutti i tecnici del ramo ed in spe-  
cial modo di coloro che hanno la pas-  
sione della buona musica e che sono  
alla continua ricerca di quanto di me-  
glio e di più pratico viene spiegato  
ed illustrato.*

La rivista è ad essi dedicata e per essi si sta svolgendo un  
lavoro serio ed impegnativo per assolvere a tale compito.  
Il materiale è suddiviso in modo da soddisfare le due cate-  
gorie di lettori; ne è garanzia la competente ed attiva dire-  
zione del dott. ing. Antonio Nicolich, ben noto per la sua  
opera anche in questo campo.

*Leggetela, fatela leggere, suggeritela  
ai vostri amici.*

Un numero separato L. 250

Abbonamento annuo, 12 numeri, L. 2.500 + 50 i.g.e.

EDITRICE IL ROSTRO - MILANO (228) - VIA SENATO 28





# PROGRESSIVA ESPANSIONE ALTOPARLANTI

NUOVA REALIZZAZIONE DELLA

**University Loudspeakers**

80 Sout Kensico Ave. White Plains, New York

PER IL MIGLIORAMENTO PROGRESSIVO  
DELL'ASCOLTO

## Amatori dell'Alta Fedeltà!

La « UNIVERSITY » ha progettato i suoi famosi diffusori in modo da permetterVi oggi l'acquisto di un altoparlante che potrete inserire nel sistema più completo che realizzerete domani.

12 piani di sistemi sonori sono stati progettati e la loro realizzazione è facilmente ottenibile con l'acquisto anche in fasi successive dei vari componenti di tali sistemi partendo dall'unità base, come mostra l'illustrazione a fianco.

Tali 12 piani prevedono accoppiamenti di altoparlanti coassiali, triassiali, a cono speciale, del tipo « **extended range** » con trombetta o « **woofers** » e con l'impiego di filtri per la formazione di sistemi tali da soddisfare le più svariate complesse esigenze.

## Seguite la via tracciata dalla « UNIVERSITY »!

Procuratevi un amplificatore di classe, un ottimo rivelatore e delle eccellenti incisioni formando così un complesso tale da giustificare l'impiego della produzione « UNIVERSITY ». Acquistate un altoparlante-base « UNIVERSITY », che già da solo vi darà un buonissimo rendimento, e... sviluppate il sistema da voi prescelto seguendo la via indicata dalla « UNIVERSITY ».

Costruite il vostro sistema sonoro coi componenti « UNIVERSITY » progettati in modo che altoparlanti e filtri possono essere facilmente integrati per una sempre migliore riproduzione dei suoni e senza tema di aver acquistato materiale inutilizzabile.

Per informazioni, dettagli tecnici, prezzi consegne, ecc. rivolgersi ai:

Distributori esclusivi per l'Italia:

**PASINI & ROSSI - Genova**

Via SS. Giacomo e Filippo, 31 (1° piano) Tel. 83.465 - Telegr. PASIROSSI

Ufficio di MILANO: Via A. da Recanate, 5 - Telefono 278.855

La Ditta **FAE** è lieta di presentare il nuovo

## Stabilizzatore automatico

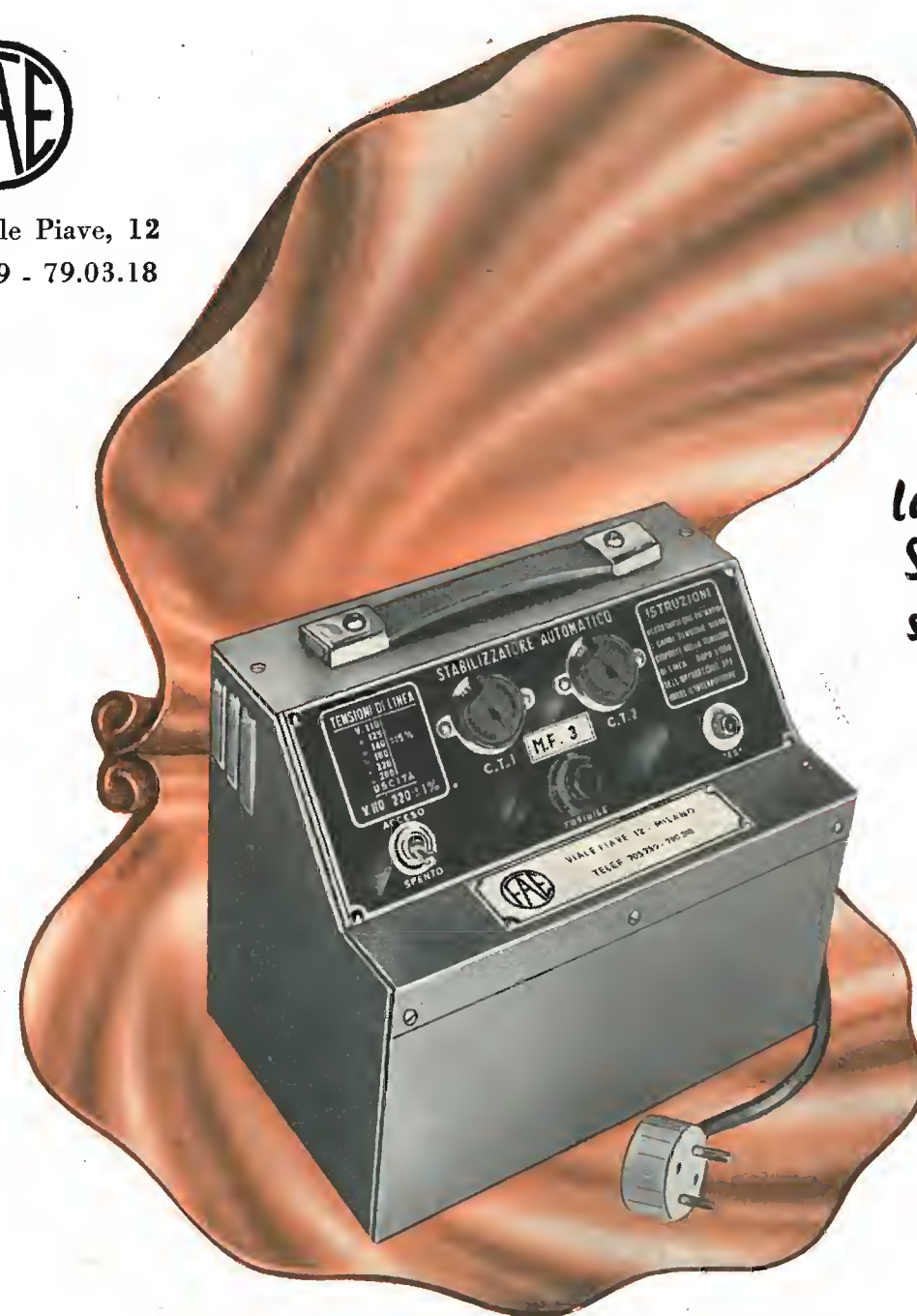
**M.F. 3 e M.F. 4**

con circuito correttore della forma d'onda



Milano - Viale Piave, 12

Tel. 70.57.39 - 79.03.18



*la perla degli  
Stabilizzatori  
sicurezza del  
televisore*

## CARATTERISTICHE TECNICHE

|                                     |  |
|-------------------------------------|--|
| Potenza d'uscita . . . . .          | 200 V.A. o 300 V.A.                                |
| Tensioni d'entrata . . . . .        | 110-125-140-160-220-280 V.                         |
| Tensioni d'uscita . . . . .         | 110-220 V.   |
| Frequenza . . . . .                 | 50 Hz.   |
| Stabilizzazione . . . . .           | 1% per $\pm 15\%$ tensione entrata                 |
| Limite di stabilizzazione . . . . . | variazione del $\pm 50\%$ sulla tensione d'entrata |





**SOCIETÀ ITALIANA APPARECCHIATURE ELETTRONICHE**  
MILANO - Via Ponte Seveso, 43 - Tel. 60.30.61



### ANALIZZATORE ELETTRONICO MOD. 524C

#### Impedenza d'entrata:

in c.c. = 100 Mohm costanti su tutte le portate

in c.a. = esecuzione in semplice picco = 4 Mohm circa in parallelo a 5 pF

esecuzione a doppio picco = 6 Mohm in parallelo a 15 pF misurati a 50 c/s.

Portate c.c.: 1 - 3 - 10 - 30 - 100 - 300 - 1000 Volt f.s.

Portate c.a.: 1 - 3 - 10 - 30 - 100 - 300 Volt f.s.

Portate in ohm: 10 - 100 ohm; 1 - 10 - 100 Kohm f.s.

Probe R.F.: da 40 c/s a 200 Mc/s.

### GENERATORE T.V. MOD. 303

MASSIMA PRECISIONE  
ESTREMA PRATICITA'  
E VELOCITA' DI TARATURA

#### Caratteristiche:

Frequenza d'uscita: corrispondente ai nove canali europei. Canale media frequenza.

Tipo di marcatori: ad intensificazione luminosa su asse Z

Linearità di ampiezza:  $\pm 1$  dB per  $\Delta F = 18$  Mc/s



**SOCIETÀ ITALIANA APPARECCHIATURE ELETTRONICHE**

## FONOVALLIGIE A TRANSISTORI

La grande novità della Nova alla Fiera di Milano 1957

#### 2 modelli:

PIC - NIC 1: a 45 giri

PIC - NIC 3: a 3 velocità



Grandi vantaggi rispetto alle comuni valigette:

- funzionamento dovunque: in spiaggia, in barca, in campagna, in montagna, in macchina
- dotate di un micromotore speciale e di un amplificatore a transistor, hanno un consumo irrisorio e funzionano con comuni pilette da tasca a 6 Volt.
- circuito ed altoparlante studiato per un elevatissimo rendimento
- dimensioni e peso ridottissimo
- si usano anche in casa, perchè il costo di esercizio è ridotto a L. 3 per ora di funzionamento
- si elimina completamente ogni dipendenza da una presa di corrente e dall'adattamento della tensione di rete
- non hanno valvole e quindi durata praticamente illimitata.

Entrambi i tipi hanno un amplificatore con 4 transistori, altoparlante di alto rendimento, motore elettrico con consumo di 40 mA. a 6 Volt, con speciale autoregolatore di giri, che mantiene costante la velocità entro la variazione di tensione da 4 a 6 Volt.

Custodia elegante a due colori, con parti metalliche dorate.



#### Modello PIC - NIC 1

dimensioni: 250 x 160 x 170 mm.

peso: 2,950 Kg.

Prezzo di vendita al pubblico Lire 39.900

#### Modello PIC - NIC 3

dimensioni: 360 x 260 x 160 mm.

peso: 4,800 Kg.

Prezzo di vendita al pubblico Lire 59.900

**CHIEDETECI OGGI STESSO PROSPETTI ILLUSTRATIVI**



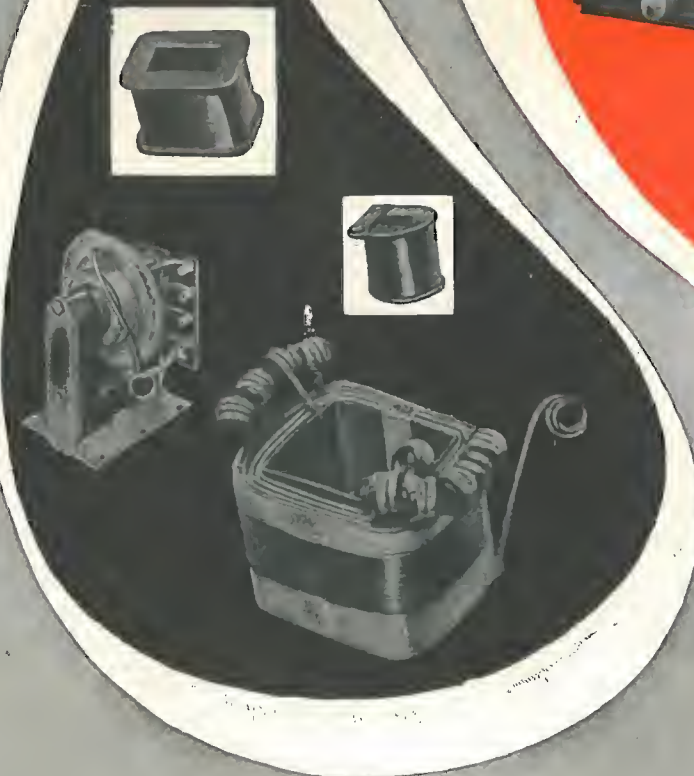
UFFICI E STAB. A NOVATE MILANESE - VIA C. BATTISTI, 21 - TEL. 970.861 - 970.802





## BOBINATRICI MARSILLI

LE MACCHINE PIÙ  
MODERNE PER QUALSIASI  
TIPO DI AVVOLGIMENTO



PRODUZIONE DI 20  
MODELLI DIVERSI DI MAC-  
CHINE CON ESPORTAZIONE  
IN TUTTO IL MONDO

ANGELO MARSILLI - VIA RUBIANA, 11 - TORINO - TELEFONO 73.827



*"La marca più richiesta"*

TELEVISORI 17" - 21"  
TUBO CATODICO ORIGINALE AMERICANO

**DUMONT \***

DISTRIBUTORE:

**F. GALBIATI**

MILANO - VIA LAZZARETTO 17-14  
TELEFONI: 664.147 - 652.097

\* La più grande produzione del Mondo di tubi a raggi catodici.





..... la massima fedeltà  
con radioricevitori e radiofonografi

# geloso

Chiedere dati e prezzi alla:

**GELOSO S. p. A. - Viale Brenta, 29 - MILANO 808**

# HEWLETT-PACKARD co.

PALO ALTO (U. S. A.)

## NUOVO VOLTMETRO ELETTRONICO

Mod. 400 H

precisione 1% !

- Campo di frequenza: da 10 Hz a 4 MHz.
- Precisione: 1% da 50 Hz a 500 KHz.
- Resistenza d'ingresso: 10 megaohm.
- 12 portate: da 0,1 mV a 300 V.
- Letture dirette in volt o db., indipendenti dalle variazioni di tensione della rete di alimentazione



**Universalmente applicabile** grazie all'ampio campo di misura e di frequenza. Scala a specchio. Altissima precisione, mai finora offerta da un voltmetro di uso generale. Protezione contro sopratensioni fino a 600 volt in tutte le portate.

## ALTRI VOLTMETRI ELETTRONICI -hp-

### Mod. 410 B

Voltmetro a valvola di uso generale e con larghissimo campo di frequenza da 20 Hz sino a 700 MHz - serve anche come VTVM in c.c. con impedenza di 100 megaohm e come ohmmetro per misure da 0,2 a 500 megaohm - Capacità d'ingresso 1,5 pF - impedenza d'ingresso 10 megaohm - Impiega un probe a diodo che elimina praticamente ogni carico dovuto ai conduttori.

| Modello | Usi principali  | Campo di frequenza | Campo di misura                | Impedenza d'ingresso       |
|---------|---|--------------------|--------------------------------|----------------------------|
| 400 AB  | Misure in c.a. di carattere generale  | 10 Hz - 600 KHz    | 0,003 mV - 300 V<br>11 portate | 10 megaohm<br>shunt 25 pF  |
| 400 D   | Misure in c.a. su ampio campo di frequenza. Alta sensibilità.               | 10 Hz - 4 MHz      | 0,001 mV - 300 V<br>12 portate | 10 megaohm<br>shunt 15 pF  |
| 400 H   | Alta precisione, largo campo di frequenza                                   | 10 Hz - 4 MHz      | 0,001 - 300 V                  | 10 megaohm<br>shunt 15 pF  |
| 410 B   | Misure in c.c., audio frequenza, R. F., VHF - Resistenze sino a 500 Megaohm | 20 Hz - 700 MHz    | 0,001 V - 300 V<br>7 portate   | 10 megaohm<br>shunt 1,5 pF |

Accessori comprendenti divisori e moltiplicatori di tensione, connettori, shunt milliamperometrici estendono al massimo l'applicabilità dei voltmetri -hp-

**STRUMENTI DI MISURA DI PRECISIONE PER TELEFONIA, RADIO, TV**

AGENTE  
ESCLUSIVO  
PER L'ITALIA:

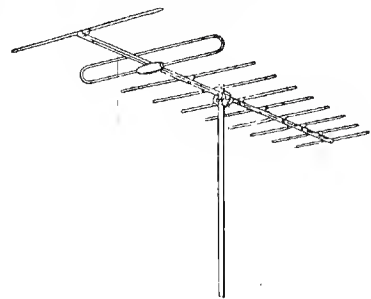
**DOTT. ING. M. VIANELLO**

Via L. Anelli, 13 - MILANO - Telefono 553.081



# ARTI

VIA EDOLO 27 - MILANO - TEL. 683718



## ANTENNE "BABERG", TV - FM

(Fabbricazione nazionale ARTI su licenza germanica)



## Stabilizzatori di tensione "TELM", per tutte le applicazioni

- Tensione alimentazione: universale
- Tensione d'uscita: 115 220 V con stabilità dell'1,5 % rispetto al  $\pm 20\%$  della tensione d'alimentazione e dell'1 % per variazione dell'1 % della frequenza di alimentazione.
- Forma d'onda: corretta
- Frequenza: 50 Hz
- Potenza: 200 - 250 - 300 - 350 V A
- Rendimento: 85% circa
- Fattore di potenza: 0,85
- Temperatura a vuoto a pieno carico secondo norme C.E.I.
- Flusso disperso: alla distanza minima di 50 ÷ 60 cm. non ha più nessuna influenza sugli apparecchi alimentati.
- Funzionamento: anche a vuoto senza pericoli di guasti.
- Garanzia: anni uno.
- Costruzione di stabilizzatori automatici di tensione a ferro saturo della potenza da 10 a 3.000 V. A. per usi industriali.

tutto per  
la Radio  
e TV



VALVOLE  
CINESCOPI  
PARTI STACCATE  
ELETTRODOMESTICI

## MELCHIONI S.p.A.

Via Friuli 16 e 18 - MILANO - Tel. 585.893

RICHIEDETE IL CATALOGO GENERALE

## s. r. l. "LA SINFONICA"

Via S. Martino, 14 - telefono n. 84 82.020 - MILANO - Via S. Lucia, 2 - telefono n. 84.82.020

è stata sempre all'avanguardia con la  
"Tecnica al servizio dell'economia"



ora con Mod. "Avanti e Indrè" depositato  
"l'elettronica al servizio dell'automazione"

1) E' l'interfonico più economico esistente sul mercato.

### 2) Non è una normale radio

Ma una radio speciale con la Nuova serie valvole PHILIPS per TV e M.F. e può servire da centralino radio e far funzionare 5 altoparlanti sussidiari contemporaneamente.

Uso: Come radio-interfonico, nelle Case private — Cliniche — Negozi — Ristoranti — Ville — Studi professionali — Ambulanze — Scuole Collegi.

Prezzo: listino completo di sussidiario . . . . . L. 29.500  
sussidiari complementari . . . . . L. 3.500

Con « Avanti e Indrè » - sarete entusiasti.

### Concessionari esclusivi

Milano - Rag. MARIATTI AMEDEO - Via S. Martino, 8 -  
Telef. 850.768

Emilia - S.r.l. CO-Marte - Via Boldrini, 5 - Bologna -  
Telef. 22.463

Piacenza - REFIT - Via Roma, 35 - Telef. 2561

Lazio - Puglia - Marche - Toscana - Umbria - Calabria -  
Basilicata - Sardegna - S.p.a. REFIT - Roma - Via Na-  
zionale, 67 - Telef. 44.217. — Milano - Via F.lli  
Bronzetti, 17 - Tel. 723.223

Liguria - Rag. GIANNI CICERI - Via XX Settembre, 14/9 -  
Genova - Telef. 51.883

Veneto - Organizzazione BOSOVICH - Ing. IVONE - Via  
Mestrina, 33 - Mestre (Venezia) - Telef. 51.836

Sicilia - Rappresentanze Radio - Corso Finocchiaro Aprile,  
n. 219 - Palermo

Campania - ODDO ACHILLE - Via Novara, 1 - Napoli -  
Telef. 56.829

Piemonte - ZAGNI - Piazza Donegani, 3 - Milano - Te-  
lef. 239.089



# A.L.I.

AZIENDA LICENZE INDUSTRIALI

FABBRICA APPARECCHI E MATERIALI RADIO TELEVISIVI

**ANSALDO LORENZ INVICTUS**

MILANO - VIA LECCO, 16 - TEL. 221.816 - 276.307 - 223.567

Ansaldo  
5 valvole  
onde medie e  
corte L. 7.300

Valigetta con  
Ansaldo 1° e  
motorino a 3 vel.  
L. 23.000

Ansaldo a  
modulazione  
comando a  
tastiera e ascolto  
programma TV  
separato  
L. 22.500



Provavalvole completo di tutti gli zoccoli  
per Radio-TV - subminiatur e adattore per  
la prova a tubi R.C. L. 28.000  
lo stesso con analizzatore 20.000 ohm/volt  
L. 42.000

Analizzatore megaohmetro  
capacimetro misur. d'uscita  
mod. 621 (20000 ohm/volt)

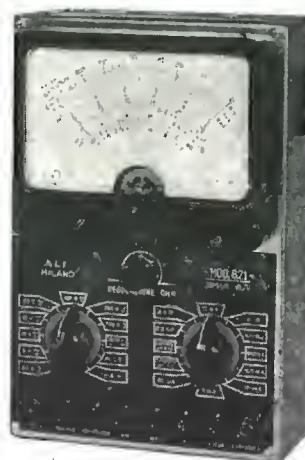
Strumento ad ampio quadrante  
mm. 125x98

Dimensioni 205x134x90 L. 18.000  
Borsa L. 1.000

10.000 ohm/Volt tascabile  
L. 7.500

20.000 ohm/Volt tascabile  
L. 10.000

con astuccio L. 700 in più



ANTENNE TELEVISIVE • CAVI ED ACCESSORI PER IMPIANTI ANTENNE TV • STRU-  
MENTI DI MISURA E CONTROLLO RADIO E TV • VALVOLE E RICAMBI RADIO E TV

Richiedete listino con tutti i dati tecnici

# VICTOR

**RADIO  
E  
TELEVISIONE**

**APPARECCHI  
A MODULAZIONE  
DI FREQUENZA**

*erre - erre*

MILANO - Via Cola di Rienzo 9 - tel. uff. 470.197 lab. 474.625

# "Inparapido"

**Saldatori  
istantanei**

- LEGGERI
- EQUILIBRATI
- CAMBIO TENSIONI
- PUNTE INOSSIDABILI
- ILLUMINAZIONE  
DEL POSTO  
DI LAVORO

90 Watt di consumo solo quando  
lavora!

Visibilità completa

Massima accessibilità anche nei  
luoghi più angusti.

I più adatti per Televisori - Radio -  
Telefoni - Elettrotecnica di precisione

Riferenze delle più grandi industrie  
italiane ed estere.



**-Dott. Ing. PAOLO AITA-**

FABBRICA MATERIALI E APPARECCHI PER L'ELETTRICITÀ  
TORINO - CORSO S. MAURIZIO 65 - TEL. 82.344

65/3 serie anie 6 valvole  
65/4 serie anie 6 valvole  
74/1 classe anie MA-MF  
76/4 alta fedeltà MA-MF

# RADIO

*Stagione 1956/57*



65/5 fono tavolo MA  
74/2 fono tavolo MA-MF  
76/5 fono tavolo MA-MF  
**alta fedeltà**  
76/6 fono pavimento MA-MF  
**alta fedeltà**

TS 12 televisore 17"  
TS 58 televisore 21"  
TS 82 televisore 24"

**UNDA RADIO S.A. - COMO**

Rapp. Gen. TH. MOHWINKEL - Via Mercalli 9 - Milano

# LA RADIOTECNICA

*di Mario Festa*

Valvole per industrie elettroniche  
Valvole per industrie in genere  
Deposito Radio e Televisori Marelli

**Valvole per usi industriali  
a pronta consegna**

**- MILANO -**  
Via Napo Torriani, 3  
Tel. 661.880 - 667.992

TRAM 2 - 7 - 16 - 20 - 28 (vicino alla Stazione Centrale)

# ORGAL RADIO

DI ORIOLI & GALLO

COSTRUZIONE APPARECCHI RADIO • PARTI STACCATI

**Radiomontatori!**

Presso la

# ORGAL RADIO

troverete tutto quanto Vi occorre  
per i Vostri montaggi e ripara-  
zioni ai prezzi migliori.

Tutte le parti staccate Radio e TV  
**SCATOLE DI MONTAGGIO**

**Richiedere il nuovo listino prezzi**

MILANO - Viale Montenero, 62 - Tel. 585.494



**accumulatori**

**ERMETICI**  
al Ni-Cd

**DEAC**



NESSUNA MANUTENZIONE  
PERFETTA ERMETICITÀ  
POSSIBILITÀ DI MONTAGGIO  
IN QUALSIASI POSIZIONE

AGENTE GENERALE PER L'ITALIA:  
**TRAFILERIE e LAMINATOI di METALLI S.p.A. - MILANO**  
VIA A. DE TOGNI N. 2 - MILANO - TELEF.: 87.69.46 - 89.84.42

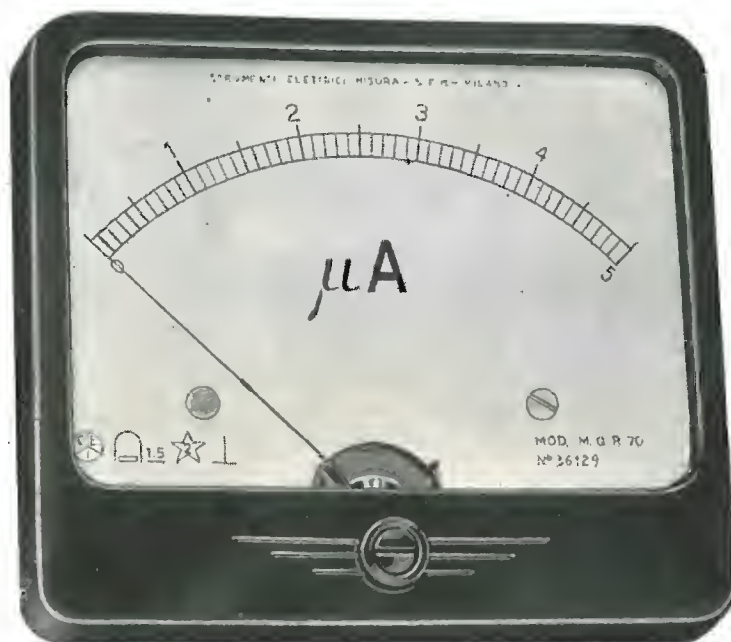
RADIO PORTATILI  
PROTESI AUDITIVA  
ILLUMINAZIONE  
APPARECCHIATURE SCIENTIFICHE

Rappresentante: Ing. GEROLAMO MILO  
Via Stoppani, 31 - MILANO - Tel. 27.89.80

## SEM - STRUMENTI ELETTRICI DI MISURA

di A. TRAVAGLINI

MILANO VIA MORANDI, 7 - TELEFONO 252.534 - MILANO



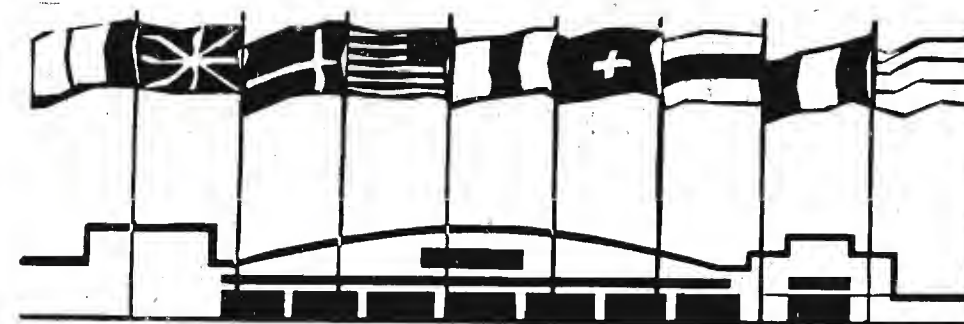
Millivoltmetri - Microamperometri - Voltmetri - Milliampereometri - Amperometri - Pirometri - Galvanometri - Ohmetri - Frequenzimetri del tipo a lamelle vibranti - Wattmetri - Fasometri Elettrodinamici - Tester - Tester prova Valvole - Strumenti da pannello, da quadro e portatili, per c. c. e c. a.



**torino**  
26 settembre  
6 ottobre  
1957

## 7° Salone Internazionale della Tecnica

METALLURGIA - MECCANICA GENERALE - MACCHINE UTENSILI - UTENSILERIA - COSTRUZIONI AERONAUTICHE - ELETTROTECNICA - ELETTRONICA - ENERGIA NUCLEARE - MATERIE PLASTICHE, GOMMA, VERNICI E COLLANTI - CINEMATOGRAFIA - FOTOGRAFIA - OTTICA - MACCHINE ED IMPIANTI PER L'EDILIZIA ED I LAVORI STRADALI



PALAZZO DELLE ESPOSIZIONI AL VALENTINO

### Manifestazioni collegate:

II MOSTRA-CONCORSO NAZIONALE DELLE INVENZIONI E DEI PROGRESSI INDUSTRIALI DELLA MECCANICA  
RASSEGNA INTERNAZIONALE DELLA STAMPA TECNICA, SCIENTIFICA E PERIODICA  
CONGRESSO PROMOSSO DAL « CRATEMA » SU: LA TECNICA E IL MERCATO  
IX CONGRESSO INTERNAZIONALE DELLA TECNICA CINEMATOGRAFICA  
IX SETTIMANA CINEMATOGRAFICA INTERNAZIONALE  
IX CONGRESSO INTERNAZIONALE DELLE MATERIE PLASTICHE  
PROIEZIONI DOCUMENTARI TECNICI

### Manifestazioni organizzate dal salone:

III CONVEGNO INTERNAZIONALE DELLA VIABILITÀ INVERNALE (CERVINIA - 4-7 FEBBRAIO 1957)  
I SALONE INTERNAZIONALE DEL TRATTORE E APPLICAZIONI RELATIVE (12-19 MAGGIO 1957)

### Delegazioni all'Estero:

PARIGI: CAMERA DI COMMERCIO ITALIANA DI PARIGI - 134, Rue du Faubourg St. Honoré - Paris VIII - Tel.: Elysées 46.27 - Balzac 39.80 - 41.88  
FRANCOFORTE SUL MENO: CAMERA DI COMMERCIO ITALIANA PER LA GERMANIA - Feldbergstrasse, 24 - Tel. 77.47.47 - 77.47.67  
BRUXELLES: CAMERA DI COMMERCIO BELGO-ITALIANA - Rue du Midi, 61 - Tel. 12.96.31  
AMSTERDAM: J. LEONARD LANG - Stadhouderskade, 114 - Tel. 71.97.44  
GINEVRA: PONDIL S. A. - Rue de la Tour de l'Île, 1 - Tel. 25.62.34  
WEMBLEY (Middx): FIAT ENGLAND LTD - Water Road - Tel.: Perivale 56.51

### Comitato e Segreteria del Salone: TORINO

Via Massena, 20 - Telefono 40.229 - Telegrammi: Saltecnica - Torino

Riduzioni ferroviarie



# F. A. R. E. F. - RADIO

MILANO - VIA VOLTA, 9 - TELEF 666.056



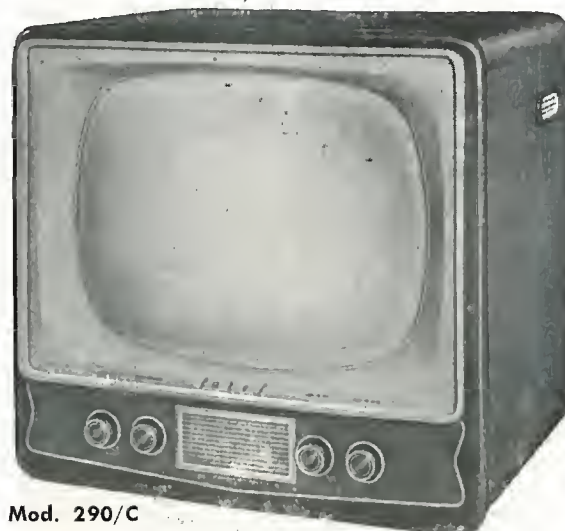
Mod. BABY/B

Supereterodina a 4 valvole - onde medie: 190 a 580 m. - Alimentazione a batteria - antenna interna ferroxube - elegante mobile in plastica avorio, - cm. 15 x 22 x 6.



Mod. LUS

Supereterodina a 6 valvole compreso occhio magico - Onde medie - corte e fono - Alimentazione universale - Mobile di elegante rifinitura con frontale in plastica avorio, - cm. 40 x 28 x 17.



Mod. 290/C

T.V. 21 pollici con cinescopio a 90° ad alta luminosità - altoparlante frontale - antenna 300 ohm - dimens. 62 x 64 x 54. - 22 valvole più cinescopio - circuito cascode ad alta sensibilità - Sincronismi automatici, altoparlante di massima fedeltà - semplicità di regolazione - cristallo di protezione - mobile in legno pregiato di perfetta rifinitura. Alimentazione da 110 a 280 volt, 42-50 Hz.

• LISTINI PREZZI A RICHIESTA •

## Listino provvisorio

### Editrice IL ROSTRO

M I L A N O

Via Senato, 28 - Tel. 702.908 - 798.230

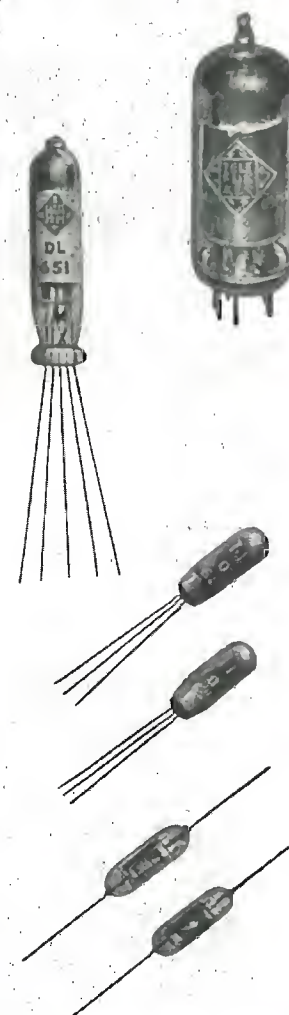
|  |          |
|--|----------|
| SCHEMARIO TV - 1ª serie 1954   | L. 2.500 |
| SCHEMARIO TV - 2ª serie 1955   | » 2.500  |
| SCHEMARIO TV - 3ª serie 1956   | » 2.500  |
| Ing. F. Simonini & C. Bellini<br>LE ANTENNE  | » 3.000  |
| Ing. A. Nicolich<br>LA SINCRONIZZAZIONE DELL'IMMAGINE<br>IN TELEVISIONE                          | » 3.300  |
| A. V. J. Martin<br>COME SI RIPARA IL TELEVISORE  | » 1.300  |
| M. Personali<br>RADIO E TELEVISIONE CON TUBI ELETTRONICI<br>in brossura                          | » 2.700  |
| in tela  | » 3.000  |
| C. Favilla<br>GUIDA ALLA MESSA A PUNTO DEI RICEVITORI TV   | » 1.200  |
| Ing. A. Nicolich<br>LA RELATIVITA' DI ALBERT EINSTEIN  | » 500    |
| Ing. G. Mannino Patanè<br>NUMERI COMPLESSI   | » 300    |
| Ing. G. Mannino Patanè<br>ELEMENTI DI TRIGONOMETRIA PIANA  | » 500    |
| Ing. D. Pellegrino<br>BOBINE PER BASSA FREQUENZA   | » 500    |
| G. A. Uglietti<br>I RADDRIZZATORI METALLICI  | » 700    |
| E. Aisberg<br>LA TELEVISIONE? E' UNA COSA SEMPLICISSIMA!   | » 1.100  |
| O. L. Johansen<br>WORLD RADIO VALVE  | » 1.000  |
| G. Termini<br>INNOVAZIONI E PERFEZIONAMENTI nella struttura e nelle parti dei moderni ricevitori | » 500    |
| A. Contorni<br>COME DEVO USARE IL TELEVISORE   | » 200    |
| G. Goppa<br>LA DISTORSIONE NEI RADIORICEVITORI   | » 160    |
| P. Soati<br>CORSO PRATICO DI RADIOCOMUNICAZIONI  | » 200    |
| P. Soati<br>METEOROLOGIA   | » 220    |
| A. Pisciotta<br>TUBI A RAGGI CATODICI  | » 450    |
| A. Pisciotta<br>PRONTUARIO ZOCCOLI VALVOLE EUROPEE   | » 1.000  |
| Lund Johansen<br>WORLD RADIO TELEVISION VALVE  | » 1.250  |



TELEFUNKEN  
GARANZIA DI DURATA  
GARANZIA DI QUALITÀ



VALVOLE DI OGNI TIPO  
CINESCOPI  
TUBI A RAGGI CATODICI  
TRANSISTORI  
DIODI AL GERMANIO



Radiotelevisione

# TELEFUNKEN

la marca mondiale

TELEFUNKEN Radio Televisione S. p. A. - MILANO - P.zza Bacone 3 - Tel. 278.556



SONO USCITI:



F. GHERSEL

## I RICEVITORI DI TELEVISIONE A COLORI

La tecnica della TV a colori sta evolvendosi lentamente verso realizzazioni pratiche di maggior sensibilità e minor costo. Il sistema americano N.T.S.C. si è rivelato in questi ultimi anni di intense ricerche nei laboratori delle maggiori industrie radioelettriche del mondo intero, assolutamente idoneo allo svolgimento pratico di un servizio in TV a colori compatibile col bianco e nero. Esso è stato pertanto ormai praticamente accettato universalmente come il sistema adatto per lo svolgimento dei futuri servizi di TV a colori in tutte le nazioni del mondo civile. Quest'opera illustra in modo preciso ed esauriente tutte le caratteristiche del sistema N.T.S.C., dai fondamenti della visione a colori alla pratica realizzazione.

Il volume contiene 4 tavole a colori fuori testo e 6 schemi di ricevitori. - Pag. 236 - Formato 17x24 cm. con sopracopertina a colori. - L. 3000,—.



H. SCHREIBER

## TRANSISTORI

*tecnica  
e applicazione*

Quest'opera di grande attualità illustra in modo chiaro, semplice e preciso tutta la tecnica dei transistori dai principi fondamentali di funzionamento al loro impiego nei circuiti radioelettrici, con numerose applicazioni pratiche.

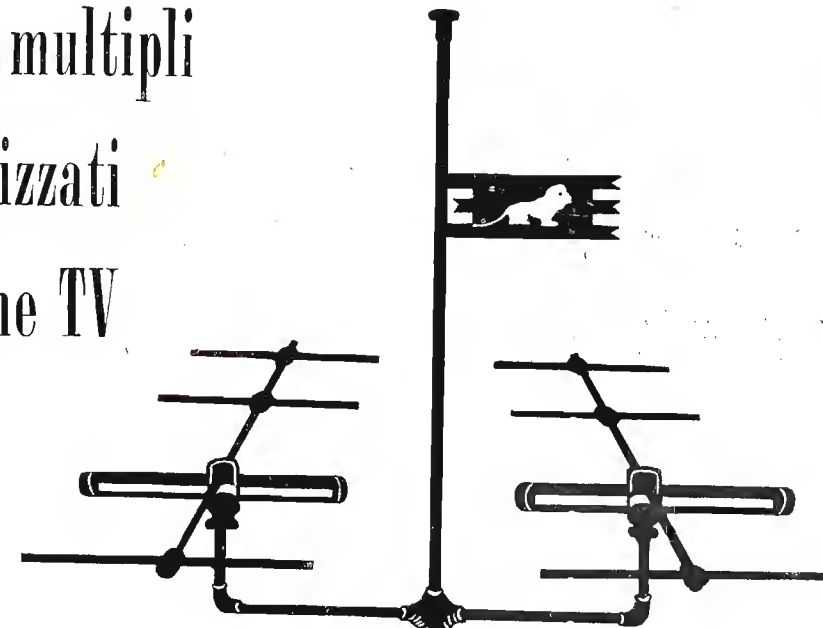
E' il breviario del radiotecnico che si accinge ad accostarsi ai circuiti con transistori. Volume di pagg. XII-160 - Formato 15,5x21,5 cm. - L. 1500,—.

Editrice IL ROSTRO - Milano

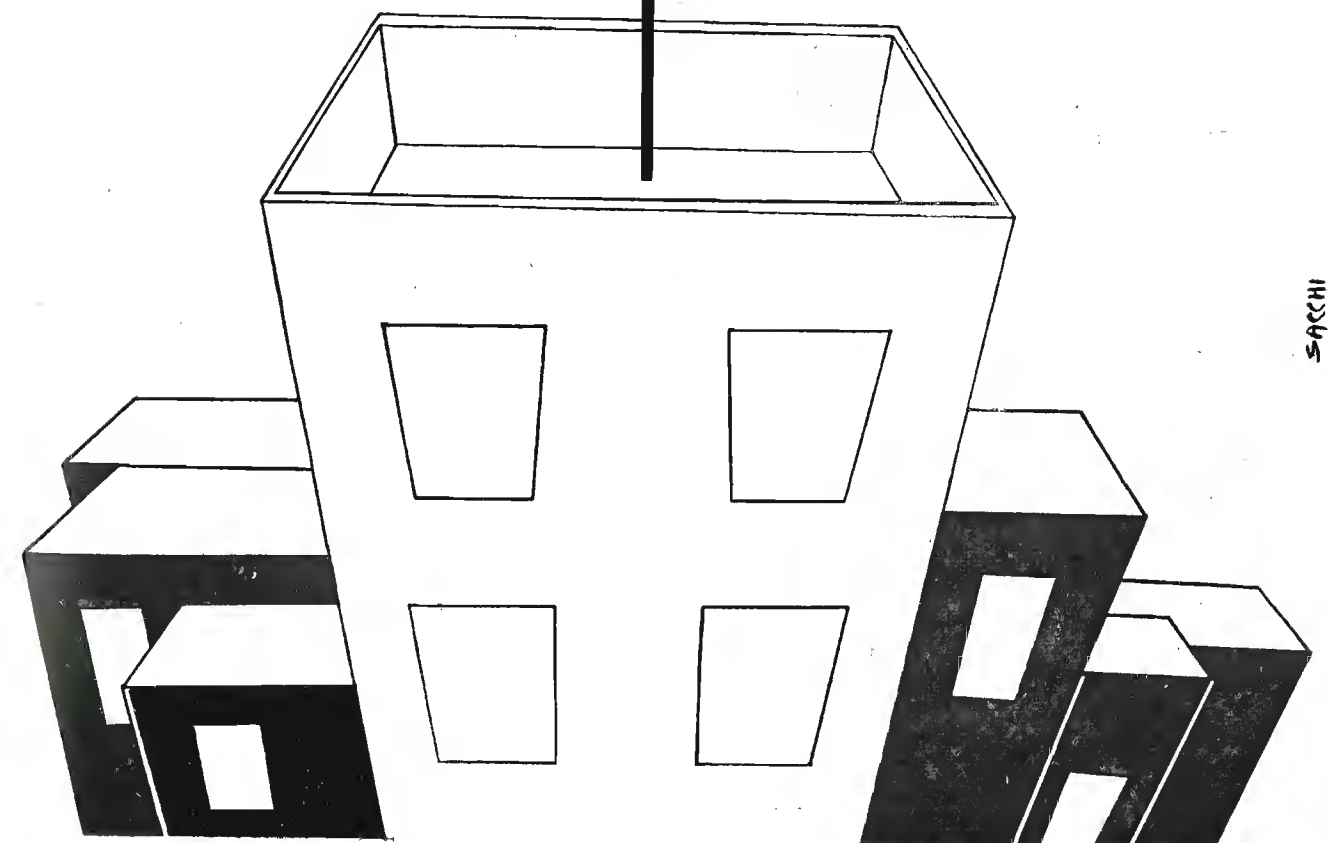
# LIONELLO NAPOLI-MILANO

UFFICI VIALE UMBRIA, 80 TELEFONO 573.049 - OFFICINA VIA BOVISASCA, 195 - 75 TELEFONO 970.303

impianti multipli  
e centralizzati  
di antenne TV



TUTTI GLI ACCESSORI  
PER IMPIANTI TV



SACCHI



# ING. S. & Dr. GUIDO BELOTTI

Telegr.: } Ingbelotti  
          } Milano

MILANO  
PIAZZA TRENTO, 8

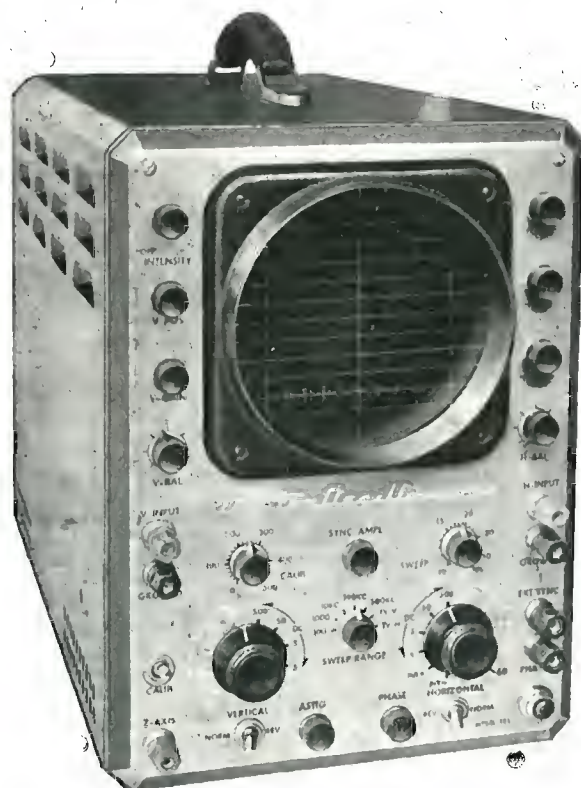
Telefoni } 54.20.51  
          } 54.20.52  
          } 54.20.53  
          } 54.20.20

GENOVA  
Via G. D'Annunzio, 1-7  
Telef. 52.309

ROMA  
Via del Tritone, 201  
Telef. 61.709

NAPOLI  
Via Medina, 61  
Telef. 23.279

## NUOVO OSCILLOGRAFO WESTON MOD. 983



Ampia gamma  
di frequenza  
(fino a 4,5 Mc)

Elevata sensibilità  
(15 millivolt per 25 mm)

Spostamento di  
fase minimo

Modulazione asse Z

PRONTO A MILANO

Tensioni di taratura:  
500mV, 5V, 50V, 500V

Frequenza  
spazzolamento:  
10-500000 Hz variabile

Polarità verticale e  
orizzontale: reversibile

Impedenza d'ingresso  
1M $\Omega$  - 60pF

Peso: Kg. 20  
Dimensioni: 25x35x49

GENERATORI DI SEGNALI CAMPIONE - OSCILLATORI RF E BF - MEGAOHMMETRI  
OSCILLOGRAFI - MISURATORI D'USCITA - PONTI RCL - STRUMENTI ELETTRICI PER USO  
INDUSTRIALE E PER LABORATORI - VARIATORI DI TENSIONE "VARIAC," - REOSTATI PER  
LABORATORI - LABORATORIO RIPARAZIONI E TARATURE

7

LUGLIO 1957

XXIX ANNO DI PUBBLICAZIONE

Proprietà . . . . . EDITRICE IL ROSTRO S.A.S.  
Gerente . . . . . Alfonso Giovane

Consulente tecnico . . . . dott. ing. Alessandro Banfi

Comitato di Redazione

prof. dott. Edoardo Amaldi - dott. ing. Vittorio Banfi -  
sig. Raoul Biancheri - dott. ing. Cesare Borsarelli -  
dott. ing. Antonio Cannas - dott. Fausto de Gaetano -  
dott. ing. Leandro Dobner - dott. ing. Giuseppe Gaiani -  
dott. ing. Gaetano Mannino Patanè - dott. ing. G.  
Monti Guarnieri - dott. ing. Antonio Nicolich - dott.  
ing. Sandro Novellone - dott. ing. Donato Pellegrino -  
dott. ing. Celio Pontello - dott. ing. Giovanni Rochat -  
dott. ing. Almerigo Saitz - dott. ing. Franco Simonini.

Direttore responsabile dott. ing. Leonardo Bramanti



Direzione, Redazione, Amministr. e Uffici Pubblicitari  
VIA SENATO, 28 - MILANO - TEL. 70.29.08/79.82.30  
C.C.P. 3/24227

La rivista di radiotecnica e tecnica elettronica « l'antenna » e la sezione « televisione » si pubblicano mensilmente a Milano. Un fascicolo separato costa L. 350; l'abbonamento annuo per tutto il territorio della Repubblica L. 2500 più 50 (2% imposta generale sull'entrata); estero L. 5000 più 100. Per ogni cambiamento di indirizzo inviare L. 50, anche in francobolli.

Tutti i diritti di proprietà artistica e letteraria sono riservati per tutti i paesi.

La riproduzione di articoli e disegni pubblicati ne « l'antenna » e nella sezione « televisione » è permessa solo citando la fonte. La collaborazione dei lettori è accettata e compensata. I manoscritti non si restituiscono per alcun motivo anche se non pubblicati. La responsabilità tecnico-scientifica di tutti i lavori firmati spetta ai rispettivi autori, le opinioni e le teorie dei quali non impegnano la Direzione.

# L'antenna

RADIOTECNICA E TECNICA ELETTRONICA

## televisione

pag.

### Editoriale

Tecnica e commercio, A. Banfi . . . . . 289

### Televisione e Modulazione di Frequenza

Principi dei sistemi elettronici usati nei tubi trasmettenti e ricevitori in televisione per la scansione elettronica (parte prima), A. Nicolich . . . . . 290  
Ripariamo della TV a colori, A. Banfi . . . . . 303  
Studio sulla TV a circuito chiuso. Il preamplificatore video di telecamere. La telecamera miniaturizzata (sesto articolo), G. Nicolao . . . . . 320  
Ricevitore di TV, Firt, mod. 22" 90" . . . . . allegato

### Circuiti

Amplificatori e diffusori per alta fedeltà perfezionati, G. Dalpane . . . . . 304  
Un originale apparato italiano, il telemicrofono, F. Simonini . . . . . 310  
Circuiti elementari a transistori per amatore, G. Kuhn . . . . . 316  
Alimentatore stabilizzato per 500 W. R. Biancheri . . . . . 331  
Alimentatore stabilizzato con tubo e transistor, G. Kuhn . . . . . 334  
Circuito del radoricevitore per onde corte, Geloso, modello G207CR . . . . . 336  
Circuiti del ricevitore di TV, Firt, mod. 22" 90" . . . . . allegato

### Tecnica applicata

Stabilizzazione del punto di lavoro dei transistori, I. Macchiarini . . . . . 328  
Memorie per calcolatrici con diodi a gas, P. Nucci . . . . . 333

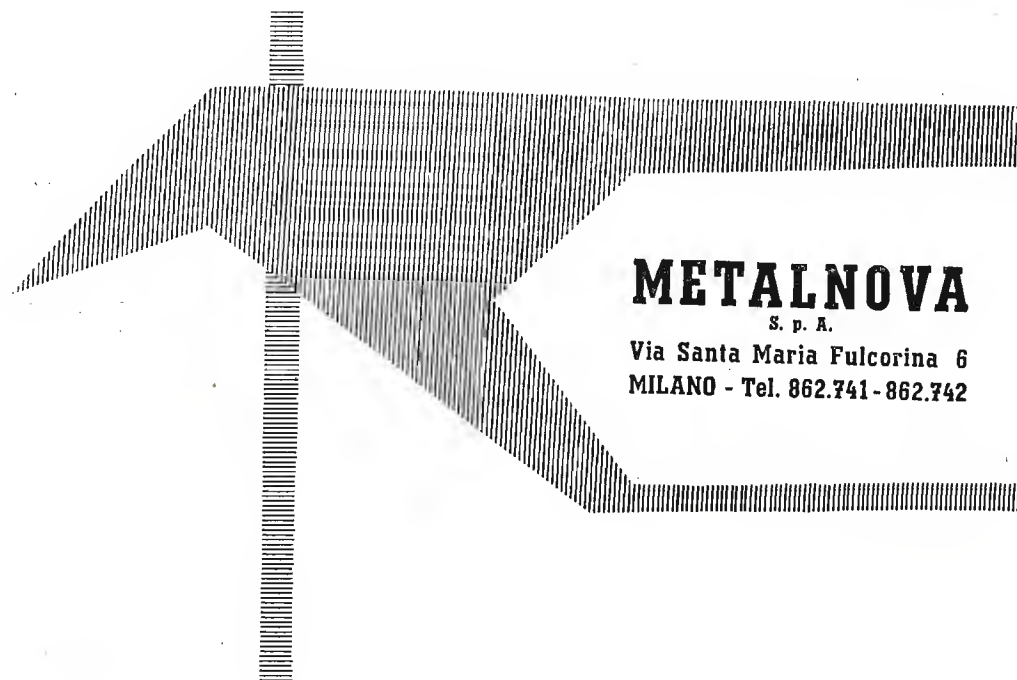
### Rubriche fisse

Archivio schemi (Geloso, Firt) . . . . . 336, allegato  
Atomi ed elettroni . . . . . 309  
Nel mondo della TV . . . . . 303  
Notiziario industriale (Iris-Radio) . . . . . 310  
Rassegna della stampa, I. Macchiarini, R. Biancheri, P. Nucci, G. Kuhn . . . . . 328  
Segnalazione brevetti . . . . . 327  
Sulle onde della radio, micron . . . . . 297





**RADIOMETER**  
COPENHAGEN

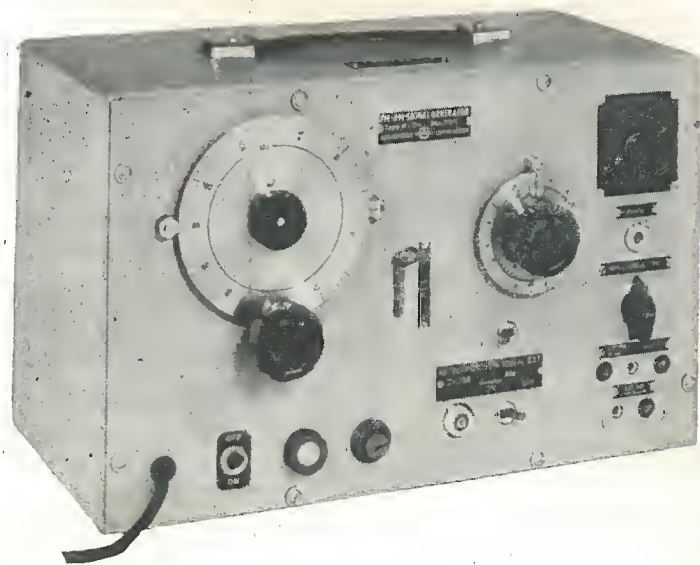


**METALNOVA**

S. p. A.

Via Santa Maria Fulcorina 6  
MILANO - Tel. 862.741-862.742

## GENERATORE DI SEGNALI PER RICEVITORI FM Mod. MS 25



**Campo di frequenza:**  
da 86 a 108 MHz e da 9,5 a 12 MHz

**Uscita:**  
variabile da 1 microvolt a 100 millivolt con  
un attenuatore a pistone; impedenza 75 ohm

**Modulazione d'ampiezza:**  
profondità 30% con un oscillatore interno  
di 100 Hz, o dallo 0 al 50% con un oscillato-  
re esterno. Possibilità di modulare contem-  
poraneamente l'ampiezza e la frequenza

**Modulazione di frequenza:**  
deviazione da 0 a 200 kHz con un oscil-  
latore interno di 400 Hz o con un oscil-  
latore esterno

generatori di disturbi • oscilloscopi • oscillatori di bassa frequenza • ponti di misura  
• registratori di risposta • galvanometri a indice luminoso

*L'antenna*

LUGLIO 1957

7

# Tecnica e Commercio

Si è testè concluso a Parigi un importante convegno di tecnici per discutere su questioni inerenti alla TV a colori.

Tale convegno organizzato dalla « Union Internationale de Physique » sotto il patrocinio della UNESCO ha fatto affluire a Parigi una vera folla di scienziati e tecnici di tutto il mondo: basti pensare che il numero di partecipanti previsto inizialmente dal Comitato organizzatore in 50-60 persone, ha superato le 260 persone. Le più note personalità del mondo scientifico internazionale nel settore TV erano presenti con interessanti relazioni animatamente discusse. Americani, inglesi, francesi, olandesi, tedeschi, russi e di molte altre nazionalità animarono il convegno con l'esposizione dei risultati di interessanti ricerche sperimentali nel campo generale della TV a colori. Una rappresentanza italiana dei più noti ed appassionati tecnici che stanno seguendo l'evoluzione della TV a colori faceva pure atto di presenza.

Ma, diciamolo sinceramente, è sconcertante constatare come oggi, mentre tutto il mondo tecnico della TV è proteso allo studio ed all'affinamento dei numerosi problemi del colore, nessuno fra i nostri Enti od industrie qualificati abbia sentito il bisogno od almeno l'opportunità di occuparsi fattivamente, sia pur in minima misura, di tale argomento.

Si suol dire a questo proposito, che a risvegliare l'attenzione del pubblico sulla TV a colori, si avrebbero ripercussioni commerciali sulla vendita degli attuali televisori in bianco-nero.

E si dice anche che tali preoccupazioni non esistono in America ed Inghilterra ove il numero dei telespettatori è già di molti milioni, mentre da noi si è appena superato il mezzo milione di abbonati TV.

Ma allora cosa dire della Francia ove, pur non essendosi ancora raggiunti i 300.000 abbonati alla TV, i principali laboratori dello Stato e dell'industria lavorano da tempo attivamente nel campo sperimentale della TV a colori ed hanno presentato al citato recente convegno di Parigi dei risultati veramente notevoli e di estremo interesse per tutti i tecnici convenuti.

Anzi proprio i francesi ci hanno mostrato, in via del tutto sperimentale beninteso, una brillante soluzione del problema dell'adattamento del sistema americano N.T.C.S., proprio allo standard di 625 righe, che l'Italia ha a suo tempo adottato per prima ufficialmente in Europa.

Nel corso di una simpatica riunione conviviale che ha seguito i lavori del Congresso, dirigenti industriali e commerciali mi hanno confermato che in Francia, nonostante l'intensa attività di ricerca e sperimentale dei laboratori nel campo della TV a colori, nessuno avverte la minima influenza negativa sul commercio dei televisori in bianco-nero poichè sia i rivenditori, che il pubblico sanno che ancora per parecchi anni a venire non vi potrà essere un regolare servizio di TV a colori e che per i primi tempi le immagini fornite da un buon televisore in bianco-nero non saranno affatto inferiori come qualità a quelle a colori pur costando l'apparecchio almeno la metà od un terzo del televisore a colori.

Occorre quindi che questa logica e sana mentalità si trasferisca anche in casa nostra.

Occorre rendersi conto che la politica dello struzzo di ignorare volutamente ciò che avviene in campo tecnico all'estero nel settore della TV a colori

(il testo segue a pag. 335)



# Principi dei Sistemi Elettronottici Riceventi in Televisione per la

La concentrazione e la deviazione del fascio di raggi catodici vengono ottenute, tanto nel tubo di ripresa in trasmissione, quanto nel cinescopio in ricezione, imprimendo alla corrente elettronica delle forze dovute al suo moto entro campi elettrici e magnetici.

TANTO NEL TUBO di presa in trasmissione, quanto nel cinescopio in ricezione la scansione si effettua per mezzo di un fascetto catodico costituito da una corrente di elettroni liberi entro un'ampolla in cui è fatto il vuoto estremamente spinto. Gli elettroni emessi da un catodo riscaldato devono essere concentrati in un pennello per quanto possibile sottile e successivamente deviati. La concentrazione e la deviazione vengono ottenute imprimendo alla corrente elettronica delle forze dovute al suo moto entro i campi elettrici e magnetici.

## 1. - MOTO ELETTRONICO NEL VUOTO IN UN CAMPO ELETTRONICO PARALLELO ALLA DIREZIONE DELLO SPOSTAMENTO (fig. 1).

Il moto si intende fra due superfici: una incandescente detta catodo  $K$  supposta a potenziale zero, l'altra detta anodo  $A$  mantenuta al potenziale  $V_a$  rispetto al catodo e posta alla distanza  $d$  da esso. Sia nulla la velocità iniziale degli elettroni emessi dal catodo. Sotto l'azione del campo elettrico creato dalla d.d.p.  $V_a$  gli elettroni acquistano una certa accelerazione ed una certa velocità  $v$ .

Il campo elettrico fra  $K$  e  $A$  vale:  $E = \frac{V_a}{d}$  (volt/m) [1]

La forza  $F$  che si esercita sull'elettrone è data dalla:  $F = e E$  (newton) [2]

essendo  $e$  la carica dell'elettrone.

Per trasportare la carica  $e$  da  $K$  ad  $A$  le forze del campo eseguono il lavoro:

$$L = F \cdot d = e \cdot E \cdot d = e \cdot V_a \text{ (newton/m)} \quad [3]$$

Per l'equilibrio dinamico il lavoro  $L$  deve eguagliare l'energia cinetica acquisita dall'elettrone giunto in  $A$ :

$$e V_a = \frac{m_0 v^2}{2} \quad [4]$$

essendo  $m_0$  la massa dell'elettrone in riposo.

Dalla [4] si deduce immediatamente la velocità dell'elettrone:

$$v = (2 e V_a / m_0)^{1/2} \text{ (m/sec)} \quad [5]$$

Dalla Fisica è noto il valore del rapporto  $\frac{e}{m_0}$  fra la carica e la massa dell'elettrone in riposo:

$$\frac{e}{m_0} = \frac{1.59 \cdot 10^{-19} \text{ (Coulomb)}}{9.11 \cdot 10^{-31} \text{ (kg)}} = 1.77 \cdot 10^{11} \text{ (coulomb/kg)} = 1.77 \cdot 10^7 \text{ (u.e.m/g)}$$

questo valore sostituito nella [5] fornisce:

$$v = 5.95 \cdot 10^5 \sqrt{V_a} \text{ (m/sec)} \quad [6]$$

la quale mostra che la velocità finale è indipendente dalla distanza percorsa dall'elettrone. Ad esempio posto  $V_a = 10^4$  volt si deduce dalla [6]:  $v = 59.500 \text{ km/sec}$ .

Notiamo incidentalmente che la [6] per tensioni molto alte  $V_a$  cade apparentemente in difetto. Infatti per  $V_a = 300 \text{ kV}$ , la [6] fornisce  $v = 3.26 \cdot 10^5 \text{ km/sec}$ , ossia l'elettrone acquisterebbe una velocità maggiore di quella della luce nel vuoto. È noto che la teoria einsteiniana nega questa possibilità; la stessa teoria fornisce però anche la soluzione della difficoltà: coll'aumento della velocità un corpuscolo (elettrone nel nostro caso) subisce un incremento di massa, tale che la sua massa  $m$  alla velocità  $v$  è legata alla massa  $m_0$  del corpuscolo fermo, dalla relazione relativistica:

$$m = m_0 \left( 1 - \frac{v^2}{C^2} \right)^{-1/2} \quad [7]$$

dove:  $C = 3 \cdot 10^8 \text{ km/sec}$  è la velocità della luce nel vuoto.

La [7] dice che se  $v = C$  la massa diventa infinita; ma ciò è inverosimile, perciò la teoria di Einstein postula che la velocità della luce nel vuoto è un limite irraggiungibile con corpuscoli in moto; in altre parole: nulla può correre quanto la luce.

Sostituendo la [7] nella [5] si ha:

$$v = \left[ \frac{2 e V_a \left( 1 - \frac{v^2}{C^2} \right)^{1/2}}{m_0} \right]^{1/2} \quad \text{da cui successivamente:}$$

$$v^4 = \frac{4^2 C^2 e^2 V_a^2 - 4 e^2 V_a^2 v^2}{C^2 m_0^2}$$

$$m_0^2 C^2 v^4 + 4 e^2 V_a^2 v^2 - 4 C^2 e^2 V_a^2 = 0$$

$$v = \left\{ \frac{-2 e^2 V_a^2 + 2 e V_a \sqrt{e^2 V_a^2 + C^4 m_0^2}}{C^2 m_0^2} \right\}^{1/2}$$

$$= \left\{ 2 \left( \frac{e V_a}{C m_0} \right)^2 \left[ -1 + \sqrt{1 + \frac{C^2 m_0^2}{e^2 V_a^2}} \right] \right\}^{1/2}$$

# Usati nei Tubi Trasmittenti e Scansione Elettronica

(parte prima)

dott. ing. Antonio Nicolich

$$v = \left\{ 2 \left( \frac{e V_a}{C m_0} \right)^2 \left[ -1 + \sqrt{1 + \left( \frac{C^2 m_0^2}{e^2 V_a^2} \right)} \right] \right\}^{1/2} \text{ (m/sec)} \quad [8]$$

sostituendo nella [8]:

$$C = 3 \cdot 10^8 \text{ (m/s)}; \quad \frac{e}{m_0} = 1.77 \cdot 10^{11} \text{ (coulomb/kg)};$$

$$V_a = 3 \cdot 10^5 \text{ (volt)}$$

si ottiene:

$$v = \left\{ 2 \left( \frac{1.77 \cdot 10^{11} \cdot 3 \cdot 10^5}{3 \cdot 10^8} \right)^2 \left[ -1 + \sqrt{1 + \left( \frac{3 \cdot 10^8}{1.77 \cdot 10^{11} \cdot 3 \cdot 10^5} \right)^2} \right] \right\}^{1/2} = 2.46 \cdot 10^8 = 246.000 \text{ (km/s)}$$

ossia le velocità dell'elettrone è minore di quella della luce ( $C = 300.000 \text{ km/s}$ ).

La teoria di Einstein circa la composizione delle velocità ha nei tubi a raggi catodici una delle sue più importanti applicazioni, data l'altissima velocità di cui sono ivi animati gli elettroni.

La [6] assicura che la velocità dell'elettrone è direttamente proporzionale alla radice quadrata della tensione applicata all'anodo acceleratore. Dalla stessa formula scende che un elettrone liberato dal catodo con velocità iniziale nulla, se accelerato con 1 volt acquista la velocità di 595 km/sec; è uso esprimere questo fatto dicendo che il corpuscolo acquista l'energia cinetica di 1 elettronevolt. Uscendo dallo spazio catodo-anodo, per esempio attraverso un forellino praticato in questo ultimo, l'elettrone prosegue di moto rettilineo uniforme.

## 2. - MOTO ELETTRONICO NEL VUOTO IN UN CAMPO ELETTRICO PERPENDICOLARE ALLA DIREZIONE DELLO SPOSTAMENTO.

Se l'elettrone è emesso dal catodo con velocità iniziale diversa da zero, assume un moto secondo una certa direzione imposta dalla velocità iniziale. Se in queste condizioni attraversa una zona dove esiste un campo elettrico le cui linee di forza sono perpendicolari alla direzione del moto elettronico, il corpuscolo viene deviato dal suo cammino originario. Questa situazione si realizza con la disposizione di fig. 2 in cui il campo elettrostatico è generato dalle due placche parallele  $P_1$  e  $P_2$  a distanza  $d$ , alle quali è applicata la d.d.p.  $V$ , disposte parallelamente alla traiettoria rettilinea originaria dell'elettrone animato dalla velocità  $v$

(m/sec). Si ritenga uniforme il campo  $E$  fra  $P_1$  e  $P_2$ , ciò equivale a trascurare le sue deformazioni ai bordi delle piastre. L'elettrone subisce una forza  $F$  diretta verso la piastra positiva e di intensità data ancora dalla [2]. L'accelerazione impressa all'elettrone è data dal rapporto tra la forza  $F$  e la massa  $m_0$ :

$$a = \frac{F}{m_0} = \frac{e E}{m_0} = \frac{e V}{m_0 d} \text{ (m/sec}^2\text{)}.$$

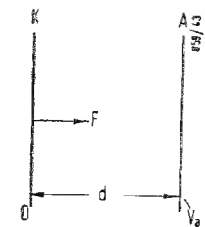


Fig. 1 - Moto elettronico in un campo elettrico uniforme diretto come lo spostamento.

Questa accelerazione non si manifesta lungo le superfici equipotenziali, perchè, essendo esse perpendicolari alle linee di forza, il campo non ammette nessuna componente in

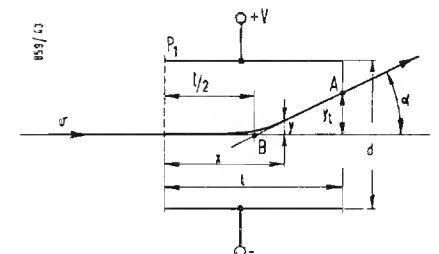


Fig. 2 - Moto elettronico in un campo elettrico uniforme diretto perpendicolarmente allo spostamento iniziale.



tale direzione. Assumendo come origine del sistema di assi di riferimento il punto  $O$  in cui l'elettrone entra nella zona di azione del campo, si hanno le seguenti espressioni per le coordinate  $x$  e  $y$  del generico punto della traiettoria interna al campo, dopo il tempo  $t$ :

$$x = v t (m); \quad y = \frac{1}{2} a t^2 = \frac{e V}{2 m_o d} t^2 (m)$$

dalle quali è possibile dedurre in modo elementare l'equazione della traiettoria elettronica; basta eliminare il tempo e pervenire all'espressione:

$$y = \frac{e V}{2 m_o d} \left( \frac{x}{v} \right)^2 (m) \quad [9]$$

che è l'equazione di una parabola. Per  $x = l$  (lunghezza delle piastre e quindi del campo elettrico deviatore) la [9] fornisce:

$$y_1 = \frac{e V}{2 m_o d} \left( \frac{l}{v} \right)^2 (m) \quad [10]$$

Quando l'elettrone esce dal campo, prosegue di moto rettilineo ed uniforme nella direzione della tangente alla parabola nel punto  $A$  in cui abbandona la zona d'influenza del campo. La tangente dell'angolo  $\alpha$  fermato dalle direzioni di incidenza e di emergenza dell'elettrone è per definizione la derivata di  $y_1$  rispetto all'ascissa  $x_A = l$ :

$$\operatorname{tg} \alpha = \frac{dy_1}{dl} = \frac{e V l}{m_o d v^2} \quad [11]$$

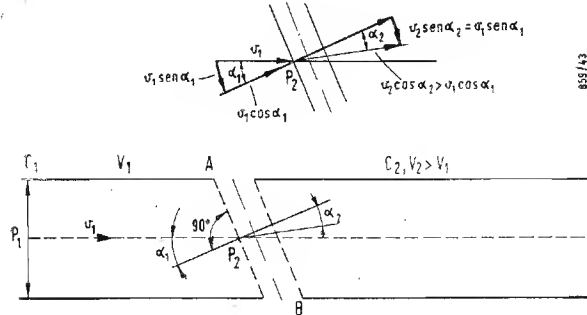


Fig. 3 - Moto elettronico in un campo elettrico uniforme formante un angolo  $\alpha$  diverso di  $\pi/2$  con la direzione dello spostamento iniziale.

Per la [4]  $v^2 = \frac{2 e V_a}{m_o}$ , che sostituita nella [11] dà:

$$\operatorname{tg} \alpha = \frac{V l}{2 d V_a} \quad [12]$$

la quale mette in evidenza che l'angolo di deviazione elettrostatica è direttamente proporzionale alla d.d.p. fra le piastre deviatrici  $P_1$  e  $P_2$  e alla loro lunghezza, inversamente proporzionale alla loro distanza  $d$  ed alla tensione dell'anodo acceleratore alla quale si deve il moto rettilineo di

velocità  $v$  iniziale dell'elettrone prima di penetrare nel campo deviatore di  $P_1$  e  $P_2$ ; risulta invece indipendentemente dalla massa del corpuscolo in moto; ciò è di grande importanza nei tubi a raggi catodici che contengono sempre ioni negativi, che raggiungono lo schermo fluorescente dove provocherebbe la bruciatura localizzata del fosforo, nota come « macchia ionica », se vi insistessero per lungo tempo entro una piccola area, come avviene con la deviazione e-

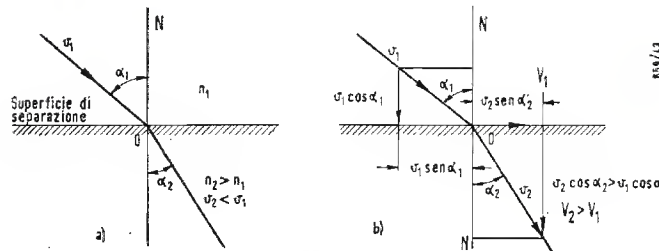


Fig. 4 - Confronto fra la rifrazione ottica a) e la rifrazione elettronica b)

lettromagnetica, invece, secondo la [12] gli ioni pesanti sono deflessi identicamente agli elettroni aventi massa almeno 1840 volte minori; allora gli ioni non possono insistere sempre sulla stessa piccola area, perchè vengono portati su tutta la superficie del tubo, ragion per cui sostano in ogni punto per un tempo brevissimo insufficiente a provocare la macchia ionica.

Sostituendo la [11] nella [10] si deduce:

$$y_A = \frac{1}{2} \operatorname{tg} \alpha (m) \quad [13]$$

cioè la tangente geometrica alla traiettoria nel punto  $A$  di ascissa  $x_A = l$  taglia l'asse delle ascisse del tempo nel punto  $B$  posto a metà del campo, ossia  $x_B = l/2$ .

Le [9], [10], [11], [12] e [13] riassumono i principi della deviazione elettrostatica, oggi impiegata ancora in oscillografia, ma praticamente scomparsa dai ricevitori televisivi.

### 3. - MOTO ELETTRONICO NEL VUOTO IN UN CAMPO ELETTRICO FORMANTE UN ANGOLO QUALUNQUE DIVERSO DI $90^\circ$ CON LA DIREZIONE DELLO SPOSTAMENTO.

Si abbia un sistema di due cilindri vuoti  $C_1$  e  $C_2$  come in fig. 3;  $C_1$  è limitato a sinistra da un diaframma forato al centro, per cui un elettrone proveniente dal punto  $P$  può entrare in esso con velocità  $v_1 = 5,95 \cdot 10^5 \sqrt{V_1}$  essendo  $V_1$  il potenziale costante applicato a  $V_1$  internamente al quale non esiste alcun campo non essendovi d.d.p.;  $C_1$  è limitato a destra da una griglia metallica inclinata di  $\alpha_1^\circ$  sull'asse del cilindro coincidente con la direzione del moto elettronico iniziale. Il secondo cilindro ( $C_2$ ) è posto parallelo e di seguito a  $C_1$  ed è limitato a sinistra da una griglia parallela a quella terminale di  $C_1$ ;  $C_2$  è mantenuto al potenziale costante  $V_2 > V_1$ , per cui anche internamente a  $C_2$  non vi è campo elettrico. Un campo elettrico si manifesta invece nello spazio tra le due griglie affacciate; un elettrone che attraversa questa regione viene deviato dal campo esistente, quindi cambia direzione. Le linee di forza del campo deviatore sono dirette perpendicolarmente alle due griglie, mentre le superfici equipotenziali sono piani paralleli alle griglie. Si decomponga la velocità iniziale  $v_1$  in due direzioni, secondo le linee di forza e perpendicolarmente a queste:

$v_1 = \sqrt{(v_1 \cos \alpha_1)^2 + (v_1 \sin \alpha_1)^2}$ ; la componente parallela alle linee di forza vale  $v_1 \cos \alpha_1$  nel punto  $P_2$  di entrata nel campo; attraversandolo cambia valore (precisamente aumenta essendo  $V_2 > V_1$ ) perchè ha subito un'accelerazione da parte di una forza diretta come le linee del campo. La componente in quadratura col campo, o parallela alle tracce sul disegno delle superfici equipotenziali non subisce variazioni perchè il campo non ammette componenti in

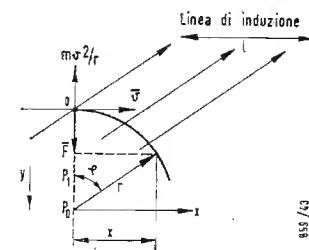


Fig. 5 - Moto di un elettrone in un campo magnetico perpendicolare allo spostamento.

tale direzione, quindi non agisce; dunque la componente della velocità  $v_1 \sin \alpha_1$  rimane invariata nel passaggio attraverso i due cilindri. In conseguenza se  $v_1 \sin \alpha_1$  è rimasta costante, mentre  $v_1 \cos \alpha_1$  è aumentata, componendo i due vettori all'emergenza del campo si ottiene un vettore velocità risultante formante colla direzione del campo un angolo  $\alpha_2 < \alpha_1$ , cioè il vettore velocità in  $C_2$  si è avvicinato alla normale alle superfici limitanti il campo. In conclusione la traiettoria dell'elettrone si è avvicinata alla detta normale.

Si è visto che la componente della velocità sulla superficie equipotenziale che separa due zone di diverso potenziale, rimane costante, per cui:

$$v_1 \sin \alpha_1 = v_2 \sin \alpha_2,$$

da cui

$$\frac{\sin \alpha_1}{\sin \alpha_2} = \frac{v_2}{v_1} \quad [14]$$

che può interpretarsi come una legge, che governa la rifrazione elettronica, analoga alla legge di Snellius (o di Descartes) per la rifrazione ottica ed espressa dalla:

$$\frac{\sin \alpha_1}{\sin \alpha_2} = \frac{v_1}{v_2} = \frac{n_2}{n_1} \quad [15]$$

in cui:

$\alpha_1$  = angolo di incidenza

$\alpha_2$  = angolo di rifrazione

$v_1$  = velocità dell'onda luminosa nel 1° mezzo

$v_2$  = velocità dell'onda luminosa nel 2° mezzo

$n_1$  = indice di rifrazione del 1° mezzo

$n_2$  = indice di rifrazione del 2° mezzo

In fig. 4a) è indicata la rifrazione ottica di un raggio luminoso che passa da un mezzo meno denso ad un mezzo più denso ( $n_2 > n_1$ ): la velocità  $v_2$  nel 2° mezzo è minore della velocità  $v_1$  nel 1° mezzo, cioè il raggio rifratto rallenta e si avvicina alla normale  $NN$  alla superficie di separazione dei due mezzi.

In fig. 4 b) è indicata la rifrazione elettronica di un elettrone che passa da una regione a potenziale  $V_1$  ad una seconda regione a potenziale  $V_2 > V_1$ ; la superficie di separazione è una superficie equipotenziale; la velocità  $v_2$

nella seconda regione è maggiore della velocità  $v_1$  nella prima regione e l'elettrone dopo rifrazione percorre una traiettoria che nella seconda regione si avvicina alla normale. I due casi di rifrazione sono dunque analoghi, con questa differenza che se nella seconda zona la velocità aumenta l'elettrone si avvicina alla normale ( $\alpha_2 < \alpha_1$ ), mentre l'onda luminosa si allontana; inversamente se il raggio luminoso rifratto si avvicina alla normale, perchè  $v_2 < v_1$  (ed  $n_2 > n_1$ ), l'elettrone si allontana, nella stessa ipotesi di  $v_2 < v_1$ .

Si vuole ora determinare una relazione fra gli indici di rifrazione  $n_1$  e  $n_2$  e i potenziali  $V_1$  e  $V_2$ . Nel caso di fig. 4 b) la differenza di energia cinetica dell'elettrone all'uscita e all'entrata nel campo deviatore, cioè l'acquisto di forza viva in tale attraversamento, eguaglia il lavoro fornito dal campo  $e = (V_2 - V_1)$ , allora:

$$e = (V_2 - V_1) = \frac{1}{2} m (v_2^2 - v_1^2),$$

da cui

$$\frac{v_2}{v_1} = \sqrt{1 + \frac{2 e (V_2 - V_1)}{m v_1^2}} \quad [16]$$

ricordando che  $\frac{1}{2} m v_1^2 = e V_1$ , la [16] fornisce:

$$\frac{v_2}{v_1} = \sqrt{1 + \frac{V_2}{V_1} - 1} = \sqrt{\frac{V_2}{V_1}} \quad [17]$$

che è la relazione cercata, la quale dice che nel passaggio dal caso ottico a quello elettronico si deve sostituire all'indice di rifrazione la radice quadrata del potenziale, come scende immediatamente dalla [15]. La stessa conclusione si può anche formulare dicendo che la ricerca della traiettoria di un elettrone in un campo elettrico qualunque si riporta ad un problema di propagazione della luce colla sostituzione di  $n$  con  $\sqrt{V}$ .

Sull'analogia fra le due rifrazioni è basata tutta l'ottica elettronica, cioè lo studio del moto di un pennello di elettroni entro campi elettrici e magnetici, perchè è possibile stabilire un parallelo fra le traiettorie e i percorsi dei raggi luminosi nei sistemi diottrici; si parla quindi di punto oggetto e di punto immagine, di ingrandimento trasversale ed angolare, di raggi parassiali e marginali, di aberrazioni (di sfericità, astigmatismo, coma, curvatura di campo, distorsione trapezia, a barileto, a cuscinetto), etc., tutti argomenti ben noti dall'ottica geometrica, dalla quale si è presa a prestito la terminologia per il caso elettronico.

### 4. - MOTO ELETTRONICO NEL VUOTO IN UN CAMPO MAGNETICO PERPENDICOLARE ALLA DIREZIONE DELLO SPOSTAMENTO.

Da quanto esposto nel precedente paragrafo, scende che quando un elettrone penetra in un campo magnetico le cui linee di forza sono perpendicolari al suo spostamento, subisce una forza che è in quadratura sia colle linee di forza del campo, sia colla direzione del moto. Tale forza agente sull'elettrone vale:

$$F = B e v \text{ (newton)} \quad [18]$$

di cui la direzione e il senso sono determinabili con la regola della mano sinistra modificata, ovvero della mano destra di Fleming. Sotto l'azione della  $F$ , cui è sottomesso entro al campo, l'elettrone modifica la sua traiettoria iniziale, ma qualunque sia lo scarto, il suo moto avviene sempre in direzione perpendicolare alle linee di forza. Pertanto la velocità  $v$  è indipendente da  $F$ , ha modulo costante e varia



in direzione; allora i tre fattori del secondo membro della [18] hanno valore costante, per cui anche la  $F$  risulta tale. Lo spostamento entro al campo è diretto come la velocità, cioè risulta in ogni istante perpendicolare alla forza, la traiettoria è quindi un arco di cerchio. Il raggio  $r$  di questo cerchio si ottiene considerando la condizione di equilibrio dinamico, per la quale la forza  $F$  esercitata dal campo eguaglia la forza centrifuga:

$$B e v = \frac{m_o v^2}{r} \quad \text{da cui} \quad r = \frac{m_o v}{e B} \quad (m) \quad [19]$$

In fig. 5 sia  $O$  l'origine degli assi, in ascisse si portino gli spostamenti orizzontali nella direzione  $x$ , in ordinate gli spostamenti verticali nella direzione  $y$ . Per  $x = 0$  si ha  $y = 0$  e l'elettrone occupa la posizione  $O$ . Per  $x < r$  si ha:

$$x = OP_1 = OP_0 - P_1 P_0 = r - r \cos \varphi = r \left( 1 - \sqrt{1 - \frac{x^2}{r^2}} \right) \quad [20]$$

$$\text{infatti } \sin \varphi = \frac{x}{r} \quad \text{e} \quad \cos \varphi = \sqrt{1 - \sin^2 \varphi}.$$

Se il campo ha la larghezza  $x = l < r$ , si deduce:

$$\sin \varphi \frac{l}{r} = \frac{e B l}{m_o v} \quad [21]$$

Se  $x = l \ll r$ , cioè se il campo è molto stretto rispetto al raggio di curvatura della traiettoria, è lecito introdurre l'approssimazione

$$y_1 \cong r \left\{ 1 - \left( 1 - \frac{l^2}{2 r^2} \right) \right\} \cong \frac{l^2}{2 r} \quad (m).$$

quest'ultima diventa per la [21]:

$$y_1 \cong \frac{1}{2} l \sin \varphi \quad (m) \quad [22]$$

che dice che la tangente alla traiettoria circolare nel punto in cui l'elettrone abbandona il campo stretto, taglia l'asse

delle ascisse in un punto di ascissa circa  $\frac{l}{2}$ . Si può concludere che, grosso modo, l'elettrone è bruscamente deviato

di un angolo il cui vertice coincide col punto  $\frac{l}{2}$  sull'asse delle ascisse.

Della deviazione magnetica ci siamo occupati diffusamente in una precedente serie di articoli ad essa dedicati, data la grande importanza che essa assume in TV; in questo articolo si vuole solo richiamare l'essenza dei fatti, che permettono di dirigere un pennello elettronico immerso in uno o più campi magnetici.

## 5. - MOTO ELETTRONICO NEL VUOTO IN UN CAMPO MAGNETICO FORMANTE UN PICCOLO ANGOLO CON LA DIREZIONE DELLO SPOSTAMENTO.

Si è già detto che un campo magnetico avente le linee di forza parallele alla direzione di provenienza dell'elettrone

prosegue indisturbato la sua corsa, come se il campo con esistesse. Se il parallelismo non è rigoroso, le velocità  $v$  dell'elettrone ammette una componente perpendicolare alle linee di forza del campo magnetico; la componente parallela alle dette linee può essere dimenticata, perchè non ha alcuna azione. La componente perpendicolare è influenzata dal campo. Sia in fig. 6  $\alpha$  l'angolo formato dalla traiettoria elettronica con le linee del campo nel punto di ingresso in esso dell'elettrone. Alla componente  $v_p = v \sin \alpha$  si devono

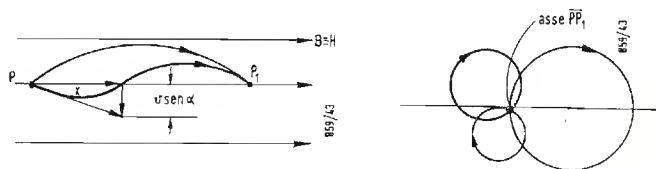


Fig. 6 - Moto elettronico in un campo magnetico formante un piccolo angolo  $\alpha$  con la direzione dello spostamento.

Fig. 7 - Proiezione delle traiettorie elettroniche in un piano perpendicolare all'asse  $PP_1$ .

applicare le conclusioni del paragrafo precedente: la proiezione della traiettoria modificata sopra un piano perpendicolare alle linee di forza è un arco di cerchio il cui raggio è calcolabile colla:

$$r = \frac{m_o v_2}{e B} = \frac{m_o v \sin \alpha}{e B} \quad (m) \quad [23]$$

in cui  $v_2$  è la componente perpendicolare della velocità.

La curva descritta dall'elettrone è un'elica avente l'asse parallelo alle linee di induzione. Se da un punto  $P$  escono vari elettroni formanti angoli  $\alpha$  diversi con la direzione del campo, nell'istante in cui penetrano in esso, le loro traiet-

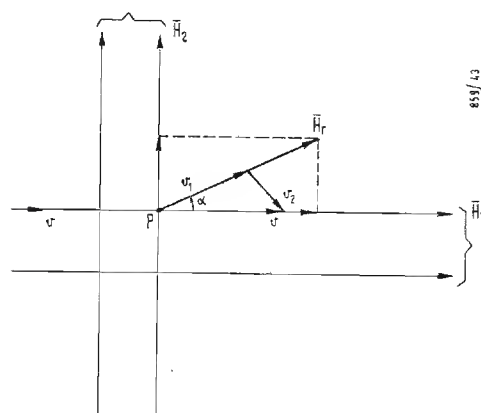


Fig. 8 - Moto elettronico in due campi magnetici, uno parallelo, l'altro perpendicolare allo spostamento.

torie sono tutte eliche, ma di differenti raggi. Le eliche sono sviluppate sopra superfici cilindriche aventi in comune una generatrice, quella coincidente con la linea di forza passante per il punto emittente  $P$  (nei tubi a raggi catodici  $P$  è il crossover). In conseguenza gli elettroni sono sollecitati a seguire le linee del campo, da cui si scostano in ragione inversa dell'intensità dell'induzione.

L'elettrone percorre un'intera spira circolare di raggio

$$r \text{ con velocità } v_p \text{ nel tempo } t = \frac{2 \pi r}{v_2}, \text{ ma per la [19]}$$

$$v_2 = \frac{r e B}{m_o} \text{ sostituendo nell'espressione di } t \text{ si ottiene}$$

$$t = \frac{2 \pi m_o}{e B} \quad (\text{sec}) \quad [24]; \text{ questo tempo è uguale per tutti}$$

gli elettroni, cioè questi impiegano lo stesso tempo  $t$  a percorrere una spira intera indipendentemente dall'angolo  $\alpha$  e quindi dal raggio della spira stessa. Ciò significa che gli elettroni maggiormente divergenti nel punto  $P$  assumono velocità  $v_p$  maggiore rispetto agli elettroni emessi con piccolo angolo  $\alpha$  da  $P$ . Sotto l'azione della componente  $v_1 = v \cos \alpha$  parallela alle linee del campo, l'elettrone percorre nello stesso tempo  $t$ , in cui compie un giro completo, uno spazio

$$s = t v \cos \alpha = \frac{2 \pi m_o}{e B} v \cos \alpha \quad (m) \quad [25]$$

la [25] mostra che lo spostamento assiale degli elettroni (dotati della medesima velocità  $v$ ) è funzione dell'angolo di inclinazione di origine, perciò i vari elettroni dopo aver compiuto una spira si troverebbero sull'asse comune in punti diversi: più avanzati quelli emessi con angolo  $\alpha$  minore, e più arretrati quelli emessi con angolo  $\alpha$  maggiore. Se però si limita il diametro del pennello elettronico in modo che gli angoli  $\alpha$  siano tutti piccolissimi e si possa ritenere con sufficiente approssimazione che sia  $\cos \alpha = 1$ , allora dalla [25] scende che lo spazio  $s$  è uguale per tutti gli elettroni, che dopo il tempo  $t$ , essendo partiti da un punto  $P$  dell'asse, avendo compiuto un giro completo, ritornano sull'asse e si ritrovano tutti nello stesso punto  $P_1$ . Con ciò si è ottenuta la concentrazione degli elettroni che divergenti in  $P$ , vengono riportati ad occupare uno stesso punto  $P_1$  ad ogni giro. La traiettoria è dunque, come si è detto, un'elica cilindrica. La distanza di  $P_1$  da  $P$  può essere regolata variando l'induzione  $B$  del campo concentratore. Quanto più completa è la concentrazione, tanto minore è la sezione del fascetto in  $P_1$  e tanto minore il diametro dello spot nel T.R.C. ossia tanto migliore la focalizzazione dell'immagine sullo schermo fluorescente.

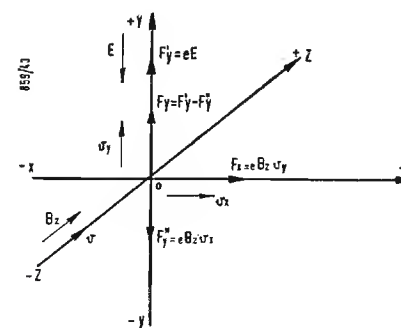


Fig. 9 - Moto elettronico in un campo magnetico parallelo allo spostamento e in un campo elettrico perpendicolare allo spostamento. Componenti della forza agente sull'elettrone.

L'asse  $PP_1$  nel T.R.C. coincide con l'asse del tubo, pertanto in esso le traiettorie elettroniche sono eliche cilindriche di diverso raggio, che proiettate in un piano normale all'asse  $PP_1$  del tubo si presentano come in fig. 7.

## 6. - MOTO ELETTRONICO NEL VUOTO IN DUE CAMPI MAGNETICI RISPETTIVAMENTE PARALLELO E PERPENDICOLARE ALLA DIREZIONE DELLO SPOSTAMENTO (fig. 8).

Sia  $B_1 = \mu H_1$  il campo parallelo alla direzione del moto iniziale, sia  $B_2 = \mu H_2$  il campo perpendicolare. Nel punto

$P$  i campi  $H_1$  e  $H_2$  si sommano vettorialmente dando luogo ad un campo risultante  $H$ , il cui modulo vale  $H = \sqrt{H_1^2 + H_2^2}$ .  $H$  forma un angolo  $\alpha$  con  $H_1$  definito dalla relazione

$$\alpha = \arctg \frac{H_2}{H_1}.$$

Analoghe relazioni esistono fra le corrispondenti induzioni.

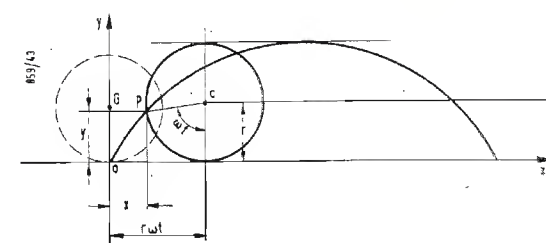


Fig. 10 - Cicloide, proiezione nel piano  $xy$  della traiettoria elettronica nel caso di fig. 9.

Si scomponga la velocità  $v$  in due componenti: una parallela ad  $H$ , e cioè  $v_1 = v \cos \alpha$ , l'altra perpendicolare ad  $H$ , e cioè  $v_2 = v \sin \alpha$ ; quest'ultima, per quanto detto in precedenza, unitamente ad  $H$ , imprime agli elettroni un moto elicoidale secondo un asse parallelo ad  $H$ . Il raggio del cilindro sul quale si sviluppa la traiettoria di un elettrone varia con  $v_2$ , e se questa è piccola, si può ritenere che il corpuscolo si muove in direzione delle linee di  $H$ . L'approssimazione è accettabile se, come mostra la [23], l'angolo  $\alpha$  di inclinazione è assai piccolo e l'intensità del campo è molto alta. La deviazione degli elettroni mediante i due campi  $H_1$  e  $H_2$  è solo possibile se la velocità  $v$  è molto debole.

## 7. - MOTO ELETTRONICO NEL VUOTO IN UN CAMPO MAGNETICO PARALLELO ALLO SPOSTAMENTO E IN UN CAMPO ELETTRICO PERPENDICOLARE ALLO SPOSTAMENTO.

La traiettoria in queste condizioni è una cicloide, come ora si dimostrerà.

Sia in fig. 9 un campo  $H$  magnetico diretto come l'asse  $Z$  di una terna trirettangola di assi di riferimento. Un elettrone sia animato di un moto diretto come le linee di forza di  $H_z \equiv B_z$  con velocità  $v$ . Il campo magnetico non può agire sull'elettrone, che procede col suo moto iniziale finché perviene nella zona di azione del campo elettrico  $E$ . Si assuma come origine degli assi il punto in cui l'elettrone entra in  $E$ , che è perpendicolare a  $B_z$ , quindi ha la direzione dell'asse  $y$  e senso, supponiamo, tale che le sue linee di forza siano dirette verso il basso come indica la freccia nella figura. Il campo  $E$  esercita una forza  $F_y = e E$  sull'elettrone in senso opposto a quello delle linee di forza, perciò lo sollecita verso l'alto.

Allora l'elettrone si sposta secondo l'asse  $y$  ed è sottoposto all'induzione  $B_z$  del campo magnetico perpendicolare, perciò è pure soggetto ad una forza che, per la regola di Fleming, è diretta come l'asse  $x$  verso destra; sia  $F_x$  questa forza ponderomotrice, che obbliga l'elettrone a deviare secondo l'asse  $x$ . A questo punto l'elettrone è diretto secondo  $x$ , è soggetto al campo magnetico  $B_z$  che è perpendicolare al suo spostamento, perciò subisce un'altra forza  $F_y''$  che, ancora per la regola di Fleming, è diretta secondo l'asse  $y$ , ma verso il basso, cioè in opposizione con  $F_y$ .

Limitiamoci in un primo tempo a considerare il moto risultante dell'elettrone nel piano  $xy$ , eliminando la trasla-



zione secondo l'asse  $Z$ . La forza risultante secondo  $y$  agente su corpuscolo vale:

$$F_y = F'_y - F''_y = eE - B \frac{dv_y}{dt} \quad [26]$$

in cui  $v_x$  e  $v_y$  sono le componenti della velocità rispettivamente secondo gli assi  $x$  e  $y$ , dopo che l'elettrone ha subito le due deviazioni sopra ricordate:

La forza secondo l'asse  $x$  vale:

$$F_x = B_z e v_y = m_0 \frac{dv_x}{dt} \quad [27]$$

Si vede che la  $F_y$  è funzione di  $v_x$ , mentre la  $F_x$  è funzione di  $v_y$ .

$$v_y = \frac{m}{B_z e} \frac{dv_x}{dt} = \frac{m \omega}{B_z e} (k_2 \cos \omega t - k_1 \sin \omega t) = k_2 \cos \omega t - k_1 \sin \omega t \quad [30]$$

Dalla [27] si deduce  $v_y = \frac{m}{B_z e} [27']$ , che derivata rispetto al tempo dà:

$$\frac{dv_y}{dt} = \frac{m_0}{B_z e} \frac{d^2 v_x}{dt^2}; \text{ questa sostituita nella [26]}$$

porta a:

$$\frac{d^2 v_x}{dt^2} + \frac{B_z e v_x}{m_0^2} - \frac{B_z e^2 E}{m_0^2} = 0 \quad [28]$$

La [28] è un'equazione differenziale del secondo ordine in  $v_x$  a coefficienti costanti e con termine noto diverso da zero. L'integrale generale della [28] si ottiene sommando all'integrale della corrispondente equazione omogenea (ottenuta ponendo uguale a zero il termine noto) un integrale particolare dell'equazione completa (però priva del termine contenente la derivata prima di  $v_x$ ). Un integrale particolare

$$x = \int_0^t v_x dt = \frac{E}{B_z} \int_0^t (1 - \cos \omega t) dt = \left[ \frac{E}{B_z} t - \frac{1}{\omega} \sin \omega t \right]_0^t = \frac{E}{B_z \omega} \left[ \omega t - \sin \omega t \right]_0^t = \frac{E}{B_z \omega} (\omega t - \sin \omega t) = \frac{m_0 E}{B_z^2 e} (\omega t - \sin \omega t) \quad [31]$$

$$y = \int_0^t v_y dt = \frac{E}{B_z} \int_0^t \sin \omega t = \left[ -\frac{E}{B_z \omega} \cos \omega t \right]_0^t = \frac{E}{B_z \omega} (1 - \cos \omega t) = \frac{m_0 E}{B_z^2 e} (1 - \cos \omega t) \quad [32]$$

della [28] è semplicemente  $v_x = \text{costante} = \frac{E}{B_z}$ , in-

fatti sostituendo questo valore nella [28] la equazione stessa è verificata.

La soluzione dell'equazione differenziale omogenea si ottiene risolvendo l'equazione caratteristica algebrica, che ammette radici coniugate e complesse. L'integrale generale

della [28] è del tipo:

$$v_x = k_1 \cos \omega t + k_2 \sin \omega t + \frac{E}{B_z} \quad [29]$$

dove:  $\omega = \frac{B_z e}{m_0}$ ;  $k_1$  e  $k_2$  sono le costanti di integrazione

da definirsi in base alle condizioni al contorno cioè per  $t = 0$ .

Per ottenere un'espressione di  $v_y$  in funzione delle grandezze in gioco nella [29], basta derivare rispetto al tempo la [29] e sostituire il risultato nella [27']:

$$\frac{dv_x}{dt} = -\omega k_1 \sin \omega t + \omega k_2 \cos \omega t$$

Dalle [29] e [30] per  $t = 0$ , essendo  $v_x = v_y = 0$ , si deduce:

$$k_1 = -\frac{E}{B_z}; \quad k_2 = 0$$

allora le [29] e [30] diventano:

$$v_x = \frac{E}{B_z} (1 - \cos \omega t) \quad [29']$$

$$v_y = \frac{E}{B_z} \sin \omega t \quad [30']$$

Le equazioni parametriche (il parametro è il tempo  $t$ ) della proiezione della traiettoria nel piano  $xy$ , cioè le equazioni delle coordinate  $x$  e  $y$  intese come spazi percorsi nei due sensi ortogonali, si deducono integrando rispetto al tempo le [29'] e [30'], che sono le equazioni parametriche delle due componenti della velocità risultante:

Le [31] e [32] sono le equazioni parametriche di una cicloide c.v.d., cioè della traiettoria di un punto di una circonferenza che rotoli senza slittare lungo l'asse  $x$ .

Il raggio  $r$  della circonferenza vale:

$$r = \frac{E}{\omega B_z} = \frac{m_0 E}{e B_z^2}$$

Se  $E$  e  $B_z$  sono mantenuti costanti il centro  $C$  della circonferenza (il testo segue a pag. 302)

## Stazioni di Radiodiffusione della zona Europea

Vi presentiamo un elenco di stazioni ad onda media comprese tra 529 kHz e 1602 kHz emittenti nella zona europea. Di tali stazioni vi comunichiamo il canale nel quale esse trasmettono, frequenza in kHz del canale stesso, lunghezza d'onda approssimativa e potenza in kW. Le stazioni sono elencate nel più stretto ordine di occupazione dello spettro delle frequenze. Dato che diversi apparecchi portano la gamma delle onde medie estesa fino ai 1650 kHz abbiamo pensato di segnalarvi anche quelle poche stazioni che emettono tra 1602 e 1650 kHz, trattasi comunque di stazioni di scarsissima potenza e di difficile ricezione. In un precedente lavoro vi avevamo presentato il quadro completo della occupazione dello spettro delle frequenze da parte delle stazioni emittenti tra 151 kHz (m 1935) e 520 kHz (m 577).

Alcune abbreviazioni si sono rese necessarie nel nostro lavoro e ve ne diamo una spiegazione:

RNE Radio Nazionale di Spagna  
HR Hessischer Rundfunk  
AFN American Forces Network  
WDR Westdeutscher Rundfunk  
NDR Norddeutscher Rundfunk  
BR Bayerischer Rundfunk  
SWR Sud West Rundfunk  
SDR Sud Dentscher Rundfunk  
FBS Forces Broadcasting Service  
BFN British Forces Network  
BFBS British Forces Broadcasting Station  
EFE Stazioni Spagnole del Movimento Falangista  
EFJ Stazioni Spagnole del Fronte della Gioventù

Da un rapido esame del presente elenco è facile rilevare i molti movimenti avvenuti specie nelle stazioni di grande potenza Francesi ed i moltissimi delle stazioni di piccola potenza dell'EFE, EFJ, EAJ spagnole. L'elenco che vi abbiamo dato comprende tutti i movimenti avvenuti a tutto il 1 giugno 1957.

### ONDE MEDIE - FREQUENZA DA 525 A 1605 kHz.

| Canale | Freq. [kHz] | Lungh. d'onda [m] | Stazione                 | Potenza [kW] |
|--------|-------------|-------------------|--------------------------|--------------|
| 1      | 529         | 567               | Beromunster              | 150          |
| 2      | 539         | 557               | Berlino-Köpenich         | 200          |
| 3      | 548         | 547               | Budapest 1° Kossuth      | 135          |
|        |             |                   | Monaco AFN               | 100          |
|        |             |                   | Odessa II (1)            | 100          |
| 4      | 557         | 539               | Karkow III (2)           | 50           |
|        |             |                   | Helsinki I               | 100          |
|        |             |                   | Monte Ceneri             | 50           |
|        |             |                   | Potsdam                  | 20           |
|        |             |                   | Stalingrad-Zarizyn       | 20           |
|        |             |                   | Timisoara I              | 1            |
|        |             |                   | Guarda                   | 1            |
|        |             |                   | Villa Real               | 1            |
|        |             |                   | Coimbra                  | 1            |
|        |             |                   | Cairo II (3)             | —            |
| 5      | 566         | 530               | Braunau Inn              | 0,05         |
|        |             |                   | Feistritz Dran           | 0,1          |
|        |             |                   | Athlone                  | 100          |
|        |             |                   | Berlino SFB (4)          | 20           |
|        |             |                   | Caltanissetta I          | 10           |
| 6      | 575         | 522               | Kartoum (5)              | 50           |
|        |             |                   | Stoccarda SDR            | 100          |
|        |             |                   | Riga RW 1330             | 100          |
|        |             |                   | Lipsia                   | 300          |
|        |             |                   | Tel Aviv 4XB36 (A)       | 50           |
| 7      | 584         | 514               | Madrid RNE II pr.        | 150          |
|        |             |                   | Klagenfurt S. Peter      | 7            |
|        |             |                   | Salishurgo - Moostrasse  | 10           |
|        |             |                   | Wien - Wilhelmineberg    | 100          |
|        |             |                   | Parigi III               | 1            |
|        |             |                   | Sfax II                  | 1            |
| 8      | 593         | 506               | Sofia II                 | 120          |
|        |             |                   | Francoforte HR           | 100          |
|        |             |                   | Hoher Meisner HR         | 20           |
|        |             |                   | Sundsvall                | 150          |
|        |             |                   | Ordzonikidze (3)         | —            |
|        |             |                   | Tangeri R. Africa        | 12,5         |
| 9      | 602         | 498               | Lione 1°                 | 100          |
|        |             |                   | Chemnitz (Carl-Marx) (3) | —            |
|        |             |                   | Nicosia                  | 10           |
|        |             |                   | Sabboura (Damasco)       | 2            |
| 10     | 611         | 491               | Seba - Aiounn I (Fr.)    | 140          |
|        |             |                   | Berlino - 1° Grunau      | 20           |
|        |             |                   | Grafenwühr AFN           | 10           |
|        |             |                   | Norimberga AFN           | 10           |
|        |             |                   | Frunze                   | 10           |
|        |             |                   | Krasnodar                | 20           |
|        |             |                   | Petrozavodsk RW 1324     | 100          |
|        |             |                   | Radio Bahrain (5)        | 2,5          |
|        |             |                   | Eidar EFT                | 5            |
|        |             |                   | Sarajevo                 | 20           |

| Canale | Freq. [kHz] | Lungh. d'onda [m] | Stazione                 | Potenza [kW] |
|--------|-------------|-------------------|--------------------------|--------------|
| 11     | 620         | 484               | Bad Aussee               | 0,025        |
|        |             |                   | Eisernerz                | 0,1          |
|        |             |                   | Bruxelles I              | 150          |
|        |             |                   | Cairo I                  | 20           |
|        |             |                   | Tedesca (3) - (6)        | —            |
| 12     | 629         | 477               | Vigra                    | 100          |
|        |             |                   | Dorbrin - Lauterach      | 25           |
|        |             |                   | Innsbruck - Aldrans      | 25           |
|        |             |                   | Tunisi I                 | 20           |
|        |             |                   | Godthab OXI (5)          | 1            |
| 13     | 638         | 470               | Siviglia RNE             | 5            |
|        |             |                   | Praga Liblice            | 120          |
|        |             |                   | Shara al Adna            | 7,5          |
| 14     | 647         | 464               | Simferopol RW 1323       | 100          |
|        |             |                   | Daventry                 | 150          |
|        |             |                   | Edimburgo                | 2            |
|        |             |                   | Glosgow                  | 2            |
|        |             |                   | Newcastle                | 2            |
|        |             |                   | Redmoss                  | 2            |
|        |             |                   | Lages (Terceira)         | 1            |
| 15     | 656         | 457               | Tel Aviv 4XB47           | 0,8          |
|        |             |                   | Bolzano I                | 20           |
|        |             |                   | Firenze I                | 80           |
|        |             |                   | Napoli I                 | 80           |
|        |             |                   | Torino I                 | 35           |
|        |             |                   | Venezia I                | 10           |
|        |             |                   | Mourmansk RW 1331        | 150          |
|        |             |                   | Komsomolsk               | 100          |
|        |             |                   | Grozniy                  | 10           |
|        |             |                   | Greifswald               | 5            |
|        |             |                   | Kahoul (5)               | 20           |
| 16     | 665         | 451               | Hoefn                    | 0,7          |
|        |             |                   | Kaunas                   | 100          |
|        |             |                   | Kaiserlautern AFN        | 5            |
|        |             |                   | Lisbona I                | 50           |
|        |             |                   | Damasco (Sabboura)       | 50           |
|        |             |                   | Atene II                 | 5            |
| 17     | 674         | 445               | Bleihurg                 | 0,04         |
|        |             |                   | Gloggvitz                | 0,05         |
|        |             |                   | Mariazell                | 0,05         |
|        |             |                   | Matrei                   | 0,05         |
|        |             |                   | Radentheim               | 0,1          |
|        |             |                   | Ried Innkreis            | 0,1          |
|        |             |                   | Rennes I                 | 150          |
|        |             |                   | Cernigov                 | 100          |
|        |             |                   | Bodo                     | 10           |
|        |             |                   | Gerusalemme - Ramallah   | 20           |
| 18     | 683         | 439               | Belgrado I               | 150          |
|        |             |                   | Berlino RIAS             | 120          |
|        |             |                   | Madrid EAJ7              | 15           |
| 19     | 692         | 434               | Cromer                   | 2            |
|        |             |                   | Moorside Edge            | 150          |
|        |             |                   | White haven              | 2            |
|        |             |                   | Oufa (2)                 | 100          |
|        |             |                   | La Coruña RNE            | 20           |
|        |             |                   | Erfurt                   | 20           |
|        |             |                   | Admont                   | 0,03         |
|        |             |                   | Kotschach                | 0,1          |
|        |             |                   | Obervehlach              | 0,05         |
|        |             |                   | Villach                  | 0,1          |
|        |             |                   | Zwettl                   | 0,05         |
| 20     | 701         | 423               | Aachen WDR               | 5            |
|        |             |                   | Herford NDR              | 2            |
|        |             |                   | Norden - Osterloog NDR   | 2            |
|        |             |                   | Banska Bystrica          | 100          |
|        |             |                   | Bratislava II            | 2            |
|        |             |                   | Hradec - Kralovè         | 2            |
|        |             |                   | Kosice II                | 2            |
|        |             |                   | Liherec                  | 0,5          |
|        |             |                   | Siba - Aiounn II (Araba) | 140          |
|        |             |                   | Istanbul TAW             | 150          |
|        |             |                   | Finmark                  | 20           |
|        |             |                   | Stalinabad RW 208 (7)    | 50           |
| 21     | 710         | 423               | Marseille I              | 150          |
|        |             |                   | Stalino - Jusovka        | 150          |
| 22     | 719         | 417               | Lisbona II               | 15           |
|        |             |                   | « Europa libera »        | 135          |
|        |             |                   | Oestersund               | 150          |
|        |             |                   | Sarakeb - Aleppo (3)     | —            |
|        |             |                   | Djedda (Arabia Saudita)  | 3            |
| 23     | 728         | 412               | Atene I                  | 150          |
|        |             |                   | Klagenfurt - Lend        | 25           |
|        |             |                   | Schwerin                 | 20           |



**sulle onde della radio**

| Canale | Freq.<br>[kHz] | Lungh.<br>d'onda[m] | Stazione                      | Potenza<br>[kW] |
|--------|----------------|---------------------|-------------------------------|-----------------|
|        |                |                     | Wobbelin                      | 220             |
|        |                |                     | Tedesca (3) (6)               | —               |
| 24     | 737            | 407                 | Berlino RIAS                  | 20              |
|        |                |                     | Hof RIAS                      | 40              |
|        |                |                     | Varsavia III                  | 150             |
|        |                |                     | Russa (3) (6)                 | —               |
|        |                |                     | Tedesca (3) (6)               | —               |
|        |                |                     | Barcellona I RNE              | 30              |
|        |                |                     | Akureyri                      | 1,5             |
|        |                |                     | Gerusalemme 4XB34 (B)         | 0,5             |
| 25     | 746            | 402                 | Tedesca (3) (6)               | —               |
|        |                |                     | Tedesca (3) (6)               | —               |
|        |                |                     | Hilversum I                   | 120             |
| 26     | 755            | 397                 | Sakareb - Aleppo              | 20              |
|        |                |                     | Kuopio                        | 20              |
|        |                |                     | Timisoara                     | 50              |
|        |                |                     | Siegen WDR                    | 2               |
|        |                |                     | Oporto I (N.N.)               | 10              |
|        |                |                     | Stalinabad (3)                | —               |
| 27     | 764            | 393                 | Sottens                       | 150             |
|        |                |                     | Rostov sul Don (3)            | —               |
|        |                |                     | Bagdad (3)                    | —               |
| 28     | 773            | 388                 | Malberget                     | 2               |
|        |                |                     | Stoccolma                     | 150             |
|        |                |                     | Hermagor                      | 0,03            |
|        |                |                     | Lend                          | 0,03            |
|        |                |                     | Ober drauburg                 | 0,03            |
|        |                |                     | Salisburgo - Moostrasse       | 1               |
|        |                |                     | S. Michele - Lungau           | 0,03            |
|        |                |                     | Spittal - Drau                | 0,1             |
|        |                |                     | Valencia RNE                  | 5               |
|        |                |                     | Kazan (5) (3)                 | —               |
| 29     | 782            | 384                 | Cairo I                       | 50              |
|        |                |                     | Radio Club CSB9               | 100             |
|        |                |                     | Kiev II                       | 100             |
|        |                |                     | Burg                          | 500             |
| 30     | 791            | 379                 | Città del Vaticano            | 1               |
|        |                |                     | Salonico V.O.A.               | 50              |
|        |                |                     | Limoges I                     | 100             |
|        |                |                     | Astrakan                      | 25              |
| 31     | 800            | 375                 | Monaco BR                     | 80              |
|        |                |                     | Siviglia EAJ5                 | 5               |
|        |                |                     | Leningrado II RW 1327         | 100             |
|        |                |                     | Regua « Alto Duro »           | 0,2             |
|        |                |                     | Wheelus Field AFS             | 1               |
| 32     | 809            | 371                 | Kuibischev (Samara) (2)       | 20              |
|        |                |                     | Burghead                      | 100             |
|        |                |                     | Dumfreis                      | 2               |
|        |                |                     | Redmoos                       | 5               |
|        |                |                     | Westerglen                    | 100             |
|        |                |                     | Skopje                        | 135             |
|        |                |                     | Barcellona EAJ1               | 10              |
| 33     | 818            | 367                 | Trieste I                     | 10              |
|        |                |                     | Varsavia II                   | 100             |
|        |                |                     | Casablanca (araba) II         | 1               |
| 34     | 827            | 363                 | Onjda II                      | 0,2             |
|        |                |                     | Soňa I                        | 100             |
|        |                |                     | Gorckii (5)                   | 100             |
|        |                |                     | Baden - Baden SWF             | 1,5             |
|        |                |                     | Freiburg SWF                  | 40              |
|        |                |                     | Kaiserlautern SWF             | 3               |
|        |                |                     | Koblenz SWF                   | 0,5             |
|        |                |                     | Sigmaringen SWF               | 1               |
|        |                |                     | Treviri SWF                   | 1               |
|        |                |                     | Tetuan II EHT3 (3)            | —               |
| 35     | 836            | 359                 | Bengasi BFBS                  | 1               |
|        |                |                     | Nancy I                       | 150             |
|        |                |                     | Karkov                        | 100             |
|        |                |                     | Karkov                        | 100             |
|        |                |                     | Ylivieska                     | 10              |
|        |                |                     | Huesca RNE                    | 0,2             |
|        |                |                     | Beyrouth « R. Libano »        | 4               |
| 36     | 845            | 355                 | Helsinki III                  | 0,2             |
|        |                |                     | Roma II                       | 150             |
|        |                |                     | Narsarsnak AFRS (5)           | 1               |
| 37     | 854            | 351                 | Madrid EAJ2                   | 7,5             |
|        |                |                     | Bucarest I                    | 150             |
|        |                |                     | Barcellona EFJ15              | 1               |
| 38     | 863            | 348                 | Parigi I                      | 150             |
|        |                |                     | Erivan                        | 20              |
| 39     | 872            | 344                 | Saragozza                     | 30              |
|        |                |                     | Molotov I (8)                 | 50              |
|        |                |                     | Francoforte A.F.N.            | 150             |
|        |                |                     | Budapest II - Petofi          | 135             |
|        |                |                     | Mosca III RW 1329 (9)         | 150             |
| 40     | 881            | 341                 | Penmon                        | 8               |
|        |                |                     | Towyn                         | 5               |
|        |                |                     | Washford                      | 100             |
|        |                |                     | Wrexham                       | 2               |
|        |                |                     | Berlino - Koenigswusterhausen | 100             |

| Canale | Freq.<br>[kHz] | Lungh.<br>d'onda[m] | Stazione                    | Potenza<br>[kW] |
|--------|----------------|---------------------|-----------------------------|-----------------|
|        |                |                     | Stavropol                   | 20              |
|        |                |                     | Titograd                    | 20              |
| 41     | 890            | 337                 | Gmund - Kärnten             | 0,05            |
|        |                |                     | Murau                       | 0,025           |
|        |                |                     | Linz - Freinberg            | 15              |
|        |                |                     | Ouchorod                    | 20              |
|        |                |                     | Bergen I                    | 20              |
|        |                |                     | Kristiansaud                | 20              |
|        |                |                     | Trondelag                   | 20              |
|        |                |                     | Algeri I (araba)            | 50              |
| 42     | 899            | 334                 | Teheran EQA                 | 2               |
|        |                |                     | Milano I                    | 150             |
| 43     | 908            | 330                 | Burg                        | 100             |
|        |                |                     | London                      | 140             |
|        |                |                     | Bagdad HNA (5)              | 100             |
|        |                |                     | Cluj                        | 10              |
|        |                |                     | Dresda                      | 20              |
| 44     | 917            | 317                 | MakHatch - Kala (5)         | 20              |
|        |                |                     | Rabat II (araba)            | 0,25            |
|        |                |                     | Liubiana                    | 135             |
|        |                |                     | Tetuan Radio Dersa          | 5               |
| 45     | 926            | 324                 | Bruxelles II                | 150             |
|        |                |                     | Ivanovo (5)                 | 20              |
|        |                |                     | Luxor (5)                   | 2               |
|        |                |                     | Nis                         | 2               |
| 46     | 935            | 321                 | San Feliù de Llobregat      | 0,2             |
|        |                |                     | Berlin AFN                  | 5               |
|        |                |                     | Lwow                        | 100             |
|        |                |                     | Tangeri Radio Africa        | 100             |
| 47     | 944            | 318                 | Tolosa I                    | 100             |
|        |                |                     | Voronej RW 1332             | 20              |
| 48     | 953            | 315                 | Brno I - Dobrochov          | 100             |
|        |                |                     | Pilsen                      | 15              |
|        |                |                     | M d rid R. Intercontinental | 15              |
| 49     | 962            | 312                 | Tu isi II (araba)           | 20/120          |
|        |                |                     | Turku I                     | 100             |
|        |                |                     | Parigi IV                   | 5               |
|        |                |                     | Araba (6)                   | —               |
| 50     | 971            | 309                 | Göttingen NDR               | 5               |
|        |                |                     | Hamburg NDR                 | 100             |
|        |                |                     | Langeberg WDR               | 100             |
|        |                |                     | Kalmin RW 1334              | 20              |
|        |                |                     | Smolensk RW 1333            | 20              |
| 51     | 980            | 306                 | Algeri II (francese) (10)   | 75              |
|        |                |                     | Trieste A                   | 2,5             |
|        |                |                     | Goeteborg                   | 150             |
|        |                |                     | Assiut (5)                  | 2               |
|        |                |                     | Tedesca (6)                 | —               |
| 52     | 989            | 303                 | Berlin RIAS                 | 300             |
|        |                |                     | Tedesca (6)                 | —               |
| 53     | 998            | 301                 | Büchen - Walldürn SDR       | 0,2             |
|        |                |                     | Heidelberg SDR              | 8               |
|        |                |                     | Kiscinev RW 1326            | 100             |
|        |                |                     | Andorra                     | 60              |
|        |                |                     | Tedesca (6)                 | —               |
|        |                |                     | Kufstein                    | 0,015           |
| 54     | 1007           | 298                 | Corfu                       | 50              |
|        |                |                     | Salonico FBS                | 1               |
|        |                |                     | Hilversum                   | 120             |
|        |                |                     | Malaga RNE                  | 5               |
|        |                |                     | Hospitalet EFE 50           | 2               |
| 55     | 1016           | 295                 | Mainz - Wolfseim SWF        | 70              |
|        |                |                     | Odessa                      | 100             |
|        |                |                     | Seba - Aounn III (11)       | 1               |
| 56     | 1023           | 293                 | Dorbin - Lauterach          | 5               |
|        |                |                     | Graz - Dobl                 | 100             |
|        |                |                     | Lenz - Kroustorf            | 100             |
|        |                |                     | Aden FBS                    | 0,3             |
|        |                |                     | S. Sebastiano EAJ8          | 1,5             |
|        |                |                     | Haifa 4XB48 (12)            | 0,5             |
| 57     | 1034           | 290                 | Paredo Radio Club CSA2      | 20              |
|        |                |                     | Tallinn RW 1345             | 100             |
|        |                |                     | Genova II                   | 2               |
|        |                |                     | Milano II                   | 8               |
|        |                |                     | Napoli II                   | 25              |
|        |                |                     | Pescara II                  | 1               |
|        |                |                     | Venezia II                  | 1               |
|        |                |                     | Ausbach AFN                 | 0,25            |
|        |                |                     | Bad Kissingen AFN           | 0,25            |
|        |                |                     | Kassel AFN                  | 0,25            |
|        |                |                     | Mayrofen                    | 0,045           |
| 58     | 1043           | 288                 | Dresden                     | 240             |
|        |                |                     | Salonico                    | 5               |
|        |                |                     | Rahat III (11)              | 20/0,5          |
|        |                |                     | Spagnola (6)                | —               |
| 59     | 1052           | 285                 | Barnotaple                  | 2               |
|        |                |                     | Start Point                 | 120             |
|        |                |                     | Krems                       | 0,05            |
|        |                |                     | Neuenkirchen                | 0,05            |
|        |                |                     | Bucarest                    | 20              |
|        |                |                     | Suhl                        | 20              |
|        |                |                     | Tripoli (araba) (13)        | 2               |

**sulle onde della radio**

| Canale | Freq.<br>[kHz] | Lungh.<br>d'onda [m] | Stazione                         | Potenza<br>[kW] |
|--------|----------------|----------------------|----------------------------------|-----------------|
| 60     | 1061           | 283                  | Cagliari I                       | 20              |
|        |                |                      | Còimbra                          | 1               |
|        |                |                      | Faro                             | 1               |
|        |                |                      | Saransk (5)                      | —               |
| 61     | 1070           | 280                  | Kalundborg II                    | 60              |
|        |                |                      | Dniepropetiovsk RW 1344          | 20              |
|        |                |                      | Marsiglia II                     | 20              |
|        |                |                      | Parigi II                        | 100             |
| 62     | 1079           | 278                  | Korça                            | 2               |
|        |                |                      | Plauen                           | 20              |
|        |                |                      | Katovice                         | 60              |
|        |                |                      | Bremerhaven                      | 2               |
|        |                |                      | Tangeri II Radio Interc.         | 10              |
|        |                |                      | El Minia (5)                     | 2               |
| 63     | 1088           | 276                  | Badajoz - Radio Juventud         | 2               |
|        |                |                      | Russa (6)                        | —               |
|        |                |                      | Episcopi BFN (Cipro)             | 1               |
|        |                |                      | Droitwich                        | 150             |
|        |                |                      | Postwich                         | 7,5             |
|        |                |                      | Fuesach                          | 0,5             |
|        |                |                      | Kindberg                         | 0,5             |
|        |                |                      | Knittenfeld                      | 0,5             |
|        |                |                      | Liezen                           | 0,5             |
|        |                |                      | Völkermarkt                      | 0,5             |
|        |                |                      | Wolfsberg                        | 0,5             |
|        |                |                      | Spagnola (6)                     | —               |
|        |                |                      | Antequera EFJ 26                 | 2               |
| 64     | 1097           | 275                  | Bratislava I                     | 75              |
|        |                |                      | Spagnola (6)                     | —               |
| 65     | 1106           | 271                  | Stoccarda AFN                    | 100             |
|        |                |                      | Vilna (II programma)             | 200             |
|        |                |                      | Moghilev                         | 100             |
|        |                |                      | Saragozza EFJ 46                 | 2               |
| 66     | 1115           | 269                  | Aosta 2                          | 1               |
|        |                |                      | Bari 2                           | 40              |
|        |                |                      | Bologna 2                        | 50              |
|        |                |                      | Messina 2                        | —               |
|        |                |                      | Pisa 2                           | 10              |
|        |                |                      | Alta                             | 0,25            |
|        |                |                      | Arendall                         | 0,25            |
|        |                |                      | Bergen II                        | 1               |
|        |                |                      | Lista                            | 0,3             |
|        |                |                      | Mo - Rana                        | 0,025           |
|        |                |                      | Narusos                          | 1               |
|        |                |                      | Notodden                         | 1               |
|        |                |                      | Roros                            | 0,25            |
| 67     | 1124           | 267                  | Barcellona EAJ15                 | 3               |
|        |                |                      | Varna                            | 10              |
|        |                |                      | Bruxelles IV (14)                | 10              |
|        |                |                      | Leningrado III                   | 20              |
|        |                |                      | Imst                             | 0,05            |
|        |                |                      | Hofgastcin                       | 0,05            |
|        |                |                      | Murzschlag                       | 0,1             |
| 68     | 1133           | 264                  | Tangeri «P.A.R.» (15)            | 5               |
|        |                |                      | Bilbao EAJ 28                    | 2,5             |
|        |                |                      | Zagabria                         | 135             |
|        |                |                      | Spalato                          | 50              |
| 69     | 1142           | 262                  | Bremerhaven AFN                  | 1               |
|        |                |                      | Schweinfurt AFN                  | 0,25            |
|        |                |                      | Füssen AFN                       | 0,25            |
|        |                |                      | Hersfeld AFN                     | 0,25            |
|        |                |                      | Würzburg AFN                     | 0,25            |
|        |                |                      | Kaliningrad RW 1337              | 20              |
|        |                |                      | Costantina I (francese)          | 20              |
|        |                |                      | Orano I (francese)               | 40              |
|        |                |                      | Sohag (5)                        | 2               |
|        |                |                      | Zell Am See                      | 0,05            |
|        |                |                      | Radio Toledo EAJ 49              | 2               |
|        |                |                      | Puigcerdà EFE 16                 | 2               |
| 70     | 1151           | 261                  | La Voz de Navarra EFE 57         | 2               |
|        |                |                      | Lisnagarvey                      | 100             |
|        |                |                      | Londonderry                      | 0,25            |
|        |                |                      | Scarborough                      | 2               |
|        |                |                      | Stagschaw                        | 100             |
|        |                |                      | Oradea                           | 5               |
|        |                |                      | Manises EFE 59                   | 2               |
| 71     | 1160           | 259                  | Strasburgo                       | 150             |
| 72     | 1169           | 257                  | Leon EFE 5                       | 2               |
|        |                |                      | Radio Koper (Capodistria)        | 6               |
|        |                |                      | Heilbronn - Overeises - Heim SDR | 8               |
|        |                |                      | Ulm - Jungingen SDR              | 3               |
|        |                |                      | Porto Radio Renascença           | 1,5             |
| 73     | 1178           | 255                  | Odessa                           | 150             |
|        |                |                      | Assouan (5)                      | 2               |
|        |                |                      | Hörby                            | 100             |
|        |                |                      | Cuenca RNE                       | 10              |
|        |                |                      | Spagnola (6)                     | —               |
|        |                |                      | Spagnola (6)                     | —               |
|        |                |                      | Bruck - Mur                      | 0,1             |
| 74     | 1187           | 253                  | Megara (Grecia)                  | 0,06            |
|        |                |                      | Spagnola (6)                     | —               |

| Canale | Freq.<br>[kHz] | Lungh.<br>d'onda [m] | Stazione                          | Potenza<br>[kW] |
|--------|----------------|----------------------|-----------------------------------|-----------------|
|        |                |                      | Casablanca I (francese)           | 1               |
|        |                |                      | Oujda I (francese)                | 0,25            |
|        |                |                      | Szabadzag                         | 135             |
| 75     | 1196           | 251                  | Oviedo EFE 22                     | 5               |
|        |                |                      | Monaco V.O.A.                     | 150             |
|        |                |                      | Bernburg (Halle)                  | 20              |
| 76     | 1205           | 249                  | Spagnola (6)                      | —               |
|        |                |                      | Bordeaux I                        | 100             |
|        |                |                      | Poznan                            | 30              |
|        |                |                      | Haifa 4XB 35 (A)                  | 0,5             |
|        |                |                      | Hofgastein                        | 0,05            |
| 77     | 1214           | 247                  | Alessandria d'Egitto (araba) (16) | 2               |
|        |                |                      | Barcellona RNE II                 | 5               |
|        |                |                      | Brookmans Park                    | 60              |
|        |                |                      | Burghead                          | 20              |
|        |                |                      | Lisnagarvey                       | 10              |
|        |                |                      | Londonderry                       | 0,25            |
|        |                |                      | Moorside Edge                     | 58              |
|        |                |                      | Newcastle                         | 2               |
|        |                |                      | Plymouth                          | 0,3             |
|        |                |                      | Redmoss                           | 2               |
|        |                |                      | Redruth                           | 2               |
|        |                |                      | Westerglen                        | 50              |
|        |                |                      | Kurks RW 1340                     | 20              |
|        |                |                      | Tallin II                         | 5               |
|        |                |                      | Tedesca (6)                       | —               |
| 78     | 1232           | 245                  | Iudenburg                         | 0,1             |
|        |                |                      | Stara Zagora                      | 20              |
|        |                |                      | Madrid EFE 14                     | 20              |
|        |                |                      | Falun                             | 100             |
| 79     | 1232           | 244                  | Tangeri Radio Intercontinental    | 50              |
|        |                |                      | Kosice                            | 100             |
|        |                |                      | Orava                             | 1               |
| 80     | 1241           | 242                  | Usti nad Labem                    | 1               |
|        |                |                      | Lilla II                          | 20              |
|        |                |                      | Lione II                          | 20              |
|        |                |                      | Nancy II                          | 20              |
|        |                |                      | Nizza II                          | 20              |
|        |                |                      | Pau                               | 20              |
|        |                |                      | Brest I (Quimerch)                | 20              |
|        |                |                      | Rennes II                         | 20              |
|        |                |                      | Vaasa                             | 25              |
| 81     | 1250           | 240                  | Tiraspol RW 1343                  | 20              |
|        |                |                      | Avila EFE 22                      | 1               |
|        |                |                      | Nyiregyhaza                       | 135             |
|        |                |                      | Cork                              | 5               |
|        |                |                      | Dublino                           | 5               |
|        |                |                      | Viscaya EFJ 43                    | 0,2             |
|        |                |                      | Blanes EFE 56                     | 0,2             |
| 82     | 1259           | 238                  | Valencia EAJ 3                    | 5               |
|        |                |                      | S.S. Courier V.O.A.               | 150             |
|        |                |                      | Wroclaw                           | 50              |
|        |                |                      | Bishofshofen                      | 0,05            |
| 83     | 1268           | 237                  | Linares EFJ 37                    | 0,2             |
|        |                |                      | Novisad                           | 100             |
| 84     | 1277           | 235                  | Valladolid EFE I                  | 1               |
|        |                |                      | Strasbourg II                     | 100             |
|        |                |                      | Tel Aviv 4XB53                    | 1               |
| 85     | 1286           | 233                  | Spagnola (6)                      | —               |
|        |                |                      | Lisbona « Radio Renascença » CSB3 | 2               |
|        |                |                      | Praga (Melnick) II                | 100             |
|        |                |                      | Spagnola (6)                      | —               |
| 86     | 1295           | 231                  | Berlino B.B.C.                    | 5               |
|        |                |                      | Norden - Osterloog B.B.C.         | 100             |
|        |                |                      | S. Sebastiano EFE 23              | 5               |
|        |                |                      | Rabat I                           | 0,25            |
| 87     | 1304           | 230                  | Atene F.B.S.                      | 1               |
|        |                |                      | Gdansk                            | 2               |
|        |                |                      | Szczecin                          | 100             |
|        |                |                      | Zielona Gora                      | 2               |
|        |                |                      | Bamberg                           | 0,25            |
|        |                |                      | Berchtesgaden                     | 0,25            |
|        |                |                      | Fulda                             | 0,25            |
|        |                |                      | Heidelberg                        | 1               |
|        |                |                      | Regensburg                        | 0,25            |
|        |                |                      | Kaufbeuren                        | 0,25            |
|        |                |                      | Constantine II (araba)            | 20              |
|        |                |                      | Orano II (araba)                  | 40              |
| 88     | 1313           | 228                  | Spagnola (6)                      | —               |
|        |                |                      | Alicante EFE 8                    | 0,2             |
|        |                |                      | Leoben                            | 0,1             |
|        |                |                      | Stawanger                         | 100             |
|        |                |                      | Badalona EAJ 39                   | 0,2             |
|        |                |                      | Vitoria EAJ 62                    | 0,2             |
|        |                |                      | Carlet EFE 48                     | 0,2             |
|        |                |                      | Salamanca EAJ 56                  | 0,2             |
|        |                |                      | Las Palmas EAJ 50                 | 0,2             |
|        |                |                      | Ayora EFJ 17                      | 0,4             |
|        |                |                      | Villanueva EFJ 20                 | 0,4             |
|        |                |                      | Ribadavia EFJ 8                   | 0,4             |
|        |                |                      | Vicarillo EFJ 18                  | 0,4             |



# sulle onde della radio

| Canale | Freq. [kHz] | Lungh. d'onda [m] | Stazione                  | Potenza [kW] |
|--------|-------------|-------------------|---------------------------|--------------|
| 89     | 1322        | 227               | Lipsia II                 | 150          |
|        |             |                   | Cadice EAJ 59             | 2            |
|        |             |                   | Karkov II                 | 100          |
|        |             |                   | Angra do Heroismo         | 0,15         |
|        |             |                   | Radio Santarem - Ribatejo | 0,15         |
| 90     | 1331        | 225               | Elche EFE 49              | 0,2          |
|        |             |                   | Bari I                    | 20           |
|        |             |                   | Bologna I                 | 25           |
|        |             |                   | Catania I                 | 0,2          |
|        |             |                   | Genova I                  | 50           |
|        |             |                   | Palermo I                 | 0,2          |
|        |             |                   | Pescara I                 | 20           |
|        |             |                   | Reggio Calabria I         | 0,2          |
|        |             |                   | Roma I                    | 80           |
|        |             |                   | Udine I                   | 1            |
|        |             |                   | Spagnola (6)              | —            |
| 91     | 1340        | 224               | Baza EFJ 28               | 0,2          |
|        |             |                   | Crouborough               | 150          |
|        |             |                   | Magiarovar                | 5            |
|        |             |                   | Miskolc                   | 5            |
|        |             |                   | Pecs                      | 5            |
|        |             |                   | Nyiregyhaza               | 5            |
|        |             |                   | Algemesi EFJ 10           | 0,2          |
|        |             |                   | Hayfa 4XB 42              | 1            |
|        |             |                   | Talavera del Reina (EFJ)  | 0,2          |
| 92     | 1349        | 222               | Clermont                  | 20           |
|        |             |                   | Grenoble I                | 20           |
|        |             |                   | Limoges II                | 20           |
|        |             |                   | Nantes I                  | 10           |
|        |             |                   | Tolosa II                 | 20           |
|        |             |                   | Kuldiga RW 1338           | 20           |
|        |             |                   | Madona RW 1339            | 20           |
|        |             |                   | Melilla EAJ 21            | 0,2          |
|        |             |                   | Roda De Ter EFE 53        | 0,1          |
|        |             |                   | Ungherese (6)             | —            |
|        |             |                   | Sabadel EFJ 12            | 0,2          |
| 93     | 1358        | 221               | Palamos EFE 40            | 2            |
|        |             |                   | Olot EFE 41               | 0,2          |
|        |             |                   | Canarras EFJ 57           | 0,4          |
|        |             |                   | Tirana                    | 50           |
|        |             |                   | Brema RB                  | 20           |
|        |             |                   | Reus EAJ 11               | 2            |
|        |             |                   | Elvas                     | 1            |
|        |             |                   | Almeria EFJ 25            | 8            |
|        |             |                   | Ferrol EFE 15             | 0,25         |
| 94     | 1367        | 219               | Porto II                  | 10           |
|        |             |                   | Bari 3                    | 1            |
|        |             |                   | Bologna 3                 | 1            |
|        |             |                   | Bolzano 3                 | 0,5          |
|        |             |                   | Catania 3                 | 0,25         |
|        |             |                   | Firenze 3                 | 1            |
|        |             |                   | Genova 3                  | 0,25         |
|        |             |                   | Messina 3                 | 0,2          |
|        |             |                   | Milano 3                  | 5            |
|        |             |                   | Napoli 3                  | 12,5         |
|        |             |                   | Palermo 3                 | 0,25         |
|        |             |                   | Roma 3                    | 5            |
|        |             |                   | Torino 3                  | 5            |
|        |             |                   | Venezia 3                 | 5            |
|        |             |                   | Verona 3                  | 1            |
|        |             |                   | Torun                     | 26           |
|        |             |                   | Spagnola (6)              | —            |
|        |             |                   | Basilea                   | 0,5          |
|        |             |                   | Coira                     | 0,5          |
|        |             |                   | Saviese                   | 0,5          |
|        |             |                   | Sool                      | 0,5          |
| 95     | 1376        | 219               | Cordoba EAJ 24            | 0,2          |
|        |             |                   | Velez Rubio EFE 60        | 0,2          |
|        |             |                   | Lilla I                   | 150          |
|        |             |                   | Maresma de Mataro EFE 27  | 0,2          |
|        |             |                   | Valencia Radio Alerta     | 5            |
|        |             |                   | Granada EFE 45            | 0,2          |
|        |             |                   | Albacete EFE 13           | 0,2          |
| 96     | 1385        | 217               | Kaunas                    | 150          |
|        |             |                   | Spagnola (6)              | —            |
|        |             |                   | Rodi (3)                  | —            |
|        |             |                   | Villafranca EFE 9         | 0,4          |
|        |             |                   | Cantabria EFE 25          | 0,4          |
| 97     | 1394        | 215               | Badajoz EFE 38            | 0,4          |
|        |             |                   | Eskilstuna                | 0,5          |
|        |             |                   | Halsingborg               | 1,5          |
|        |             |                   | Ionköping                 | 0,2          |
|        |             |                   | Karlskrona                | 1,5          |
|        |             |                   | Kiruna                    | 0,5          |
|        |             |                   | Kristinehamn              | 0,2          |
|        |             |                   | Saffle                    | 0,4          |
|        |             |                   | Trollätthan               | 2            |
|        |             |                   | Uppsala                   | 0,5          |
|        |             |                   | Varberg                   | 0,2          |
|        |             |                   | Visby                     | 0,5          |
|        |             |                   | Bad - isch                | 0,05         |
|        |             |                   | Graz. San Pietro          | 25           |

| Canale | Freq. [kHz] | Lungh. d'onda [m] | Stazione                        | Potenza [kW] |
|--------|-------------|-------------------|---------------------------------|--------------|
|        |             |                   | Bittburg AFN                    | 0,25         |
|        |             |                   | Gerusalemme 4XB 43 (I7)         | 1            |
|        |             |                   | Rodi                            | 5            |
| 98     | 1403        | 214               | Vigo EAT 48                     | 0,2          |
|        |             |                   | Bordeaux II                     | 20           |
|        |             |                   | Montpellier I                   | 10           |
|        |             |                   | Nice II                         | 20           |
|        |             |                   | Brest II                        | 20           |
|        |             |                   | Rouen                           | 20           |
|        |             |                   | Tallin                          | 20           |
|        |             |                   | Komotini                        | 5            |
|        |             |                   | Maria Pfarr                     | 0,05         |
|        |             |                   | Orihuela EFE 24                 | 0,4          |
|        |             |                   | Denia EFE 7                     | 0,2          |
| 99     | 1412        | 212               | Cadiz EFJ 5                     | 2            |
|        |             |                   | Iaen EAJ 61                     | 2            |
|        |             |                   | Candia EAJ 23                   | 0,5          |
|        |             |                   | Bad. Mergentheim SDR            | 3            |
|        |             |                   | Maribor                         | 5            |
|        |             |                   | Pristina                        | 20           |
|        |             |                   | Réjeka                          | 20           |
|        |             |                   | Tenerife EAJ 43                 | 0,4          |
| 100    | 1421        | 211               | Zamora EAJ 72                   | 0,2          |
|        |             |                   | Palencia EFE 4                  | 0,4          |
|        |             |                   | Radio Almeria EAJ 60            | 2            |
|        |             |                   | Saarrebruck                     | 20           |
|        |             |                   | Tchernigov                      | 5            |
|        |             |                   | Algeri III (Kabila)             | 10           |
|        |             |                   | Atene III                       | 2            |
|        |             |                   | Alcira EAJ 54                   | 0,2          |
|        |             |                   | Radstadt                        | 0,05         |
|        |             |                   | Sfax di Tunisia                 | 0,05         |
| 101    | 1430        | 210               | Orense EAJ 57                   | 0,4          |
|        |             |                   | Campo de Gibraltar EFJ 55       | 0,4          |
|        |             |                   | Mallorca EAJ 13                 | 0,4          |
|        |             |                   | Copenaghen (Herstedv.)          | 10           |
|        |             |                   | Skive                           | 70           |
|        |             |                   | Caceres EFE 6                   | 0,8          |
|        |             |                   | Bucarest                        | 5            |
| 102    | 1439        | 209               | Utiel EFE 11                    | 0,2          |
|        |             |                   | Lussemburgo                     | 150          |
|        |             |                   | Sagunto EFE 13                  | 0,4          |
| 103    | 1448        | 207               | Spagnola (6)                    | —            |
|        |             |                   | Alicante EAJ 31                 | 2            |
|        |             |                   | Granada EAJ 16                  | 1            |
|        |             |                   | Alora EAJ 26                    | 1            |
|        |             |                   | Ancona 2                        | 5            |
|        |             |                   | Cagliari 2                      | 0,25         |
|        |             |                   | Caltanissetta 2                 | 0,25         |
|        |             |                   | Catania 2                       | 5            |
|        |             |                   | Firenze 2                       | 5            |
|        |             |                   | Palermo 2                       | 10           |
|        |             |                   | S. Remo 2                       | 5            |
|        |             |                   | Sassari 2                       | 1            |
|        |             |                   | Torino 2                        | 20           |
|        |             |                   | Udine 2                         | 1            |
|        |             |                   | Falkenberg                      | 0,2          |
|        |             |                   | Gävle                           | 0,5          |
|        |             |                   | Hudiksvall                      | 1,5          |
|        |             |                   | Ornskoldsvick                   | 1,5          |
|        |             |                   | Västerås                        | 2            |
|        |             |                   | Tedesca (6)                     | —            |
| 104    | 1457        | 206               | Soria EFJ 2                     | 2            |
|        |             |                   | Bartley                         | 10           |
|        |             |                   | Bexhill                         | 2            |
|        |             |                   | Brighton                        | 2            |
|        |             |                   | Clevedon                        | 20           |
|        |             |                   | Folkestone                      | 1            |
|        |             |                   | Redruth                         | 2            |
|        |             |                   | Amstetten                       | 0,05         |
|        |             |                   | Schrums                         | 0,05         |
|        |             |                   | Wiener - Neustadt               | 0,05         |
|        |             |                   | Craiova                         | 20           |
|        |             |                   | Vitoria EAJ                     | 2            |
|        |             |                   | Ciudad Real EAJ 65              | 0,2          |
|        |             |                   | Caramulo Radio Polo Norte       | 0,05         |
| 105    | 1456        | 205               | Monte Carlo                     | 120          |
|        |             |                   | Geilo                           | 0,25         |
|        |             |                   | Narvich                         | 1            |
|        |             |                   | Odda                            | 0,25         |
|        |             |                   | Porogrunn                       | 1            |
|        |             |                   | Sandnessjoen                    | 0,25         |
|        |             |                   | Svalbard                        | 1            |
| 106    | 1475        | 203               | Huesca RNE                      | 1            |
|        |             |                   | Vienna - Wilhelminenberg        | 25           |
|        |             |                   | Cecoslovacca (6)                | —            |
|        |             |                   | Sabadell EAJ 20                 | 0,2          |
|        |             |                   | FREQUENZA COMUNE INTERNAZIONALE | —            |
| 107    | 1484        | 202               | Berlino II SFB                  | 5            |
|        |             |                   | Augsburg BR                     | 0,35         |
|        |             |                   | Coburg BR                       | 1            |

| Canale | Freq. [kHz] | Lungh. d'onda [m] | Stazione                         | Potenza [kW] |
|--------|-------------|-------------------|----------------------------------|--------------|
|        |             |                   | Laudshut BR                      | 0,35         |
|        |             |                   | Legensburg BR                    | 2            |
|        |             |                   | Weiden BR                        | 0,5          |
|        |             |                   | Craislshelm SDR                  | 0,2          |
|        |             |                   | Heidenheim SDR                   | 0,2          |
|        |             |                   | Mosbach SDR                      | 0,2          |
|        |             |                   | Schwäbisch Hall SDR              | 0,2          |
|        |             |                   | Wertheim Main SDR                | 0,2          |
|        |             |                   | Saint Polten                     | 0,2          |
|        |             |                   | Kortrijk                         | 0,5          |
|        |             |                   | Liegi                            | 5            |
|        |             |                   | Copenaghen (1° programma)        | 2            |
|        |             |                   | Aalborg (2° programma)           | 0,25         |
|        |             |                   | Toender (2° programma)           | 0,25         |
|        |             |                   | Helsinki II (Lahti)              | 1            |
|        |             |                   | Pori (Lahti)                     | 1            |
|        |             |                   | Tampere (Lahti)                  | 1            |
|        |             |                   | Turku II (Lahti)                 | 0,2          |
|        |             |                   | Pietarsaari (Helsinki)           | 1            |
|        |             |                   | Taammissaari (Helsinki)          | 0,2          |
|        |             |                   | Grenoble II (Inter.)             | 0,05         |
|        |             |                   | Montpellier (Inter.)             | 0,25         |
|        |             |                   | Perpignano (Inter.)              | 1            |
|        |             |                   | Annemasse (nazionale)            | 1            |
|        |             |                   | Besançon (Nazionale)             | 0,20         |
|        |             |                   | Caen (Nazionale)                 | 0,05         |
|        |             |                   | Digione (Nazionale)              | 1            |
|        |             |                   | Poitiers (Nazionale)             | 1            |
|        |             |                   | Saint Brieuc (Nazionale)         | 0,05         |
|        |             |                   | Bona di Algeria                  | 0,02         |
|        |             |                   | Volos di Grecia                  | 0,2          |
|        |             |                   | Keflavik AFN                     | 0,25         |
|        |             |                   | Aquila I                         | —            |
|        |             |                   | La Spezia I                      | 0,25         |
|        |             |                   | Potenza I                        | —            |
|        |             |                   | Verona I                         | 1            |
|        |             |                   | Avellino 2                       | —            |
|        |             |                   | Bolzano 2                        | 2            |
|        |             |                   | Catanzaro 2                      | —            |
|        |             |                   | Cosenza 2                        | —            |
|        |             |                   | Gorizia 2                        | 0,04         |
|        |             |                   | Lecce 2                          | —            |
|        |             |                   | Trieste 2                        | 0,25         |
|        |             |                   | Port Lyautey AFN (WNAA)          | 0,25         |
|        |             |                   | Broennoeysund                    | 0,25         |
|        |             |                   | Glomfjord                        | 0,25         |
|        |             |                   | Mosjoen                          | 0,025        |
|        |             |                   | Rjukan                           | 0,25         |
|        |             |                   | Kielce                           | 1            |
|        |             |                   | Szczecin                         | 1            |
|        |             |                   | Radio Clube do Funchal CSB 90    | 1            |
|        |             |                   | Portalegre                       | 1            |
|        |             |                   | Logroño EAJ 18                   | 2            |
|        |             |                   | Barrou                           | 2            |
|        |             |                   | Ramsgate                         | 2            |
|        |             |                   | Göteborg                         | 0,25         |
|        |             |                   | Stoccolma                        | 0,25         |
|        |             |                   | Brno II                          | 2            |
|        |             |                   | Hradec - Kralove                 | 2            |
|        |             |                   | Iihlava                          | 2            |
|        |             |                   | Liberec                          | 2            |
|        |             |                   | Ustilabem                        | 2            |
|        |             |                   | Bengasi                          | 5            |
|        |             |                   | Tripoli BFBS                     | 7,5          |
|        |             |                   | Bitolia                          | 0,5          |
|        |             |                   | Dubrovnic                        | 0,8          |
|        |             |                   | Osijek                           | 0,8          |
| 108    | 1493        | 201               | Mauresa EAJ 51                   | 0,4          |
|        |             |                   | Zagabria - Sljeme                | 2            |
|        |             |                   | Kitzbüel                         | 0,5          |
|        |             |                   | Mittersill                       | 0,5          |
|        |             |                   | Reutte                           | 0,015        |
|        |             |                   | Saalfelden                       | 0,05         |
|        |             |                   | Schwarzach Pongau                | 0,05         |
|        |             |                   | Wörgl                            | 0,05         |
|        |             |                   | Bayonne                          | 1            |
|        |             |                   | Brest III                        | 1            |
|        |             |                   | Marsiglia III                    | 1            |
|        |             |                   | Nantes III                       | 0,05         |
|        |             |                   | Strasburgo III                   | 0,05         |
|        |             |                   | Tolosa III                       | 1            |
|        |             |                   | Gomel                            | 20           |
|        |             |                   | Albacete EAJ 44                  | 0,4          |
|        |             |                   | Romena (6)                       | —            |
|        |             |                   | Spagnola (6)                     | —            |
|        |             |                   | Radio « Alto Altitude » - Guarda | 0,005        |
|        |             |                   | Tedesca (6)                      | —            |
| 109    | 1502        | 200               | Pontevedra EAJ40                 | 0,2          |
|        |             |                   | Taraza EAJ 25                    | 0,2          |
|        |             |                   | Cracovia                         | 30           |
|        |             |                   | Münster WDR                      | 0,4          |
|        |             |                   | Garmisch AFN                     | 0,25         |

# sulle onde della radio

| Canale | Freq. [kHz] | Lungh. d'onda [m] | Stazione            | Potenza [kW] |
|--------|-------------|-------------------|---------------------|--------------|
|        |             |                   | Giessen AFN         | 0,25         |
|        |             |                   | Stranbing AFN       | 0,25         |
|        |             |                   | Leon EAJ 63         | 2            |
|        |             |                   | Lages Field AFN     | 0,05         |
|        |             |                   | Radio Meshed (5)    | 0,4          |
|        |             |                   | Radio Ishafan (5)   | 0,4          |
|        |             |                   | Radio Kurdistan (5) | 0,4          |
| 110    | 1511        | 199               | Gijon EAJ 34        | 2            |
|        |             |                   | Murcia EAJ 17       | 0,2          |
|        |             |                   | Bruxelles III       | 20           |
|        |             |                   | Chania              | 5            |
|        |             |                   | Patrasso            | 0,5          |
|        |             |                   | Lerida EAJ 42       | 0,2          |
| 111    | 1520        | 197               | Gerona EAJ 38       | 0,2          |
|        |             |                   | Vich EFE 55         | 0,2          |
|        |             |                   | Budejovice          | 5            |
|        |             |                   | Karlovy - Vary      | 15           |
|        |             |                   | Morava - Ostrava    | 20           |
|        |             |                   | Praha               | —            |
|        |             |                   | Tedesca (6)         | —            |
| 112    | 1529        | 196               | Alava EFE 10        | 0,2          |
|        |             |                   | Panades EAJ 35      | 0,2          |
|        |             |                   | Cecoslovacca (6)    | —            |
|        |             |                   | Vaticano            | 15           |
|        |             |                   | Porius              | 0,075        |
|        |             |                   | Söderhamn           | 0,06         |
|        |             |                   | Umea                | 1,5          |
|        |             |                   | Elche EAJ 53        | 2            |
| 113    | 1538        | 195               | Avila EFE 32        | 0,2          |
|        |             |                   | Bad - Düvveim SWF   | 20           |
|        |             |                   | Ravensburg SWF      | 40           |
|        |             |                   | Reutlingen SWF      | 10           |
| 114    | 1546        | 194               | Belfast             | 0,25         |
|        |             |                   | Bournemouth         | 0,25         |
|        |             |                   | Brighton            | 1            |
|        |             |                   | Dundee              | 0,25         |
|        |             |                   | Exeter              | 0,25         |
|        |             |                   | Farnham             | 1            |
|        |             |                   | Leeds               | 1            |
|        |             |                   | Liverpool           | 1            |
|        |             |                   | Plymouth            | 1            |
|        |             |                   | Preston             | 1            |
|        |             |                   | Redruth             | 1            |
|        |             |                   | Sheffield           | 1            |
|        |             |                   | Stockton            | 0,25         |
|        |             |                   | Swansea             | 1            |
|        |             |                   | Vinnitza            | 5            |
| 115    | 1554        | 193               | Nizza I             | 60           |
|        |             |                   | Baranovicze         | 20           |
| 116    | 1562        | 192               | Zweibrücken CFN     | 5            |
|        |             |                   | Borås               | 2            |
|        |             |                   | Halmstad            | 2            |
|        |             |                   | Kalmar              | 2            |
|        |             |                   | Karlstad            | 0,25         |
|        |             |                   | Malmö               | 2            |
|        |             |                   | Norrköping          | 1,5          |
|        |             |                   | Orebro              | 0,5          |
|        |             |                   | Uddevalla           | 0,5          |
|        |             |                   | Covihla             | 1            |
| 117    | 1570        | 191               | Tarragona EFE 33    | 0,2          |
|        |             |                   | Flensburg NDR       | 3            |



| Canale                          | Freq. [kHz] | Lungh. d'onda [m] | Stazione                  | Potenza [kW] |
|---------------------------------|-------------|-------------------|---------------------------|--------------|
|                                 |             |                   | Merano 2                  | 0,04         |
|                                 |             |                   | Potenza 2                 | 0,04         |
|                                 |             |                   | Salerno 2                 | 0,04         |
|                                 |             |                   | Savona 2                  | 0,04         |
|                                 |             |                   | Siena 2                   | 0,04         |
|                                 |             |                   | Sondrio 2                 | 0,04         |
|                                 |             |                   | Teramo 2                  | —            |
|                                 |             |                   | Trento 2                  | 0,04         |
|                                 |             |                   | Verona 2                  | 0,1          |
|                                 |             |                   | Vicenza 2                 | —            |
|                                 |             |                   | Livorno 3                 | 0,1          |
|                                 |             |                   | Pisa 3                    | 0,1          |
|                                 |             |                   | Trieste 3                 | —            |
|                                 |             |                   | Fredrikstad               | 10           |
| 119                             | 1586        | 189               | Nordkapp (Honningsvåg)    | 2            |
|                                 |             |                   | Tripoli AFS               | 1            |
|                                 |             |                   | Wheelus Field             | 1            |
|                                 |             |                   | Bonn WDR                  | 5            |
|                                 |             |                   | Kleve WDR                 | 3            |
|                                 |             |                   | Hannover NDR              | 20           |
|                                 |             |                   | Kiel NDR                  | 5            |
|                                 |             |                   | Oldenburg NDR             | 40           |
|                                 |             |                   | Osnabrück NDR             | 5            |
|                                 |             |                   | Ungheresi (6)             | —            |
| FREQUENZA COMUNE INTERNAZIONALE |             |                   |                           |              |
| 120                             | 1594        | 188               | Esbjerg                   | 2            |
|                                 |             |                   | Nimes                     | 2            |
|                                 |             |                   | Tolone                    | 0,05         |
|                                 |             |                   | Bougie d'Algeria          | 0,6          |
|                                 |             |                   | Radio Funchal             | 0,5          |
|                                 |             |                   | Tangeri P.A.R. (15)       | 0,25         |
|                                 |             |                   | Ben Guerir WLEH A.F.S.    | 0,1          |
|                                 |             |                   | Sidi Slimane W.COX A.F.S. | 0,1          |
|                                 |             |                   | Rabat KFAD A.F.S.         | 0,1          |
|                                 |             |                   | Hengelo, overijssel       | 2,5          |
|                                 |             |                   | Hoogezand                 | 2,5          |
|                                 |             |                   | Hulsberg                  | 2,5          |
|                                 |             |                   | Bialstock                 | 30           |

| Canale | Freq. [kHz] | Lungh. d'onda [m] | Stazione                        | Potenza [kW] |
|--------|-------------|-------------------|---------------------------------|--------------|
|        |             |                   | Lisbona « Emissora Associados » | 1            |
|        |             |                   | Lisbona « Radio Restauração »   | 0,15         |
|        |             |                   | Nouacer WIND A.F.S.             | 0,1          |
|        |             |                   | Radio Peninsular                | 1            |
|        |             |                   | Radio Graça                     | 1            |
|        |             |                   | Radio Voz de Lisboa             | 1            |
|        |             |                   | Radio Club Radiofonico          | 1            |
| 121    | 1602        | 187               | Hof BR                          | 0,4          |
|        |             |                   | Kirchheim - Schwaben BR         | 20           |
|        |             |                   | Landau - Isar BR                | 20           |
|        |             |                   | Norimberga BR                   | 40           |

Al di fuori di tali frequenze è possibile ricevere alcune emissioni spagnole e delle Forze Armate Canadesi in Europa:

| Canale | Freq. [kHz] | Stazione            | Potenza [kW] |
|--------|-------------|---------------------|--------------|
|        | 1615 kHz    | Mora de Ebro EFE 51 | 0,2          |
|        | 1615        | Canadian Forces CFN | 0,35         |
|        | 1621        | Canadian Forces CFN | 0,35         |
|        | 1623        | Tortosa EFE 28      | 0,2          |
|        | 1636        | Canadian Forces (6) | —            |
|        | 1642        | Canadian Forces (6) | —            |

Note:

- 1) dalle ore 08.00 alle 14.10, alla domenica termina alle ore 17.00.
- 2) dalle ore 17.20 alle ore 22.00, sabato dalle 17.00 alle 22.00.
- 3) potenza in kW sconosciuta.
- 4) di notte potenza ridotta a 5 kW.
- 5) extraeuropea, extra Piano di Copenaghen.
- 6) sconosciuta, né ufficialmente segnalata.
- 7) dalle ore 11.00 alle 08.00, extraeuropea.
- 8) dalle ore 04.00 alle ore 13.00.
- 9) dalle ore 13.00 alle ore 23.00.
- 10) frequenza non stabile.
- 11) programma C del Marocco.
- 12) programma B di Israele.
- 13) dalle ore 19.30 alle ore 22.00.
- 14) Houdeng notturna e Marche diurna.
- 15) Pan American Radio.
- 16) programma dalle 17.00 alle 00.15.
- 17) programma C di Israele.

(Micron)

## Principi dei Sistemi Elettronottici per la Scansione Elettronica

(segue da pag. 296)

conferenza percorre una retta parallela all'asse  $x$  con velo-

cità costante  $v_{cx} = \frac{E}{B_z}$ ; vedi fig. 10.

Consideriamo ora anche la traslazione dell'elettrone lungo l'asse  $z$  e trascurata nel primo tempo. Il moto in tale direzione avviene con velocità costante e non è influenzato dal campo elettrico perpendicolare. Per determinare la traiettoria risultante nel campo combinato conviene riferirsi allo

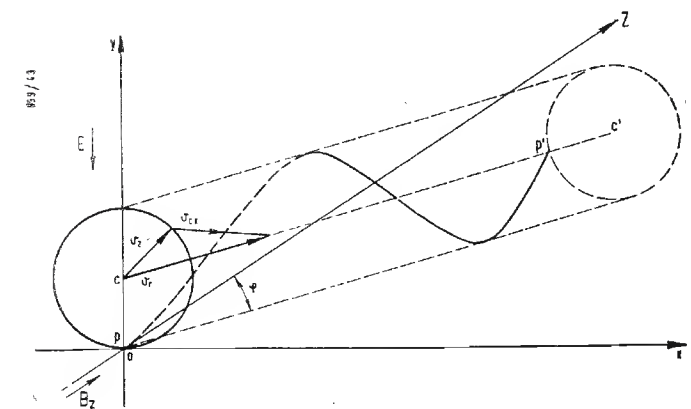


Fig. 11 - Traiettorie spaziali di un elettrone animato da un moto di traslazione lungo l'asse  $z$ .

spostamento del centro  $C$  del cerchio, che genera la cicloide. All'istante  $t = 0$  si suppone che il centro  $C$  sia sull'asse  $y$  a distanza  $r = \frac{m}{B_z^2 e}$  dall'asse delle ascisse (v. fig. 11).

Il centro  $C$  si allontana sull'asse delle ordinate  $y$  con velocità che è la risultante  $v_r$  della composizione vettoriale della velocità  $v_z$  lungo l'asse  $z$  e della velocità  $v_{cx}$  lungo l'asse  $x$ ; la  $v_r$  forma un angolo  $\varphi$  rispetto all'asse  $z$ ; sotto questo angolo avviene lo spostamento del centro  $C$  del cerchio in direzione  $CC'$ :

$$\varphi = \arctg \frac{v_{cx}}{v_z} = \frac{E}{v_z B_z} \quad [33]$$

Il piano del cerchio si mantiene costantemente parallelo al piano  $x y$ . La rotazione del cerchio avviene senza scivolare sulla sua tangente parallela all'asse delle  $x$ .

Il punto  $P$  del cerchio che occupava l'origine  $O$  degli assi all'istante  $t = 0$ , descrive la traiettoria dell'elettrone; la curva è la risultante di una rotazione e di una traslazione in un piano parallelo alle placche che creano il campo elettrostatico (per es. le armature di un condensatore). Il raggio del cerchio che dà la rotazione è inversamente proporzionale al quadrato dell'induzione  $B_z$  creata dal campo magnetico. Per contro quanto maggiore è  $B_z$ , tanto maggiore è il numero di giri completi che compie l'elettrone a parità di campo elettrico, cioè di lunghezza delle placchette alle quali è applicata la d.d.p., che crea  $E$ . In corrispondenza di certi valori critici di  $B_z$  l'elettrone compie un numero intero di spire per uno spostamento complessivo eguale alla lunghezza del campo deviatore. Oltrepastata la posizione per la quale l'elettrone esce dal campo, le componenti  $v_z$  e  $v_y$  della sua velocità sono nulle, quindi l'elettrone prosegue lungo l'asse  $z$  col moto che aveva inizialmente prima di entrare nel campo elettrico; il suo moto ritorna puramente rettilineo, senza rotazioni, parallelo alle linee di induzione magnetica.

Questo metodo magnetico-elettrico di deviazione di un pennello elettronico è impiegato in certi tubi da presa televisiva, nel magnetron e nel microscopio elettronico.

(continua)

## Riparlamo della Televisione a Colori

L'argomento della TV a colori è sempre d'attualità e riaffiora insistente in campo tecnico in occasione di riunioni o congressi di specialisti protesi alla ricerca della definitiva soluzione commerciale di questo importante problema. Parrebbe anzi strano parlare di ricerca di soluzioni di un problema che era già stato dato per risolto soddisfacentemente, almeno sul piano tecnico-sperimentale: ma è proprio su questo apparente bisticcio che vorrei oggi intrattenere i nostri lettori.

A varie riprese, infatti, è stato accennato e trattato l'argomento della TV a colori, giungendo alla conclusione che l'attuale sistema N.T.S.C. sorto e sviluppato negli USA, costituiva una brillante soluzione di tale problema.

È noto inoltre che già da un paio d'anni negli U.S.A. sono in atto (sia pure con orario ridotto) delle trasmissioni regolari di TV a colori secondo l'accennato sistema N.T.S.C.; ed è altresì noto che una delle massime industrie elettroniche americane già da vari anni sta spingendo e propagando senza economie la TV a colori, ed ha posto sul mercato alcuni tipi di televisori a colori a prezzo notevolmente inferiore (sempre però molto elevato) ai primi modelli di tre o quattro anni addietro.

\*\*\*

Questo periodo preliminare di esercizio pratico della TV a colori americana, ha però fortunatamente servito a porre in evidenza alcuni inconvenienti che affliggono sia il sistema N.T.S.C. in sé stesso, che l'attuale versione commerciale dei televisori a colori.

Si è notato infatti che a causa delle inevitabili irregolarità della propagazione della radio frequenza modulata (soprattutto riflessioni e quindi onde multiple anche lievissime) il processo di demodulazione sincrona di fase dei due segnali di crominanza, subisce delle alterazioni con conseguente deterioramento della cromaticità dell'immagine sia come purezza di colori, che come posizione e delimitazioni delle aree a colori complementari.

Inoltre, la presenza della sotto portante (il cui valore in frequenza deve essere opportunamente selezionato) provoca una più o meno evidente interferenza di « battimenti » con le frequenze video più elevate, che si manifesta con una zigzagatura (o « moiré ») che appare sull'immagine a colori ed ancor più su quella compatibile in bianco-nero.

Il più opportuno valore della frequenza della sottoportante deve anzi essere scelto a seconda dello standard TV, dopo accurate ed esaurienti prove sperimentali. Anche sulla fedele rispondenza cromatica nel processo di selezione e ricostituzione tricromica dell'immagine, il sistema N.T.S.C. offre il fianco a varie critiche.

\*\*\*

L'innegabile vantaggio però di una sufficiente compatibilità coi televisori in bianco-nero e la possibilità di mantenere le stesse caratteristiche tecniche dell'ordinario standard TV in bianco-nero, hanno confermato l'assennatezza della adozione del si-

stema N.T.S.C. soprattutto per un servizio pubblico di trasmissione di TV a colori. Ciò che ha mosso recentemente nell'imbarazzo i costruttori di televisori a colori americani è stato però il comportamento pratico delle prime migliaia di televisori a colori posti sul mercato.

Anzitutto una prima difficoltà sia funzionale che di messa a punto, deriva dagli attuali tipi di tubi tricolori, primo fra i quali il tubo RCA a 3 « gun » e maschera di selezione (shadow mask).

Si riteneva all'inizio della produzione (circa tre anni or sono) di tale tubo che in un prosieguo di tempo qualche novità o perfezionamento avesse potuto presentarsi, facilitando così l'efficienza e le modalità di impiego di esso.

Purtroppo tale circostanza non si è verificata, né si sono potute neppure realizzare modifiche o semplificazioni sensibili ai circuiti elettronici associati del ricevitore.

Tutto ciò ha contribuito a creare una situazione piuttosto difficile e critica per quanto riguarda il servizio di assistenza tecnica degli attuali televisori a colori, sottoponendo i costruttori ad un pesante ed imprevisto onere.

Se a ciò si aggiunge lo scarso valore artistico ed intrinseco dei programmi a colori oggi trasmessi in America in pura perdita, non essendoci ancora un numero sufficiente di telespettatori per coprire gli alti prezzi della produzione, è facile comprendere come possa essersi verificata una battuta di aspetto nella produzione e nella vendita dei televisori a colori negli U.S.A.

Si noti bene, ciò non significa in alcun modo uno scacco tecnico né della TV a colori in generale, né tanto meno del sistema N.T.S.C.

Ciò è anche stato confermato nel recente congresso tecnico internazionale sulla TV a colori tenutosi a Parigi dal 2 al 6 luglio con la partecipazione dei più noti scienziati e specialisti in materia, del mondo intero.

Dalle interessantissime relazioni e discussioni svoltesi in tale riunione è risultata chiara ed unanime la conferma che il sistema « compatibile » N.T.S.C. può ormai ritenersi il migliore mezzo pratico ed efficiente di trasmissione « compatibile » di TV a colori, oggi conosciuto.

\*\*\*

Naturalmente tale sistema va ulteriormente affinato, come ho già detto sopra, nella sua espressione pratica ed in alcuni essenziali componenti del ricevitore. A quest'ultimo proposito si è appreso con molto interesse nell'accennato congresso di Parigi che alcune primarie ditte americane stanno sperimentando a fondo diversi tipi di tubi catodici tricromatici, fra i quali il « Chromatron » a post-accelerazione e l'« Apple » a raggio indicatore. La tecnica della TV a colori sta quindi preparandosi intensamente ad un nuovo e decisivo balzo in avanti per la conquista della sua popolarità presso i telespettatori.

A quando tale evento? Nessuno per ora è in grado di precisarlo; forse uno, o due od anche tre anni. Ma ciò non significa af-

fatto che i tecnici debbano rimanere inoperosi in passiva attesa che l'evento si compia.

L'Inghilterra a già dato una significativa conferma a tale affermazione, ponendo a disposizione di costruttori di televisori delle trasmissioni trisettimanali di TV a colori secondo il sistema N.T.S.C. adottato allo standard inglese a 405 righe d'analisi.

Circa l'adattamento del N.T.S.C. al nostro standard TV a 625 righe, l'unica dimostrazione pratica che ho sin ora avuto occasione di osservare con esito soddisfacente, è stata al recente citato congresso di Parigi, ove era stata adottata una sottoportante di crominanza alla frequenza di 4,43 MHz.

È noto infatti che il valore più adatto della frequenza della sottoportante (che è un multiplo della semifrequenza di riga) va determinato in via sperimentale sino a raggiungere il risultato di una minima visibilità sul quadro immagine di una nota forma di interferenza (« moiré »).

Ci consta che prove sperimentali del genere per lo standard TV a 625 righe sono già state effettuate in Francia presso il Laboratoire d'Electronique e Physique (LEP) col risultato brillante presentato al citato congresso di Parigi e sono tuttora in corso presso i laboratori Philips olandesi.

Sinora purtroppo l'Italia è rimasta inattiva in tal genere di tecnica e ci auguriamo che presto, sia da parte della RAI, che da parte di gruppi industriali, la questione della TV a colori venga sottoposta ad accurati studi ad esperienze senza ben inteso interferire minimamente col commercio degli attuali televisori in bianco-nero, che ancora per molti anni saranno incontrastati dominatori per numerosi motivi tecnici ed economici. (A. Banfi)

### TV per Cipro alla fine del 1957

Il Servizio Radio di Cipro, è stato reso noto il 7 maggio scorso, inizierà una trasmissione sperimentale televisiva verso la fine di questo anno. Tale servizio coprirà la regione di Nicosia dove l'apparato trasmittente verrà installato. L'apparato trasmittente avrà una potenza effettiva di 1,5 kW e sarà adottato il sistema continentale a 625 linee. I tecnici di Cipro che dirigeranno la nuova stazione vengono attualmente addestrati presso la Marconi, mentre la BBC ha iniziato l'addestramento dei produttori dei programmi. (u.b.)

### Lo sviluppo della TV in Cecoslovacchia

Come risulta da una nota su un recente fascicolo della rivista sovietica Radio, in Cecoslovacchia si pianifica la costruzione di 10 nuove stazioni trasmettenti TV, di cui 9 dovranno entrare in funzione entro la fine del 1960. Dopo questo, su 80 % del territorio della Repubblica, dove si concentra il 90 % della popolazione, sarebbe resa possibile la ricezione delle emissioni TV. Il collegamento delle stazioni tra loro e con le reti delle nazioni vicine, sarebbe realizzato per mezzo di cavi coassiali e ponti radio dislocati a distanze da 55 a 85 km. Entro la stessa fine dell'anno 1960, la produzione dei televisori dovrà raggiungere un totale di 630 mila unità. Attualmente è in preparazione un modello a 15 valvole. (O.Cz.)



# Amplificatori e Diffusori per Alta

di Gaetano Dalpane

IN QUESTA breve rassegna descriveremo qualche particolare circuito di amplificatore di potenza e un diffusore di tipo dinamico perfezionato.

In effetti la bontà dello stadio di potenza deriva anche dalle caratteristiche degli stadi di amplificazione B. F. e dal preamplificatore-equalizzatore. Le tensioni contro-reattive e reattive prelevate dall'uscita e applicate agli stadi precedenti modificano grandemente le caratteristiche dello studio finale che aziona l'altoparlante attraverso l'adattatore di impedenze (trasformatore di uscita).

Lo stadio generatore di potenza considerato come il risultato finale di tutta la catena amplificatrice, deve soddisfare a molti requisiti. I più importanti sono:

- erogare forte potenza di uscita con bassa potenza di alimentazione;
- fornire una potenza esente da distorsione armonica;
- trasmettere una vasta gamma di frequenze;
- avere una bassa resistenza interna.

Affinchè sia soddisfatta la condizione di cui in a) è necessario che il rendimento anodico sia elevato. Ciò può ottenersi con valvole multigriglia (pentodi o tetrodi). I triodi sono meno adatti sotto questo punto di vista ma, se il costo dell'alimentatore e alimentazione hanno poca importanza, vengono impiegati tuttora in qualche caso, con forti tensioni anodiche. Lo stadio finale con triodi, considerato a sè stante, offrirà così minore distorsione e minore resistenza interna.

Abbiamo detto stadio finale a sè stante, poichè la contro-reattione per

tensione ricavata dall'uscita, può contenere e superare i requisiti di resistenza interna e di distorsione data dai triodi.

Il tasso di contro-reattione per l'intero amplificatore dovrà però essere molto maggiore e ciò a volte offre serie difficoltà per quanto riguarda la stabilità dell'amplificatore. Anche il trasformatore di uscita, evidentemente, dovrà essere più costoso e più curato che non nel caso dei triodi di potenza. Per quanto specificato in b) attualmente si possono realizzare amplificatori con distorsione globale armonica dell'1% alla potenza nominale, e, in condizioni normali di funzionamento, distorsioni di circa l'1 per mille alle frequenze medie della gamma acustica. Alle frequenze estreme della gamma le distorsioni aumentano specie a piena potenza, ma in amplificatori ben costruiti sono sempre molto basse e non vengono affatto percepite.

Per quanto riguarda il punto c) (gamma di frequenze da riprodurre) non è sufficiente che l'amplificatore sia in grado di trasmettere il solo campo di frequenze acustiche, ma deve essere in grado di riprodurre una gamma molto più vasta del campo acustico, anche se, in effetti, il campo sonoro va da 30 Hz a 15 kHz.

La ragione è data dal fatto che il fronte d'onda del miscuglio di frequenze da riprodurre si avvicina molto a quello dato da onde quadre con tempi di salita molto brevi.

Da quanto esposto, risulta che l'amplificatore e diffusore devono essere in grado di riprodurre inalterate onde quadre nel campo delle frequenze acustiche e, precisamente, onde quadre da 30 Hz a 15 kHz.

Dato però che l'orecchio medio non percepisce suoni oltre i 15 kHz è evidente che sarà inutile riprodurre la 10ª armonica delle frequenze più alte. Se però non si vuole in alcun modo modificare l'onda complessa a 10 kHz (frequenza ben udibile) sarà necessario riprodurre almeno la sua 10ª armonica e l'amplificatore dovrà essere lineare sino a 100 kHz.

Si è notato che non alterando la forma d'onda quadra a 5 kHz non avviene un peggioramento nella qualità dei suoni, semprechè l'altoparlante, o meglio il sistema di altoparlanti, riproduca perfettamente questa forma d'onda. Ciò porta ad avere l'amplificatore lineare sino alla frequenza di 50 kHz circa. A 10 kHz l'onda quadra sarà leggermente smussata, ma non dovranno aversi alla sommità piatta alcuna irregolarità importante (ringing), poichè ciò denota tendenza ad oscillare a frequenze alte.

La resistenza interna dell'amplificatore di potenza (punto d) vista dai reofori collegati agli altoparlanti deve essere bassa. Spesso si preferisce avere un valore prossimo a zero, ma può essere opportuno, almeno per una parte dello spettro acustico, un valore di resistenza interna negativa. Questo per correggere difetti insiti nel sistema elettro-acustico.

L'altoparlante rappresenta infatti un carico particolarissimo le cui caratteristiche grandezze costitutive variano moltissimo al variare della frequenza.

Più oltre verrà appunto descritto come si possono ridurre molto i difetti accennati.

La risposta ai transitori la linearità del sistema elettro-acustico sono influenzate grandemente, a parte la qua-

# Fedeltà Perfezionati

lità di quest'ultimo, dalla resistenza interna dell'amplificatore di potenza.

Descriveremo ora sommariamente qualche circuito notevole usato nei moderni amplificatori di alta qualità, facendo particolare riferimento allo stadio di potenza.

## 1. - CIRCUITI DI AMPLIFICATORI DI POTENZA.

Un circuito molto diffuso in questi ultimi anni, facente uso di tetrodi a fascio o pentodi, denominato *ultralineare*, già noto ai nostri lettori, è indicato in fig. 1. La reazione negativa applicata fra placca e griglia schermo

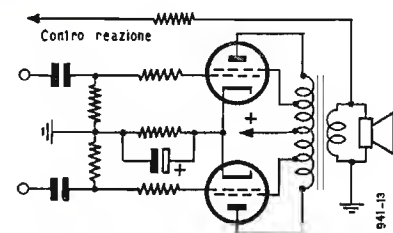


Fig. 1 - Circuito di uscita «ultralineare» a contro-reattione sulle griglie schermo.

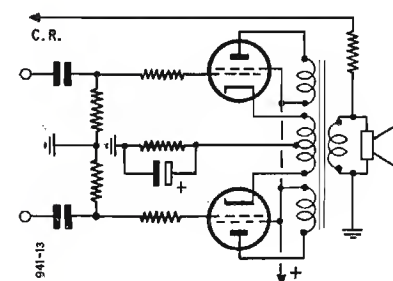


Fig. 2 - Circuito di uscita a contro-reattione catodica.

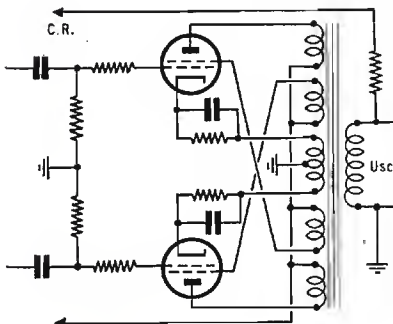


Fig. 3 - Stadio finale Mc Intosh a carico distribuito sulle placche e sui catodi.

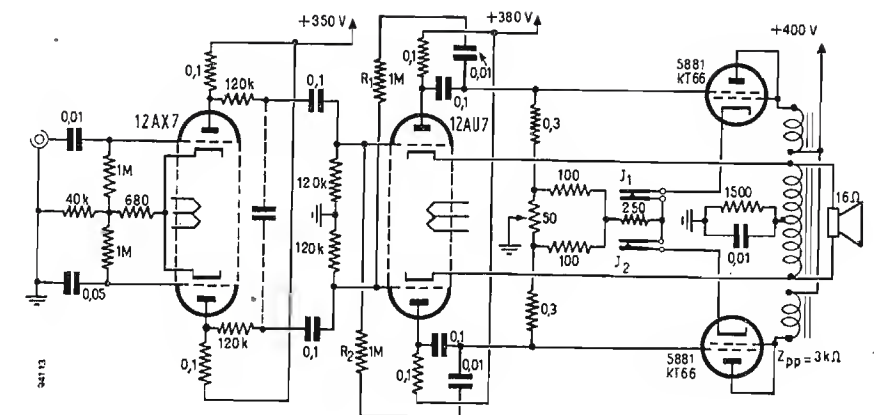


Fig. 4 - Schema elettrico di un amplificatore facente uso di reazione di tensione positiva e negativa.

tramite il primario del trasformatore di uscita, migliora grandemente le qualità dello stadio di uscita.

In fig. 2 è schematizzato uno stadio di potenza, sempre facente uso di tetrodi a fascio, avente contro-reattione catodica ricavata dal trasformatore, mentre in fig. 3 è riportato un circuito di uscita con reazione sulla griglia schermo, applicata alla valvola opposta, particolarmente adatto per stadi atti a erogare forti potenze di uscita. Il rendimento anodico è elevato trattandosi di funzionamento in classe B e il trasformatore essendo ad avvolgimenti bifilari assicura uno strettissimo accoppiamento. Il carico alle valvole è distribuito sul circuito anodico e parte sul circuito catodico. Questi accorgimenti assicurano a piena potenza una distorsione del 0,3%.

Una varietà di stadi amplificatori di potenza sono apparsi in questi ultimi anni, ma tutti gli accorgimenti adottati dai progettisti mirano a raggiungere i quattro requisiti suesposti.

Un caratteristico amplificatore, il cui schema è visibile in fig. 4 fa uso di reazione di tensione positiva e negativa.

Il circuito, notevole nella sua semplicità e nella sua efficienza, fa uso di triodi anche nello stadio finale. Dato che non è possibile applicare una contro-reattione elevata, usando pentodi o tetrodi si avrebbe una distorsione eccessiva.

La resistenza interna di uscita è prossima a zero: tale requisito viene raggiunto facendo uso di reazione positiva fra griglia e placche opposte dei triodi nella valvola 12AU7, e nel contempo, di reazione negativa ricavata dal circuito di uscita attraverso i catodi della medesima valvola.

L'amplificatore in oggetto ha buone doti di stabilità e di bassa distorsione.

Diminuendo il valore delle resistenze  $R_1$  e  $R_2$  si può avere un valore negativo della resistenza di uscita, appunto perchè, così facendo, si aumenta il tasso di reazione positiva di tensione.

Con  $R_1$  e  $R_2$  pari a 1 MΩ la  $R_i$  interna ha praticamente il valore di zero (controreazione infinita, fattore di smorzamento infinito dato da  $R_c/R_i = \infty$  in cui  $R_c$  è la resistenza di carico e  $R_i$  la resistenza interna).

Ponendo le suddette due resistenze pari a 0,6 MΩ, la  $R_i$  assume un valore negativo e parimenti negativo risulta il fattore di smorzamento. La stabilità si mantiene ancora ottima se si farà uso di un trasformatore di buona qualità avente l'indicato rapporto di impedenze.

## 2. - AMPLIFICATORI DI POTENZA A RESISTENZA INTERNA NEGATIVA REGOLABILE.

Il valore definitivo che deve avere la resistenza interna dell'amplificatore dipende dalle caratteristiche di smorzamento proprie del sistema di diffusori posti nel relativo baffle o bas-reflex. Il baffle agisce come smorzatore acustico, mentre la resistenza dell'amplificatore agisce come smorzatore elettro-dinamico del sistema.

Infatti, un risultante smorzamento eccessivo, porta ad una riduzione del livello acustico alle basse frequenze come rappresentato in a) della fig. 5. Un'insufficiente smorzamento dato da un'eccessiva resistenza interna positiva comporta irregolarità della risposta acustica alle frequenze basse, esaltazione della resa alla frequenza propria della membrana, cattiva risposta ai transitori e forte distorsione armonica alle basse frequenze (come in b) della fig. 5).



Con un dato sistema di alto parlanti si ha quindi una resistenza interna ottima che porta il complesso elettro-acustico allo smorzamento totale o smorzamento critico.

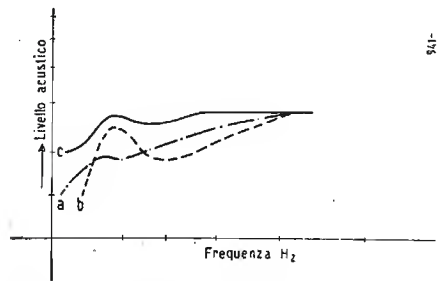


Fig. 5 - Effetto dello smorzamento sulla risposta alle basse frequenze.  
a) Eccessivo smorzamento;  
b) Basso smorzamento con produzione di armoniche;  
c) Smorzamento critico e bassa distorsione armonica.

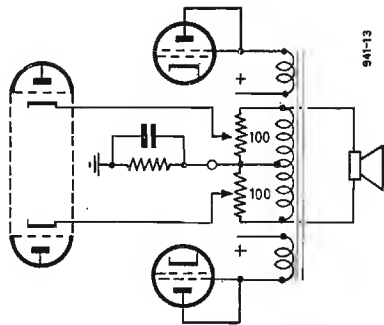


Fig. 6 - Modifica al circuito di fig. 5 per variare la resistenza interna dello stadio di uscita e lo smorzamento dell'altoparlante.

La risposta alle basse frequenze può allora assumere l'andamento ottimo come indicato in c) e la distorsione armonica, in queste condizioni, risulta essere la più bassa. In questo campo di frequenze moltissimi altoparlanti introducono distorsioni elevatissime che falsano completamente il timbro dei bassi.

È bene quindi modificare il circuito visibile in fig. 4 rendendo variabile il tasso negativo o positivo di reazione.

In fig. 6 è rappresentato la parte modificata: a mezzo di due potenziometri a bassa resistenza si può rendere variabile il valore della tensione di segno contro-reattiva, curando di mantenere i due valori eguali nei cursori dei potenziometri. Ciò è necessario per non sbilanciare il circuito in opposizione.

Se il carico acustico o resistenza di radiazione è tenuto presso che costante a queste frequenze facendo uso di adatto altoparlante e di appropriato schermo acustico (baffle infinito o meglio bass-reflex) lo smorzamento critico o totale è facilmente avvertibile anche ad orecchio per la perfetta riproduzione dei bassi e dei transistori.

Anche con altoparlanti di media qualità, purché di tipo adatto al campo

di frequenza da riprodurre, si hanno ottimi risultati portando il sistema allo smorzamento critico.

Di solito è sufficiente un diffusore bifonico con unica bobina mobile collegata direttamente a due membrane, oppure due altoparlanti concentrici di adatte caratteristiche provvisti di rete dividente, per quanto in questo ultimo caso, la impedenza del dispositivo dividente varia col variare della frequenza.

### 3. - AMPLIFICATORI A RESISTENZA INTERNA NEGATIVA REGOLABILE SOLO ALLE FREQUENZE BASSE.

Il circuito della fig. 6 permette di avere un valore presso che costante della resistenza interna entro tutto il campo delle frequenze acustiche.

Ciò non è necessario alle frequenze alte. Lo smorzamento critico è utilissimo e molto efficace solo alle frequenze più basse dello spettro acustico perché aumenta l'efficienza del diffusore a queste frequenze. È in questo campo di frequenze che aumentano le distorsioni e peggiora il rendimento per la diminuzione della resistenza utile data dal carico aria (resistenza di radiazione  $R_d$ ).

Un diffusore a bobina mobile, può essere rappresentato, nei suoi elementi essenziali, dallo schema elettrico equivalente semplificato di fig. 7.

La  $R_{BM}$  non può essere separata dagli altri elementi giacché è la resistenza propria della bobina mobile e, agli

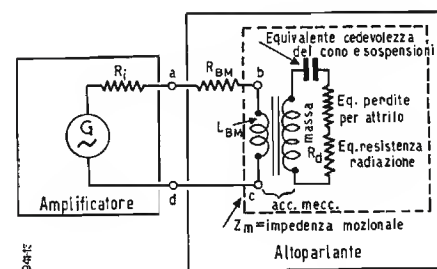


Fig. 7 - Schema elettrico, semplificato, equivalente ad un altoparlante a bobina mobile.

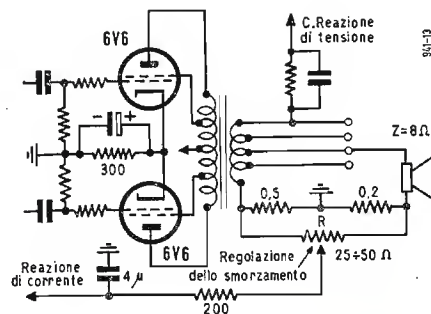


Fig. 8 - Stadio di potenza per amplificatore a smorzamento variabile.

effetti dello smorzamento degli elementi dotati di inerzia fra  $b$  e  $c$  impedenza di moto  $Z_m$ , non è sufficiente avere  $R_i$  bassa o anche uguale a zero (corto circuito) ma lo smorzamento avverrà attraverso  $R_{BM}$  che non potrà mai essere uguale a zero.

Lo smorzamento perfetto o critico si avrà solamente se  $R_i$  sarà negativo.

Il valore di  $R_i$  non sarà esattamente pari a  $R_{BM}$  ma si dovrà tenere conto dello smorzamento meccanico del sistema (impedenza meccanica, resistenza di radiazione, elasticità delle sospensioni ecc...).

Finora abbiamo parlato di smorzamento e di resa del diffusore alle basse frequenze, ma ben più importante è da considerare la distorsione armonica.

Se la bobina mobile, e quindi il cono, fosse azionato e spostato in modo proporzionale alla tensione applicata agli estremi, o in altre parole, se seguisse perfettamente in velocità e ampiezza la forma d'onda della tensione inviata, anche la forza contro-elettromotrice fra  $b$  e  $c$  avrebbe esattamente una forma d'onda simile alla tensione applicata. Ciò non è vero in quanto le grandezze contenute fra i punti  $b$  e  $c$  non sono lineari né colla frequenza né coll'ampiezza dello spostamento.

La controreazione di tensione ricavata dai morsetti della bobina mobile mantiene ampiezza e forma d'onda indistorta fra  $a$  e  $d$ , ma ciò non è sufficiente. La corrente che percorre il circuito sarà ugualmente distorta e poco vale applicare agli estremi dell'altoparlante una tensione indistorta.

La corrente che circola nella bobina mobile è la risultante fra tensione applicata, e contro tensione dovuta allo spostamento e velocità data dalla bobina stessa, immersa nel campo magnetico, come del resto avviene in tutti i motori elettrici basati sul principio elettrodinamico.

Particolarmente gravoso è il compito affidato all'altoparlante: un motore che deve funzionare a variabilissimo regime e che deve dare una resa costante vincendo una resistenza variabilissima come entità e natura al variare del suo regime.

È evidente così come molti difetti siano insiti nel sistema stesso e come il rendimento sia alquanto basso, specialmente scendendo colla frequenza. Si ha infatti una continua diminuzione della resistenza offerta dall'aria che comporta un continuo peggioramento del rendimento.

Se vi fosse da riprodurre una banda molto stretta di frequenza, sarebbe possibile ottenere rendimenti simili a tanti altri motori anche operando sul mezzo aria che ha una massa molto ridotta. Ciò è possibile dimensionando i vari elementi, riducendo le perdite portando il sistema alla risonanza meccanica della membrana e aumentando

artificialmente il carico utile su questa ultima (es. trombe di segnalazione). Su fluidi aventi densità maggiore, come liquidi, i rendimenti possono essere elevatissimi anche con frequenze relativamente basse.

È chiaro così come convenga suddividere il campo di frequenze da riprodurre a più elementi, per avere uniformità di risposta e quindi di rendimento. Per aumentare il rendimento alle basse frequenze si deve aumentare il valore del carico aria rispetto alle perdite meccaniche e di conseguenza aumentare il diametro della membrana o munire questa di una tromba adatta. Alle alte frequenze, per trasferire la stessa quantità di energia, la membrana deve essere di piccole dimensioni pur avendo una sufficiente resistenza di radiazione (carico dato dall'aria), mentre occorre una fortissima riduzione della massa vibrante per diminuire le perdite.

Anche in questo campo di frequenze è sempre utile aumentare il carico dato dall'aria con trombe di piccole dimensioni.

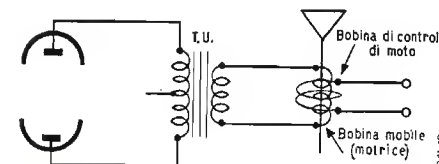


Fig. 9 - Altoparlante speciale dotato di due bobine.

Il compito di queste ultime è anche quello importantissimo di evitare fenomeni direzionali eccessivi. Molto vi sarebbe da dire sulla trasformazione di energia elettrica in energia sonora e noi ne abbiamo fatto un rapidissimo accenno.

Attualmente sono stati sviluppati e perfezionati altoparlanti ad unico elemento motore a bobina mobile collegata a due membrane di differenti caratteristiche.

Tale diffusore fu realizzato da Vogt circa 25 anni or sono, ma a quei tempi le frequenze più alte allora interessanti non sorpassavano i 6-7 kHz e una banda di 5 ottave veniva riprodotta anche con una sola membrana.

Ritornando al nostro complesso amplificatore-altoparlante, abbiamo detto che nella corrente che percorre la bobina mobile vi si ritrovano le distorsioni introdotte dal diffusore, distorsioni che esistono anche se la tensione applicata è indistorta e la  $R_i$  è bassissima.

Si può ricavare una tensione proporzionale a questa corrente distorta, tensione che servirà egregiamente a ridurre la distorsione acustica data dall'altoparlante.

In sostanza è possibile ricavare dall'uscita dell'amplificatore due grandezze e precisamente:

a) Una frazione della tensione di uscita da applicare all'entrata in opposizione (reazione negativa di tensione).

b) Una tensione proporzionale alla corrente di uscita da applicare in opposizione alla precedente (reazione positiva di corrente).

Con a) si può contenere la resistenza interna e la distorsione dell'amplificatore a valori molto bassi. Con b) si può aumentare la resistenza interna (reazione negativa di corrente) o far assumere alla resistenza interna valori negativi (reazione positiva di corrente).

L'amplificatore sarà stabile fino a che il tasso di reazione positiva diviene appena maggiore del tasso di reazione negativa.

Quindi per raggiungere buoni risultati è necessario avere un amplificatore ben stabile anche applicando forti contro-reazioni di tensione.

In fig. 8 riportiamo lo schema di uno stadio di potenza in questione.

La  $R$  è da 0,7  $\Omega$  totali con presa a massa. Il potenziometro, in parallelo alla suddetta resistenza, permette di variare il valore di  $R_i$  e aggiustare il complesso al valore di smorzamento critico.

È preferibile, come detto precedentemente, che il campo di smorzamento ottimo sia limitato alle basse frequenze.

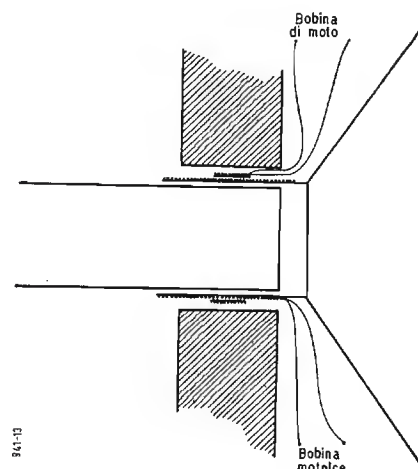


Fig. 10 - Inserzione pratica della bobina collettoria.

Infatti un filtro costituito da 200  $\Omega$  e dal condensatore da 4  $\mu F$  limita l'effetto a circa 300 Hz.

Da notare che il valore della resistenza in serie all'uscita è esatto solo se il carico dato dalla bobina dell'altoparlante è di 8  $\Omega$ , altrimenti per impedenze di valore diverso dovrà essere diverso anche il valore di detta resistenza in serie.

### 4. - ALTOPARLANTE SPECIALE A BOBINA SUPPLEMENTARE.

Le suddette considerazioni relative al funzionamento degli altoparlanti di tipo dinamico ci hanno portati a realizzare, a scopo di studio e prove, un'altoparlante speciale dotato di due bobine fig. 9.

Se oltre alla normale bobina mobile che aziona il diaframma (che chiameremo bobina motrice) si sovrappongono poche decine di spire di filo sottile direttamente sulla bobina mobile (bo-

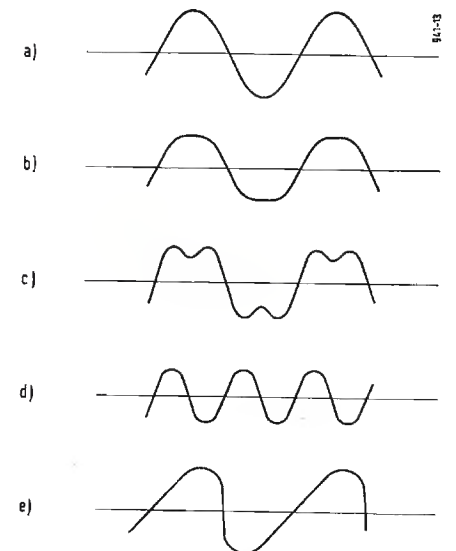


Fig. 11 - Rappresentazione di forme d'onda (vedi testo).

bina collettoria), rigorosamente solidale alla prima, su quest'ultima sarà possibile raccogliere una tensione che rispecchierà perfettamente la forma e l'ampiezza e quindi linearità di spostamento della bobina motrice e quindi della membrana.

In fig. 10 è rappresentato come è stata realizzata praticamente l'aggiunta della bobina collettoria.

Se la membrana, specialmente alle basse e medie frequenze, ove non esistono vibrazioni nodali o secondarie, si sposterà in modo non lineare, qualunque distorsione sarà visibile nella seconda bobina.

A queste frequenze anche l'accoppiamento meccanico fra bobina e membrana è pressoché perfetto e pari a valore uno.

Orbene se si applica all'altoparlante una tensione sinusoidale o meglio quadrata, nella seconda bobina si raccoglie una tensione che colla sua forma stia ad indicare quanto sia cattiva la linearità e relative distorsioni del sistema elettro-acustico anche se l'amplificatore usato nelle prove è a bassissima resistenza interna.

Qualcuno dei risultati più importanti sono dimostrati nella fig. 11.



Con tensioni sinusoidali in entrata all'altoparlante come in a):

In b) è rappresentata la forma d'onda della tensione agli estremi della bobina collettrice alla frequenza di 100 Hz con 1 W applicato a un'altoparlante della potenza nominale di 4 W. Migliorando lo schermo acustico il sovraccarico avveniva a 2 W.

In c) quando la frequenza inviata era inferiore alla frequenza di risonanza, che nel tipo in questione era di 80 Hz. La potenza inviata era di circa 1 W.

In d) con una potenza di 2 W a 50 Hz. La distorsione in questo caso raggiunge valori vicini al 100 % e la frequenza riprodotta è esattamente il doppio della frequenza inviata.

In pratica questo caso si presenta spesso e i bassi riprodotti dal diffusore sembrano buoni per un'orecchio non esercitato.

Con buoni altoparlanti le distorsioni non saranno così forti, ma alle basse frequenze raggiungono valori sempre molto alti di 2<sup>a</sup> e 3<sup>a</sup> armonica, che essendo di un'ottava e oltre superiore al suono vero da riprodurre sono molto meglio sentiti per la caratteristica del nostro orecchio. I bassi acquistano un falso timbro che alterano completamente il suono riprodotto.

In e) è rappresentata la forma della tensione ricavata dalla bobina supplementare quando la bobina mobile è poco centrata in senso assiale nel campo magnetico, cioè quando il si-

stema motore si muove in un campo magnetico poco uniforme.

Operando con tensioni a onda quadra questi fenomeni sono molto meglio osservabili.

Il caso c), di forti distorsioni armoniche alle basse frequenze, è particolarmente osservabile quando non è sufficiente la cedevolezza delle sospensioni del cono (bordo e centratore) operando con frequenze non molto lontane dalla frequenza di risonanza propria del diaframma.

Inviando una frequenza eguale a  $\frac{1}{2} f_r$  la frequenza irradiata è il doppio (cioè quella propria di risonanza) e spesso la distorsione è totale, come abbiamo osservato.

Alle frequenze superiori a  $f_r$  si osservano sempre distorsioni più o meno forti.

Per frequenze di 4 ÷ 5 kHz, operando con onde quadre, si notano sempre forti distorsioni della forma d'onda raccolta.

Le prove eseguite stanno ad indicare, come gli altoparlanti siano in effetti gli organi più scadenti e più delicati di tutti i complessi elettro-acustici.

Vedremo comunque come sia possibile eliminare queste distorsioni utilizzando la tensione fornita dalla bobina supplementare usata come tensione di contro-reazione.

Abbiamo detto che queste distorsioni vengono anche eliminate utilizzando una reazione ricavata dalla cor-

rente che percorre la bobina mobile dell'altoparlante. I risultati, così facendo sono ottimi, con altoparlanti esistenti, ma utilizzando la tensione ricavata dalla bobina collettrice di questo speciale altoparlante i risultati sono migliori per un vastissimo campo di frequenze.

## 5. - AMPLIFICATORE CON ALTOPARLANTE A DOPPIA BOBINA

Abbiamo visto che l'andamento della tensione ricavata dalla bobina collettrice riproduca fedelmente le distorsioni di moto della membrana e quindi la distorsione contenuta nelle onde sonore irradiate nello spazio dell'altoparlante, per un vasto campo di frequenze, o almeno laddove non esistono vibrazioni complesse o nodali della membrana. Queste vibrazioni secondarie comunque, sono ridottissime nei buoni altoparlanti, tanto più se si fa uso di due adatte membrane azionate da un'unica bobina mobile (diffusori bifonici).

L'accoppiamento magnetico fra le due bobine, se il campo magnetico è molto intenso, si può ritenere quasi senza effetto sino alle alte frequenze.

Infatti, se il ferro è saturo, caso quasi generale nei buoni altoparlanti, la permeabilità è molto bassa e la tensione indotta direttamente per accoppiamento magnetico delle due bobine è molto debole.

L'accoppiamento capacitivo, sempre fra le bobine non è nocivo sia per le basse impedenze in gioco, sia perché è possibile mettere a massa (potenziale zero) lo strato esterno della bobina mobile.

Lo spostamento di fase, però, fra le due tensioni è variabile colla frequenza (appunto per la continua variazione e natura delle grandezze costituenti  $Z_m$  di fig. 7).

Questo sfasamento permetterà egualmente di applicare una più che sufficiente contro-reazione quando la tensione di uscita dell'amplificatore venga posta in serie alla tensione raccolta nella bobina collettrice.

In fig. 12 è schematizzata la parte interessante di un amplificatore dotato dell'altoparlante in oggetto.

Gli stadi amplificatori di tensione sono costituiti da un doppio triodo 12AT7 amplificatore e invertitore di fase ad accoppiamento diretto fra le due unità.

La 12AU7 funziona da amplificatore pilota in contro-fase. È munita di un resistore catodico spianatore di eventuali sbilanci dei segnali in contro-fase applicati alla griglia della medesima valvola.

Lo stadio finale del tipo a contro-reazione sulle griglie schermo è costituito da due tetrodi 6V6 a fascio elettronico in push-pull.

I terminali della bobina collettrice sono indicati con a e b e fanno capo a due spine a banana.

Anche quando detta bobina è disinserita il circuito di contro-reazione per tensione di uscita rimane incluso. Spostando il terminale b si può aumentare o diminuire la tensione di contro-reazione prelevata all'uscita e che verrà sommata a quella della bobina collettrice o di moto. Sarà così possibile scegliere la tensione di uscita più adatta pur mantenendo massima la contro-reazione data dalla bobina collettrice.

In ultimo, e sempre dopo tutto, l'orecchio potrà giudicare e dire l'ultima parola.

In fig. 13 è rappresentato schematicamente semplificato, un amplificatore sperimentale che riunisce i vari perfezionamenti sin qui descritti, in forma molto elementare.

Il circuito definitivo è sempre quello ricavato dalla fig. 12 con l'aggiunta della parte reattiva di corrente.

Abbiamo visto che se è alta l'impedenza della rete che alimenta un apparecchio utilizzatore avente elementi non lineari, si hanno distorsioni anche nella forma della tensione ai morsetti relativi, mentre se la rete (e generatore) è relativamente a bassa impedenza si

rileva distorsione preponderante nella corrente di alimentazione. Ciò si verifica sempre, in qualsiasi caso, fra generatore e utilizzatore elettrico mancante di linearità.

Il circuito descritto fa quindi uso di tre elementi correttori di distorsione, e precisamente:

1) *Correttore della distorsione data dall'intero amplificatore*, consistente nel circuito contro-reattivo per tensione ricavata dall'uscita. Questo anello di contro-reazione riduce anche la resistenza interna di uscita dell'amplificatore.

2) *Reazione di corrente attraversante l'altoparlante* per aumentare l'efficienza e quindi il rendimento del diffusore alle basse frequenze. Come abbiamo detto precedentemente, al scendere della frequenza si ha una diminuzione della resistenza utile  $R_d$ , e un aumento del carico dovuto alle perdite. Ciò apporta anche un forte miglioramento della distorsione armonica.

3) *Contro-reazione data dalla bobina mobile collettrice*, che evita la distorsione di moto della membrana.

L'apparecchio completo è veramente interessante per l'altissima qualità acustica che si ottiene.

L'altoparlante per le frequenze alte è sistemato concentricamente a quello delle basse, ma può essere usato un tipo a due membrane.

I risultati, controllati con l'ausilio di prove di distorsione armonica e oscilloscopica sono stati quanto mai lusinghieri e dopo tutto, l'orecchio potrà dire l'ultima parola.

Sono sempre a disposizione di quei lettori che chiedessero chiarimenti o consulenza tramite l'antenna.

## L'industria radiofonica tedesca a Francoforte

A Francoforte s.M., uno dei centri commerciali più importanti della Repubblica federale tedesca, vengono attualmente compiuti con grande attività i preparativi per una delle più interessanti esposizioni di quest'estate. L'industria, gli enti radiofonici, l'Amministrazione postale, le associazioni di categoria, le società di dilettanti e le case editrici hanno riunito i loro sforzi per assicurare il successo della Grande Esposizione della radio, fono e televisione, che avrà luogo dal 2 all'11 agosto 1957, e sarà una mostra al tempo stesso istruttiva e rappresentativa del ramo. Più di 200 costruttori presenteranno i loro modelli più recenti in dodici gallerie e sul terreno all'aperto circostante, dando così inizio alla stagione delle vendite 1957/58. Gli otto enti radiofonici della Germania occidentale mostreranno le varie fasi della loro attività organizzando programmi speciali di radio e televisione e presentando uno studio attrezzato secondo i criteri più moderni. I visitatori potranno seguire da vicino il lavoro degli artisti e degli operatori che preparano le trasmissioni. Durante l'esposizione, alla quale nei giorni 5, 8 e 9 agosto, dalle 10 alle 13, l'ingresso sarà riservato unicamente ai commercianti, molte associazioni di categoria organizzeranno convegni speciali: fra di esse l'Associazione radio e televisione (industria), l'Associazione dei grossisti di apparecchi radio e televisivi e l'Associazione dei negozianti della radio e televisione (commercio al minuto).

Dalle informazioni provenienti dagli ambienti competenti risulta che verranno presentate all'esposizione molte novità per quanto riguarda il funzionamento automatico degli apparecchi, nonché la semplificazione del servizio, il perfezionamento dell'estetica e dei colori ed il miglioramento delle qualità ricettive. Qualora si aggiunga che i prezzi degli apparecchi sono rimasti quasi invariati dal 1936 ad oggi, è comprensibile la grande attesa dagli interessati, all'interno ed all'estero. L'importanza della manifestazione è sottolineata dalle cifre di produzione dell'industria radiofonica della Germania occidentale: negli ultimi cinque anni, dal 1952 al 1956, essa è salita da 2,6 a 3,8 milioni per gli apparecchi radio, da 4000 a 600.000 per quelli di televisione e da 12,5 a 40 milioni di unità per i dischi fonografici.

Poiché la Germania è nel mese di agosto meta preferita dei turisti e Francoforte può essere raggiunta facilmente con la ferrovia, le linee aeree e gli autoveicoli, è facile prevedere una larga presenza di ospiti stranieri. La Direzione dell'esposizione ha preparato un prospetto informativo che sarà inviato gratuitamente e potrà venir richiesto all'Ufficio informazioni per stranieri dell'Esposizione della radio, fono e televisione di Francoforte s.M. (Grosse Deutsche Rundfunk, Fernseh und Phono-Ausstellung, Ausländer-Auskunft, Frankfurt a.M., Western Germany). (g.d.a.)

## Il pieno successo dei primi esperimenti con il reattore sperimentale al sodio SRE

La Commissione americana per l'Energia Atomica (AEC) ha annunciato nei giorni scorsi che il 25 aprile hanno avuto luogo nei pressi di Los Angeles (California) i primi esperimenti con il reattore sperimentale al sodio «SRE», costruito dall'Atomics International Company per conto dell'AEC, nel quadro del programma di sviluppo di piccoli reattori sperimentali per centrali elettronucleari. Il reattore ha sviluppato una reazione nucleare controllata sino dalle prime prove.

Il reattore al sodio è il primo del suo genere che abbia prodotto una reazione a catena. Esso è moderato a grafite e raffreddato con sodio liquido. Il suo livello termico è di 20.000 kW. Nel corso delle prossime settimane, il reattore sarà sottoposto a numerose prove sperimentali destinate a determinare le caratteristiche nucleari dell'apparato e ad accertare il perfetto funzionamento di tutte le sue parti. Al termine delle prove, il reattore sarà fatto funzionare alla massima potenza prevista. L'energia termica prodotta dal reattore sarà

## atomi ed elettroni

ceduta alla Southern California Edison Company per la produzione su basi sperimentali di circa 6.500 kW di elettricità. (u.s.)

## La scomparsa di Joseph W. Kennedy

A soli 40 anni, in seguito ad un'afezione cancerosa, si è spento il 5 maggio il prof. Joseph W. Kennedy, uno dei maggiori radiochimici del mondo, inventore di un procedimento per la separazione del plutonio.

Nato a Nacogdoches (Texas) il 30 maggio 1916, subito dopo aver conseguito la laurea di chimica presso l'Università della California (1939), prestò la sua opera come assistente presso quell'Università.

Per la sua particolare competenza nel settore della radiochimica, nel 1943 fu chiamato a dirigere la Divisione di Chimica e Metallurgia presso il Laboratorio di Los Alamos (New Mexico) che rese fino al 1945.

Alla fine della guerra, Kennedy tornò all'insegnamento, come titolare della cattedra di chimica presso l'Università Washington di St. Louis (Missouri), divenendo successivamente preside della Facoltà di Chimica di quell'Università. Nel giugno del 1956, la Commissione americana per l'Energia Atomica, in riconoscimento dei diritti del brevetto per la separazione del plutonio sfruttato dal governo per la costruzione delle armi nucleari, concedeva a Kennedy e a tre suoi collaboratori la somma di 400.000 dollari. (u.s.)

## Pulitura ultrasonica dei metalli

Integrando i normali sistemi di pulitura del metallo con delle vibrazioni ultrasoniche si ottiene una pulitura più rapida e completa. Ciò naturalmente porta a delle economie anche nei costi della manodopera, economie che compensano in breve tempo il costo iniziale degli apparati occorrenti.

Le vibrazioni sono sufficienti a produrre cavitazione nella soluzione per la pulitura del metallo, impartendogli un'azione erosiva equivalente ad una sfregatura della superficie da pulire, azione che è efficace anche nel caso di fori, scanalature, cavità, e non produce alcun danno alle parti più delicate.

L'apparato, esposto recentemente alla Mostra della Physical Society a Londra, funziona a circa 40 kHz, frequenza che assicura un'ottima pulitura unitamente ad un minimo di rumori sonici e di cavitazione. La ditta costruttrice pone a disposizione degli interessati tre tipi di trasduttori. I trasduttori possono funzionare con liquidi sino a 77 gradi centigradi, ma per i normali scopi di pulitura dei metalli è sufficiente una temperatura inferiore.

Esperimenti a temperature più alte possono essere condotti mantenendo la soluzione calda in un secondo recipiente e trasmettendo l'energia ultrasonica attraverso un bagno d'acqua con serpentine di raffreddamento. (u. b.)

## Entra in funzione l'«Hilac»

La Commissione americana per l'Energia Atomica (AEC) ha annunciato che è entrata recentemente in funzione presso l'Università della California una nuova macchina atomica destinata a ricerche sugli elementi e sugli isotopi transuranici.

La macchina che è denominata «Hilac» è in grado di accelerare dei nuclei di azoto sino all'energia di 140 milioni di elettroni-volt. Essa consta essenzialmente di un acceleratore lineare di particelle appositamente ideato dai tecnici dell'Università della California e dell'Università Yale per approfondire le ricerche sugli elementi oltre il mendelevio (elemento 101), il più pesante finora scoperto. Come è noto, gli elementi finora conosciuti oltre l'uranio (elemento 92), o elementi transuranici, sono stati prodotti per via sintetica mediante trasmutazione dei nuclei degli atomi di uranio in atomi più pesanti.

Il nuovo acceleratore, del quale si sta approntando un duplicato presso l'Università Yale, sarà impiegato anche per studiare gli effetti di particelle analoghe a quelle che si trovano nelle radiazioni cosmiche all'esterno dell'atmosfera terrestre. (u.s.)

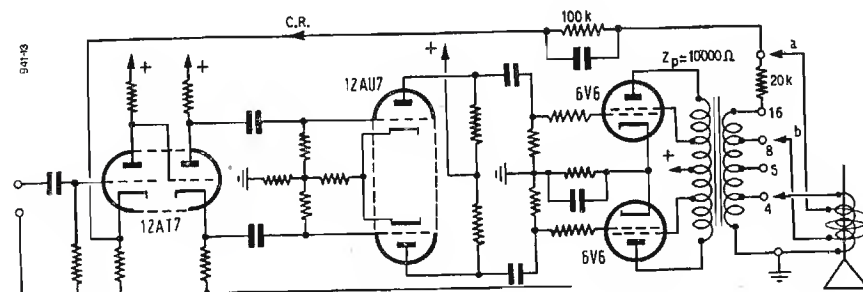


Fig. 12 - Amplificatore di tipo ultra-lineare impiegante l'altoparlante con bobina supplementare.

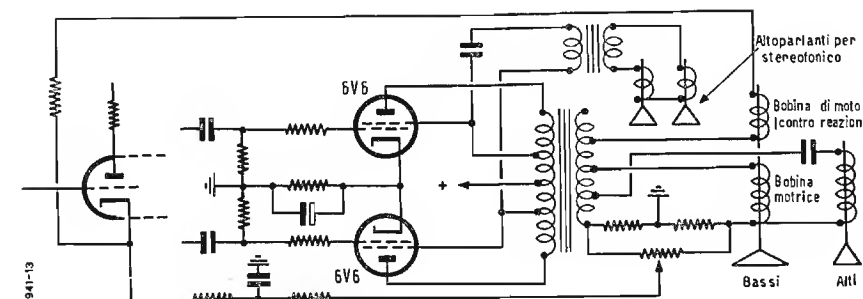


Fig. 13 - Amplificatore facente uso di reazione per corrente dell'altoparlante, contro-reazione per tensione di uscita e per tensione della bobina collettrice di moto.





## UN ORIGINALE APPARATO ITALIANO IL TELEMICROFONO\*

LA RIPRESA DIRETTA della colonna sonora di un film richiede il superamento di tutta una serie di difficoltà di ordine pratico che vanno dalla linearità della risposta, particolarmente importante per canto il e l'orchestra, alla sensibilità del microfono che va dislocato nel modo più opportuno nella scena in modo che, naturalmente, esso sia invisibile agli spettatori.

(\*) Il « telemike » è realizzato dalla Iris-Radio, di Milano.

Questi problemi si presentano spesso anche per i teatri di prosa ed in modo particolare per quelli di rivista. La sempre più difficile acustica degli ambienti teatrali spesso di notevole vastità e l'esigenza di soccorrere la capacità canora di alcuni attori impone l'adozione di un microfono di ottima linearità, di fortissima sensibilità e di peso ed ingombro ridottissimi sì da permettere che venga nascosto con facilità sotto le vesti di chi lo impiega.

Va da sé che di cavo di collegamento non è neppure il caso di parlarne. Il

collegamento va effettuato via radio e naturalmente con un elevato rapporto segnale-disturbo. Non è quindi improprio parlare di un « Telemicrofono ».

In acustica questo criterio è abbastanza diffuso. Si fa uso da tempo di giradischi con braccio munito di testina speciale che modula di frequenza un piccolo oscillatore così che diviene possibile trasmettere direttamente al ricevitore FM disposto nel punto più conveniente della stanza il segnale prodotto dal rivelatore fonografico.

Nel caso del telemicrofono però le

esigenze come si è detto sono molto più spinte, in particolare si fa sentire l'esigenza di un fattore determinante di tutti i criteri costruttivi: la sicurezza della continuità di funzionamento.

Non è quindi esagerato considerare questo strumento come un vero e proprio apparato professionale di alta qualità.

Pensiamo anche per questo motivo di fare cosa gradita ai lettori di questa Rivista col descriverne minutamente le caratteristiche e lo schema elettrico che pubblichiamo per intero per gentile concessione della casa costruttrice italiana. Tanto più che si tratta di una realizzazione che ha ottenuto un notevole successo presso tutte indistintamente le compagnie di rivista italiana e molti studi di regia cinematografica. Il circuito poi potrà agevolmente servire di guida nel caso in cui qualche appassionato voglia costruirsi un sintonizzatore FM da collegare all'amplificatore di alta fedeltà.

### 1. - CARATTERISTICHE DELL'APPARATO.

#### 1.1. - Telemike:

Alimentazione: da 1,1 a 1,5 V 0,1 A; da 35 a 60 V 0,01 A.

Tubi: 2 × CK 5672.

Dimensioni: 25 mm × 130 mm.

Peso: 130 grammi.

Cavi: di antenna permanentemente attaccato; di alimentazione congiunto con un connettore a contatti multipli alla scatola porta-batterie.

Frequenza: 51,5 MHz.

#### 1.2. - Scatola porta-batterie:

Pile a secco: 2 pile « torcia piccola » da 1,5 V tipo A; 2 pile da 30 V tipo B.

Durata delle pile: da 2 a 4 ore per scarica semicontinua.

#### 1.3. - Ricemike:

Sensibilità: 4  $\mu$ V per 30 dB di attenuazione di fruscio.

I<sup>a</sup> MF: 10,7 MHz.

II<sup>a</sup> MF: 1,7 MHz.

Uscita BF: 0,5 V su 500 ohm.

Gamma di accordo: da 49,5 MHz a 53,5 MHz.

Silenziatore: sblocca a 3  $\mu$ V.

Tubi: 2 × 6AK5; 2 × 12AT7;

1 × 6AB4; 3 × 6CB6; 1 × 6BE6; 1 × 6AL5; 1 × 12AU7.

Antenna: Dipolo a mezz'onda collegato con 30 metri di cavo coassiale a 70 ohm.

#### 1.4. - Monitore:

Alimentatore: ingresso da rete universale 50 Hz uscite: 220 V - 80 mA - corrente continua; 6 V - 3 A corrente continua.

Tubi amplificatore: 1 × 12AT7; 1 × 6AQ5.

#### 1.5. - Linearità di risposta del complesso:

$\pm 3$  dB tra 40 e 11.000 Hz.

#### 1.6. - Sensibilità del complesso:

Circa 0,5 V di tensione di uscita di bassa frequenza per pressione acustica di 10  $\mu$ B pari a 94 pF a 1000 Hz cui corrispondono circa 4,5 kHz di deriva di frequenza.

La fig. 2 fornisce il circuito a blocchi dell'apparato. Come si vede l'alimentatore comprende pure un piccolo amplificatore di bassa frequenza che inserito a piacere con apposito comando permette, se il caso, di seguire e controllare la trasmissione dal telemicrofono regolando il volume al valore più conveniente.

Il ricevitore del tipo a modulazione di frequenza è composto da uno stadio di alta frequenza, uno mescolatore alimentato da un oscillatore a frequenza variabile che determina la sintonia, ed una catena di stadi di media frequenza a 10,7 ed 1,7 MHz (seconda conversione con cristallo a 9 MHz) seguiti da un limitatore dal discriminatore e dallo stadio di uscita di bassa frequenza. L'apparato è munito di un controllo automatico di volume CAV e di un controllo automatico di frequenza (CAF).

Il Telemicrofono è invece costituito da due soli stadi in alta frequenza. Un oscillatore a circa 25 MHz seguito da un duplicatore e stadio finale separatore sintonizzato sui 50 MHz. L'alimentazione a batterie è racchiusa in una custodia a parte collegata al telemicrofono con apposito cavo terminato in spina multipla. La deviazione di frequenza è provocata da un microfono a condensatore di particolare fattura (coperta da brevetto), disposto ai capi del circuito di sintonia del primo stadio oscillatore.

### 2. - I CRITERI DI PROGETTO E LO SCHEMA ELETTRICO DEL CIRCUITO.

Il telemicrofono che qui descriviamo è in pratica molto più lineare come risposta ( $\pm 3$  dB, 40 ÷ 11.000 Hz) di molti microfoni di qualità del commercio. Questo brillante risultato è dovuto in massima parte ai criteri di progetto opportunamente scelti e combinati tra loro in giusta proporzione. Si è impiegata la modulazione di frequenza come la più atta a permettere un buon rapporto segnale disturbo ed una buona linearità di risposta. La frequenza di lavoro ( $\sim 50$  MHz) è stata scelta come la più opportuna per ottenere con giusto compromesso una discreta deviazione di frequenza ( $\pm 4$  kHz) ed una buona resa da parte dei tubi subminiatura dell'apparato emittente, oltre che una buona amplificazione nei circuiti di ingresso del ricevitore.

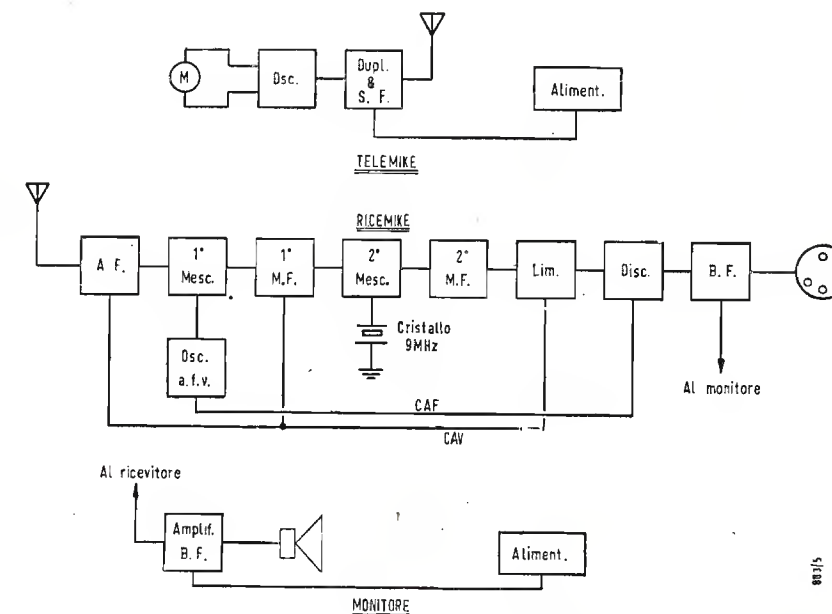


Fig. 2 - Circuiti a blocchi del « telemike », del « ricemike » e del monitor.



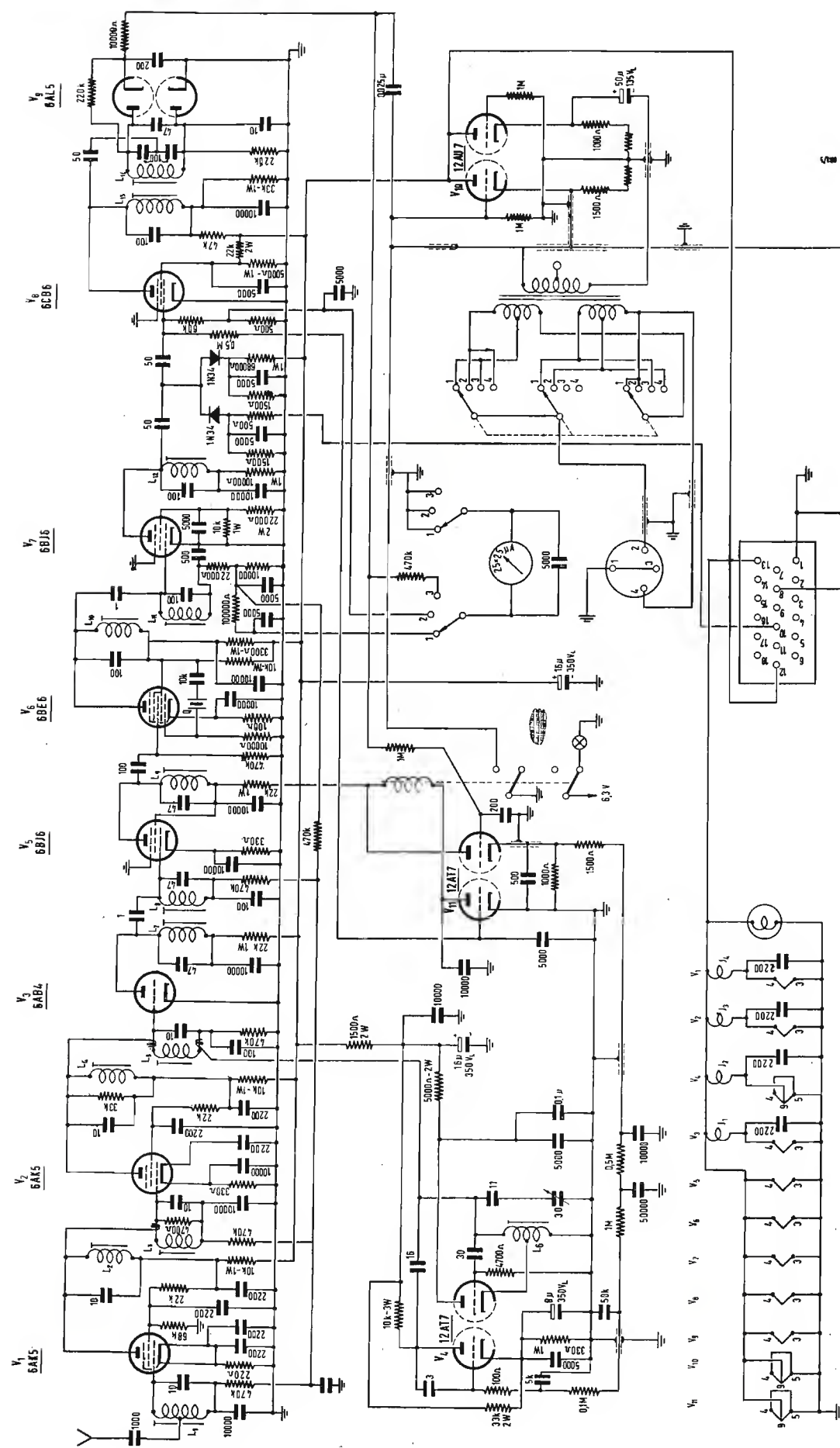


Fig. 3 - Circuito elettrico del « ricemike ».

La doppia conversione di frequenza ha aumentato la stabilità dei circuiti. Una deviazione di frequenza relativamente modesta come quella adottata ha d'altra parte permesso di ottenere stadi di forte amplificazione e rumore di fondo relativamente basso. La forte amplificazione ha a sua volta consentito una buona limitazione del segnale con conseguente indipendenza da qualsiasi forma di disturbo.

Il rivelatore adottato, tipo Foster-Seeley, è senza dubbio il più adatto per la bassa distorsione che esso comporta come pure lo stadio finale di uscita di catodo in controfase con scelta delle impedenze di uscita più opportune. Soluzione quest'ultima veramente elegante alla quale è indubbiamente legata la forte linearità di risposta del complesso. Naturalmente in un ricevitore come questo allo scopo di evitare ogni possibile distorsione da parte del discriminatore, esiste un CAF (Comando Automatico di Frequenza) che con la tensione continua di rivelazione ricavata dal discriminatore mantiene in passo l'oscillatore relativo alla prima conversione.

La seconda conversione è realizzata con un cristallo a 9 MHz. Il CAV (Comando automatico di volume) comanda con un relè l'inclusione della bassa frequenza ed un segnale ottico (spia rossa). Uno strumento da 50  $\mu$ A permette di leggere i valori della tensione di griglia dei due tubi limitatori e dell'uscita in c.c. del discriminatore.

Il CAV è molto opportunamente applicato alle prime valvole di alta e di media frequenza.

Questi i criteri di funzionamento. Vediamo ora il circuito nei dettagli più significativi.

Cominciamo dal ricevitore. Come si vede (fig. 3) tutti i comandi di sintonia ad esclusione del primo oscillatore sono a variazione di induttanza con nucleo in poliferro. Si fa uso per lo più di due circuiti di sintonia parallelo, in placca della valvola amplificatrice ed in griglia della seguente, accoppiati con una ridottissima capacità, (qualche pF). Ciò allo scopo di ottenere una banda di ricezione stretta ed a fianchi molto ripidi. Salvo in un caso i circuiti risonanti vengono caricati con una resistenza.

Una 12AT7 con un triodo genera il segnale per la prima conversione di frequenza mentre il secondo triodo funzionando da tubo a reattanza provvede a correggere la deriva termica dell'oscillatore e gli spostamenti di frequenza dell'oscillatore del telemicrofono. Si è fatto uso di un triodo per la prima conversione di frequenza in modo da ottenere un basso rumore di fondo anche con scarsa amplificazione di conversione. Dato che deve

lavorare in tratto curvo i caratteristica la 6AB4 funziona senza polarizzazione catodica. Una resistenza da 22 k $\Omega$  limita la corrente anodica. Allo stadio di media frequenza a 10,7 MHz segue il secondo stadio di conversione che con un cristallo da 9 MHz porta la media frequenza a 1,7 MHz.

Dopo la conversione il segnale passa ad un primo limitatore (polarizzazione di catodo zero, tutto il negativo ricavato per falla di griglia, bassa tensione di griglia schermo ottenuta tramite un partitore 220 k $\Omega$  - 10 k $\Omega$ ). Dalla placca del primo limitatore si passa ad un secondo composto da due diodi tipo 1N34 convenientemente polarizzati che tagliano decisamente sia le semionde positive che quelle negative.

Segue un terzo limitatore con circuito analogo a quello di V7 che alimenta il discriminatore tipo Foster-Seeley. Come si vede si tratta di un circuito con due soli stadi di media frequenza (uno a 10,7 MHz ed uno a 1,7 MHz) e con invece ben tre circuiti di limitazione. La cosa non è per nulla fuori dell'ordinario se si pensa che i circuiti di media sono a banda passante relativamente ristretta e per conseguenza ad elevato guadagno mentre il fatto stesso che l'apparato sia di alta qualità e di costruzione tipicamente professionale giustifica senza altro tutte le difese che vengono prese contro ogni forma di disturbo. Vale la pena di ricordare in proposito che l'apparecchiatura è in funzione in mezzo a tutti i disturbi di natura elettrica derivati da una moderna attrezzatura da palcoscenico (luci, motori, amplificatori e dispositivi vari). Anche per questo motivo di solito l'antenna ricevente (dipolo collegato con linea al ricevitore) viene disposta con polarizzazione orizzontale proprio perchè i disturbi di natura elettrica sono di solito polarizzati verticalmente.

Il fatto che vi siano pochi stadi di media frequenza e che quei pochi siano a larga banda riduce al minimo il rumore di fondo. Esso viene ulteriormente ridotto dall'energico controllo automatico di volume (CAV) ricavato dal circuito di falla di griglia del primo limitatore previo opportuno filtraggio. Il CAV agisce in due primi stadi di alta frequenza e sul primo di media a 10,7 MHz.

Dal discriminatore, troppo noto perchè ci si soffermi a considerarne lo schema, oltre alla tensione di bassa frequenza si può ricavare anche una tensione continua dovuta agli spostamenti di frequenza sia degli oscillatori di conversione che del telemicrofono.

L'uscita in continua di valore negativo o positivo viene trasformata in tensione solo positiva di valore variabile con l'ausilio di un triodo di una 12AT7 (V11). La polarizzazione del

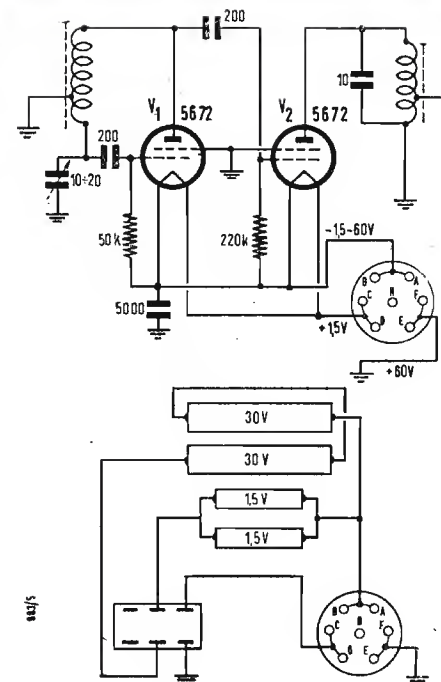


Fig. 4 - Circuito elettrico del « telemike ».

discriminatore filtrata convenientemente viene infatti applicata alla griglia controllo e dal catodo si preleva una tensione di comando per il circuito del tubo a reattanza.

In questo modo viene garantito l'allacciamento di frequenza anche nel caso di notevole deriva termica ed il perfetto funzionamento del discriminatore con l'eliminazione di ogni distorsione.

L'altra sezione triodo della V11 viene invece utilizzata per il comando di un microrelè che ha il compito di segnalare l'entrata in funzione del telemicrofono mediante accensione di una spia rossa e di consentire l'uscita della bassa frequenza.

Nel caso che per qualche motivo il telemicrofono andasse fuori servizio mancando il segnale, la mancanza di un negativo base da V8 fa scorrere corrente nel tubo e provoca l'attrazione del relè che con un suo contatto mette a massa il collegamento che porta il segnale di bassa frequenza allo stadio finale.

È così evitato ogni pericolo che in assenza di segnale il fruscio di fondo ed i disturbi, che non vengono limitati dal ricevitore, vengano diffusi attraverso il normale impianto di amplificazione dello spettacolo al pubblico che affolla il teatro.

La tensione di falla di griglia è l'indice più sicuro della entità del segnale in arrivo e per questo motivo è pre-



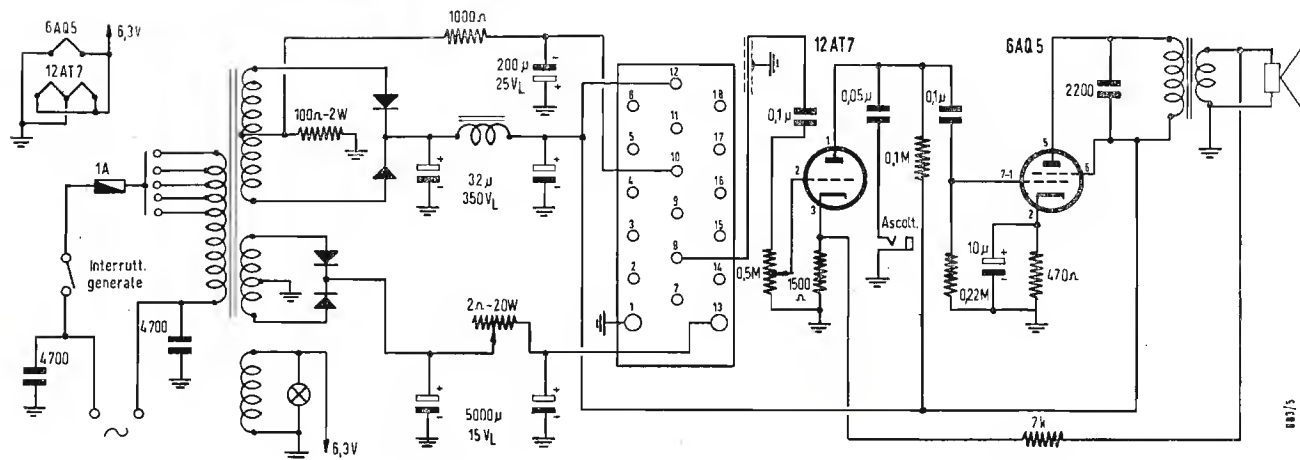


Fig. 5 - Circuito elettrico dell'alimentatore.

disposto uno strumento da  $25 + 25 \mu A$  con zero centrale che funziona come voltmetro di controllo del campo e della corretta sintonia (tensione zero) del discriminatore.

Merita qualche considerazione (e molte lodi tra l'altro) lo stadio finale di bassa frequenza. Si trattava di trasferire su bassa impedenza in circuito bilanciato per l'alimentazione del cavo schermato di collegamento, il segnale di bassa frequenza senza alterare la linearità del sistema e senza introdurre assolutamente distorsione.

Il bilanciamento e l'adattamento di impedenza del segnale richiedeva l'inserzione di un trasformatore con i noti inconvenienti per la banda passante. Il problema è stato aggirato riducendo a qualche centinaio di ohm l'impedenza di trasferimento tramite un amplificatore catodico. In tal modo il segnale perviene alla griglia di un triodo e dal catodo di quest'ultimo viene trasferito (tramite l'avvolgimento del primario del trasformatore) al secondo catodo con opportuna inversione di fase sì da pilotare il secondo triodo che si comporta esso pure come un amplificatore di catodo ma con griglia a massa.

Si ha così un trasferimento catodico che, come noto, dà luogo al massimo di controreazione e quindi praticamente senza introduzione di distorsione. Il trasformatore è accoppiato con un condensatore elettrolitico di elevatissima capacità in modo che esso viene previsto con nucleo senza traferro e quindi di dimensioni ridotte e per conseguenza con maggior rendimento e con migliori caratteristiche di trasferimento di impedenza. Un commutatore permette di scegliere l'impedenza di lavoro più opportuna. Altro particolare interessante: tutti i filamenti delle valvole sono alimentati in c.c. per non avere della modulazione di frequenza specie nei primi stadi in alta frequenza. Queste ultime sono anche isolate dal

circuito comune di filamento a 6,3 V con delle piccole impedenze a radio frequenza.

L'alimentatore monitor (fig. 5) è presto descritto. Allo scopo di aumentare la sicurezza di funzionamento si è fatto uso di elementi raddrizzatori al selenio sia per l'alta tensione di alimentazione (250 V) che per la bassa tensione di filamento, regolabile con un reostato da 2  $\Omega$  e 20 W di dissipazione massima. Il ritorno anodico verso massa dell'alta tensione dà luogo ai capi di una resistenza da 100  $\Omega$  ad una tensione negativa che, convenientemente filtrata, (resistenza da 1.000  $\Omega$  e condensatore da 200  $\mu F$  25 V). Viene inviata a polarizzare una dei diodi del secondo limitatore del ricevitore. Sullo

stesso chassis dell'alimentatore è montato pure un monitor composto da due semplici stadi preamplificatori e finale di bassa frequenza, energicamente controreazionati. Regolando il volume col potenziometro da 0,5 M $\Omega$  è così possibile controllare la qualità ed il volume della banda fonica trasmessa dal telemicrofono.

Il telemicrofono vero e proprio (vedi fig. 6) è semplicissimo come schema ma di delicatissima realizzazione specie per ciò che riguarda il cuore dell'apparecchiatura: il microfono a condensatore derivato verso massa dalla griglia controllo del primo triodo oscillatore.

L'emissione viene infatti modulata di frequenza tramite le variazioni di ca-

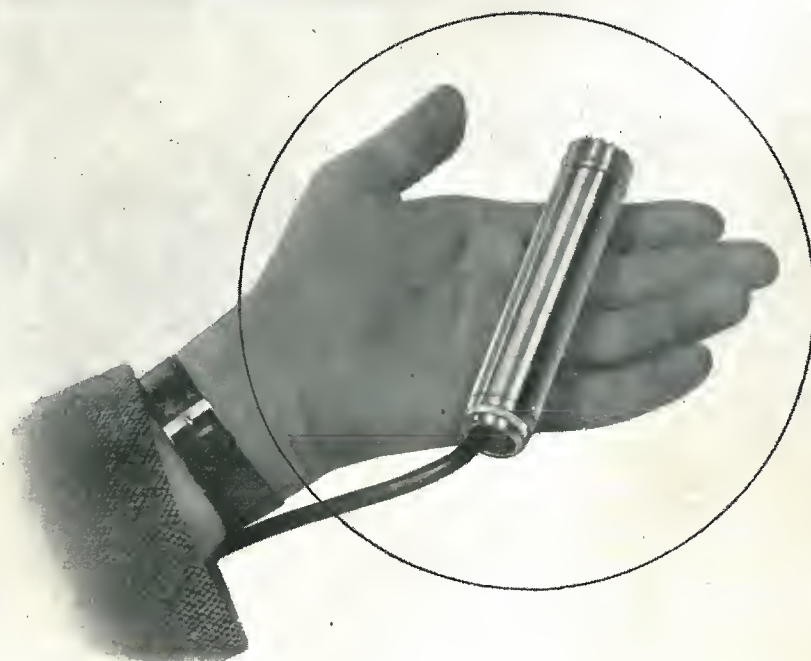


Fig. 6 - Aspetto del telemicrofono.

pacità del microfono che, di costruzione speciale appositamente brevettata, è sensibilissimo alle variazioni di pressione sonora. Il circuito dell'oscillatore è del tipo Colpitts regolato in modo da non provocare una eccessiva eccitazione di griglia nella prima valvola tipo subminiatura 5672. La seconda valvola essa pure subminiatura 5672 funziona da duplicatrice separatrice evitando che le variazioni di capacità verso massa dell'antenna provochino degli inaccettabili scarti di frequenza.

Il circuito di placca viene collegato a massa per comodità di costruzione e per semplicità di schema. In questo modo infatti tutti i disaccoppiamenti si riducono al condensatore a 5.000 pF che chiude il circuito di filamento per l'alta frequenza.

Come abbiamo già detto la frequenza di lavoro si aggira sui 25 MHz per l'oscillatore e sui 50 MHz per il duplicatore.

L'alimentazione è prevista a parte e collegata mediante cavetto al telemicrofono.

La scatola delle batterie che per le sue dimensioni può venire con tutta facilità riposta in una tasca interna dell'abito porta un interruttore con cui l'apparato può venire posto fuori servizio per disinserzione delle batterie. L'antenna dell'apparato è costituita da un semplice tratto di filo flessibile isolato di circa 80 cm di lunghezza che può venire lasciato cadere semplicemente lungo l'abito od infilato in una manica.

Il telemicrofono può venire celato con facilità sotto la cravatta o nel taschino della giacca del cantante dato che le dimensioni sono quelle di un cilindretto di 25 mm di diametro per 130 di lunghezza con circa 130 grammi di peso.

### 3. - NORME PER L'IMPIEGO E LA MANUTENZIONE.

L'apparecchiatura viene consegnata completa di accessori in apposita valigia. Generalmente vengono forniti due telemicrofoni per un eventuale rapido ricambio e per operazioni di scena.

Il ricevitore viene disposto nella posizione più conveniente generalmente nelle vicinanze del complesso di amplificazione di potenza della sala. Dal ricevitore parte la linea di collegamento di tipo coassiale che va a collegarsi con un dipolo accordato sulla frequenza di lavoro.

Data la piccola potenza emessa dal telemicrofono è bene che tra le due antenne trasmittente e ricevente in luoghi chiusi non siano interposti più di 50-70 metri di distanza.

In linea di massima conviene sempre che l'antenna si trovi in posizione verticale e posta in alto. Qualora però in questa posizione si riscontrassero

interferenze o disturbi apprezzabili è buona norma collocare l'antenna in posizione orizzontale anziché verticale; parallela al terreno o pavimento e a circa 30 cm da esso. L'uscita del ricevitore non può venire variata. Per la regolazione occorre agire sui comandi dell'amplificatore previsto per il servizio di diffusione acustica in sala. Ci si collega al bocchettone di uscita posto sul retro dell'apparato scegliendo l'impedenza di uscita più adatta con l'apposito commutatore. L'uscita è bilanciata verso massa e viene di solito collegata con cordone schermato doppio con calza a massa.

Ciò fatto si inserisce l'alimentazione del ricevitore e si attende per circa un minuto. Si accenderà la spia verde disposta sul pannello del monitor. La spia verrà disposta sopra alla manopola, di sintonia del ricevitore e resterà accesa per qualche istante.

Si unisce in seguito il telemicrofono con l'apposito cavetto alla scatola di custodia delle batterie innestando il piccolo spinotto e bloccandolo con un apposito fermaglio. La scatola portabatterie reca un piccolo interruttore a scatto che inserisce le batterie di pile e pone in funzione il complesso quando commutandolo viene reso visibile un

### Filamenti sviluppati sulla superficie di metalli sottoposti a radiazioni atomiche

La sezione ricerche dei Bell Laboratories ha annunciato i primi risultati di alcune esperienze condotte presso il Laboratorio Nazionale Brookhaven della Commissione americana per l'Energia Atomica con l'impiego di un reattore nucleare.

I ricercatori, dopo aver « coltivato » nei laboratori della Bell alcuni filamenti cristallini di germanio e di silicio (materiali ampiamente usati negli apparati elettronici moderni), li introdussero per circa un mese nel reattore di Brookhaven. Ad un anno di distanza dall'irradiazione, i campioni irradiati risultarono coperti di molti altri filamenti sviluppati dalle radiazioni nucleari, del tutto identici a quelli che si determinano col tempo nei metalli adoperati nella telefonia e nell'elettronica. Gli esperti non si sono ancora pronunciati sul fenomeno dello sviluppo dei filamenti per effetto delle radiazioni.

Come è noto, cinque anni or sono gli scienziati addetti ai Laboratori della Bell Telephone Company scoprirono sulle superfici dei metalli impiegati nelle attrezzature radio-telefoniche alcuni filamenti che determinavano in alcuni casi dei falsi contatti in apparati particolarmente delicati. L'osservazione di questi « baffi » fu effettuata con l'ausilio del microscopio elettronico, date le loro dimensioni estremamente piccole.

Per ovviare a questo inconveniente, che è quanto mai pronunciato sui rivestimenti di zinco, stagno e cadmio adoperati nella placcatura delle parti degli apparecchi telefonici, gli scienziati della Bell hanno raccomandato negli ultimi tempi l'uso di rivestimenti in speciali metalli tra cui l'oro, specialmente nei ripetitori dei cavi telefonici transatlantici e nell'intelaiatura metallica dei transistori.

Le ricerche proseguono per individuare la natura dei filamenti, la cui robustezza supera tra l'altro quella dei materiali da cui proliferano.

(u. s.)

puntino rosso. Posto in funzione il telemicrofono si regola la sintonia del ricevitore mediante la manopola graduata di sintonia sino a che la spina rossa non si accende. A questo punto occorre ritoccare ancora un poco la sintonia manovrando dolcemente la manopola sino ad ottenere indicazione di zero (segno rosso) sullo strumento di cui è dotato il ricevitore quando il relativo commutatore è posto su « Rice ».

Con il commutatore in posizione « Limit 2° » si dovrà avere una indicazione verso destra di 15-20 unità. Tale deviazione si deve mantenere anche quando il trasmettitore è posto ad una certa distanza dal ricevitore (30-50) metri. Quando il commutatore è invece in funzione « Limit 1° » l'indicazione varierà da un minimo di zero ad un massimo di 20 a seconda della distanza del telemicrofono. L'apparato deve venire periodicamente revisionato e le batterie del telemicrofono sostituite quando le batterie per il filamento da 1,5 V scendono sotto carico di 1,1 V e le batterie anodiche da 60 V a 35 V.

La sostituzione dei tubi (normalmente necessaria dopo 2000 ore) non richiede correzioni all'allineamento del ricevitore.

(dott. ing. Franco Simonini)

### L'automazione collegata all'identificazione ultrasonora di difetti di produzione

Tecnici di sette paesi di Europa stanno visitando questo mese la Gran Bretagna per studiare l'applicazione dell'automazione alle ispezioni ultrasonore, come è stata sviluppata da una ditta britannica.

La ditta, la quale ritiene che il sistema da essa ideato, denominato « Autosonics », presenti diversi vantaggi rispetto ad altri sistemi in uso è ora pronta a far conoscere ovunque il processo: già delle acciaierie, dei cantieri navali e degli stabilimenti dell'industria meccanica di altri paesi hanno mostrato il loro vivo interesse. L'« Autosonics » è una combinazione di meccanica e di scienza elettronica. La tecnica in questione, che ricorda quella del radar, consiste nello studiare il materiale in esame con una speciale sonda, che trasmette entro il materiale stesso dei suoni sotto forma di sequenza di pulsazioni elettriche; queste pulsazioni, a loro volta, vengono riflesse dalla faccia opposta e ricevute dalla sonda. Tale sequenza appare su di un tubo a raggio catodico e può essere registrata elettricamente o su carta. Il materiale viene studiato automaticamente a velocità incomparabilmente superiori a quelle degli altri processi; la rapidità è anche uguale, o superiore, a quella della stessa produzione. La ditta dichiara che i risultati sono quanto mai accurati.

Un vantaggio non trascurabile del sistema è rappresentato dal fatto che chi lo usa non è soggetto alla stanchezza causata dalle ispezioni ultrasonore effettuate manualmente. Vengono fornite, come si è detto, delle registrazioni in forma permanente, per futuri riferimenti e analisi.

Alla luce dell'interesse destato dal nuovo sistema, la ditta ritiene che la relativa attrezzatura sarà quanto mai richiesta sui vari mercati.

I visitatori di questo mese comprendono: tecnici belgi, francesi, italiani, olandesi, svedesi e tedeschi.

(u. b.)



# Circuiti Elementari a Transistori per Amatore

*Durante la stagione estiva i radioamatori pensano anche agli apparecchi portatili. Oggi sono disponibili sul mercato i transistori e i componenti miniaturizzati. Ecco qui una selezione di semplici circuiti, che potranno fornire qualche idea per la costruzione dilettantistica di un radoricevitore, o di una valigetta fonografica, o magari di una coppia di "talkie-walkie".*

## 1. - GENERALITÀ.

PER CHI FINORA si è circontato solo con i tubi elettronici, diremo che, solo in prima approssimazione, un transistor può essere paragonato ad un triodo. Esso è cioè in grado di funzionare quale amplificatore, quale oscillatore, rivelatore, ecc. La base corrisponde alla griglia controllo, l'emettitore al catodo ed il collettore all'anodo. (Fig. 1).

Così, ad esempio, quando il transistor funziona come amplificatore, esso può, a somiglianza con i circuiti che

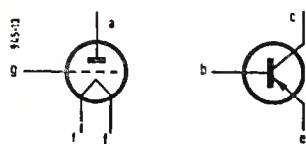


Fig. 1 - Schema rappresentativo di un triodo di un transistor.

impiegano tubi elettronici, essere collegato in tre modi differenti.

Se l'elettrodo a potenziale di massa agli effetti del segnale è l'emettitore, abbiamo il collegamento classico corrispondente al triodo con segnale entrante in griglia e carico nel circuito anodico. In questo caso si ha per un dato transistor la massima amplificazione di corrente.

Collettore alla massa, corrisponde alla connessione ad inseguitore catodico (cathode-follower).

Base alla massa, con segnale entrante sull'emettitore, corrisponde alla connessione con griglia a massa (grounded-grid).

Occorre tenere presente, a parte le polarità, che dipendono dalla formazione p-n-p ovvero n-p-n del transistor, che le tensioni in gioco sono sempre molto inferiori a quelle generalmente richieste dai tubi elettronici, mentre le correnti sono generalmente

abbastanza elevate. Si avranno cioè impedenze sia di entrata che di uscita notevolmente più basse che nel caso dei tubi elettronici.

Tali impedenze sono generalmente indicate sui fogli delle caratteristiche dei transistori.

Tensioni di polarizzazione nei circuiti a transistori sono quasi mai ottenute (come si può fare per i tubi elettronici) per caduta in una resistenza, ma piuttosto a mezzo di due resistenze collegate come divisore.

Ciò per la sensibile variazione delle caratteristiche in funzione della temperatura. A questo proposito rimandiamo il lettore ad una breve trattazione apparsa su «l'antenna», novembre 1956, XXVII, 11.

La frequenza massima alla quale un transistor può ancora amplificare ovvero oscillare è pure limitata in confronto a quelle dei tubi elettronici. Tipi speciali di transistori sono stati studiati per le frequenze elevate: ad esempio il tipo OC 45 per l'amplificazione in media frequenza, ed il tipo

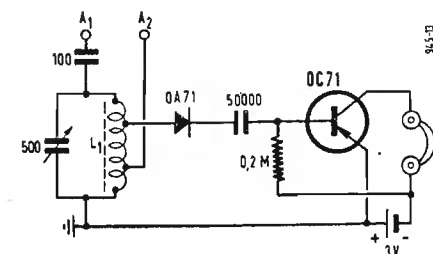


Fig. 2 - Semplice ricevitore con diodo e transistor.  $L_1$  = nucleo in ferrite  $6 \times 110$ , 3 pezzi bobinati assieme, con filo di rame smaltato  $\varnothing 1$  mm, 70 spire totali, con presa alla 10ª e 30ª spira del lato massa (induttanza totale ca  $240 \mu\text{H}$ ).

OC 44 per amplificazione o conversione in alta frequenza.

Entrambi sono costruiti dalla Valvo e dalla Philips. Della Telefunken esiste il tipo OC 612.

Segue ora la descrizione di alcuni circuiti a transistori, montati e provati con animo da dilettante e dedicati ai dilettanti.

A quelli di questa serie ne seguiranno certamente altri a mano a mano che la porzione di dilettante di chi scrive troverà modo di affermarsi.

## 2. - RICEVITORI.

La fig. 2 illustra il più semplice ricevitore. Esso è composto da uno stadio rivelatore con cristallo e da uno stadio a bassa frequenza. L'ascolto è effettuato in cuffia, e la sola sorgente di alimentazione è costituita da una piletta a 3 V. La corrente richiesta è dell'ordine del milliampere, e la durata risulta quindi di parecchie centinaia di ore anche con i piccoli elementi con capacità di frazioni di ampere.

In questo circuito, come pure in quelli che seguono, il circuito oscillante è previsto per l'accordo nella gamma delle onde medie. La bobina è generalmente avvolta su un nucleo di ferrite, con rapporto molto grande fra lunghezza e diametro ( $10 : 1 \div 20 : 1$ ). Il comportamento di bobine di questo

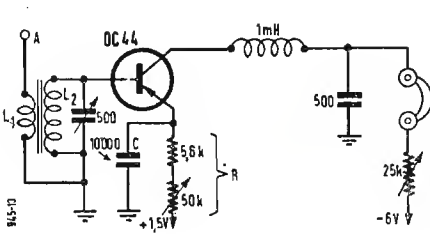


Fig. 3 - Ricevitore a super-reazione.  $L_1 - L_2$  = nucleo ferrite  $10 \times 110$ ;  $L_1$  = 17 spire rame  $\varnothing 0,35$  mm avvolte ad una estremità su  $L_2$  = 60 spire filo, come  $L_1$ .

tipo è molto simile a quello di piccole antenne a telaio: esse presentano cioè una spiccata direzionalità, se usate senza connessione di antenna, pur essendo meno influenzabili per effetto capacitivo, per esempio per la vicinanza della mano.

Tuttavia una o due connessioni per l'antenna come in fig. 2 sono sempre

previste, in modo da adattare l'apparecchio a qualunque antenna, con enorme miglioramento della ricezione.

Un notevole passo avanti si fa con il circuito di fig. 3, che rappresenta un ricevitore a superreazione. Esso può naturalmente essere seguito da un amplificatore a uno o più stadi, del tipo descritto nella sezione 3, al fine di effettuare l'ascolto in altoparlante.

Il solo stadio rivelatore permette già un buon ascolto in cuffia con segnali in arrivo dell'ordine di  $200 \div 500 \mu\text{V/m}$ . Il transistor impiegato deve naturalmente essere del tipo per alta frequenza, benché nelle onde medie si sia riscontrato che potevano funzionare anche dei transistori per bassa frequenza, non tutti però ugualmente bene, pur essendo a volte dello stesso tipo.

Un transistor per alta frequenza, che è stato adottato in quasi tutti questi circuiti, è il tipo Philips OC 44. Le sue caratteristiche sono riportate in appendice. Alcuni esemplari per-

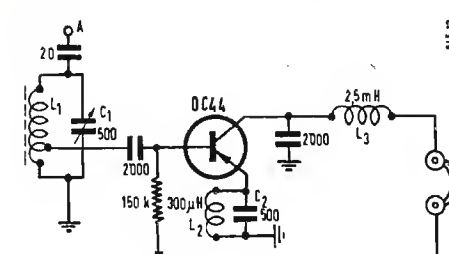


Fig. 4 - Semplice ricevitore a reazione.  $L_1$  = nucleo ferrite  $10 \times 110$ , 60 spire filo rame  $\varnothing 0,35$  mm con presa alla 10ª spira dal lato massa.

mettevano con il circuito di fig. 3 la ricezione con buona performance a frequenze intorno a 15 MHz.

Per il circuito di fig. 3 sono necessarie due pile di alimentazione, l'una a 1,5 V e l'altra a 6 V. Ovvero si collegano in serie 5 elementi a 1,5 V del tipo per lampada da borsetta, e si effettua una presa intermedia.

Il potenziometro  $P_1$  regola la frequenza ultraudibile d'interruzione, determinata essenzialmente dal prodotto  $RC$ , mentre il potenziometro  $P_2$  permette di regolare la corrente di collettore al valore che assicura la massima sensibilità. Il circuito oscillante è calcolato per la gamma che si desidera ricevere. I dati sullo schema si riferiscono alle onde medie.

In fig. 4 è riportato lo schema di un ricevitore a reazione. Il funzionamento è molto stabile, ed il modo di operazione molto simile a quello di un analogo circuito a valvola.

Benché anche impiegando transistori sia sempre bene effettuare i collegamenti più corti possibili, si noterà come la criticità nei confronti di oscillazioni

tanza di accordo, avvolta preferibilmente su un nucleo di ferrite.

$L_2$  può essere costituita, dato che qui non è richiesto un coefficiente di merito molto elevato, da una bobina di arresto per alta frequenza di circa  $300 \mu\text{H}$ . Il condensatore  $C_2$ , nel caso delle onde medie, deve quindi possedere una capacità di circa  $500 \text{ pF}$ .

$L_3$  è una bobina di arresto di valore elevato, per impedire a residui di alta frequenza di agire nel circuito di carico.

In fig. 5 è riprodotto lo schema di un ricevitore a reazione, comprendente uno stadio rivelatore e due stadi amplificatori di bassa frequenza. La ricezione è possibile in altoparlante per segnali in arrivo dell'ordine del centinaio di microvolt/metro.

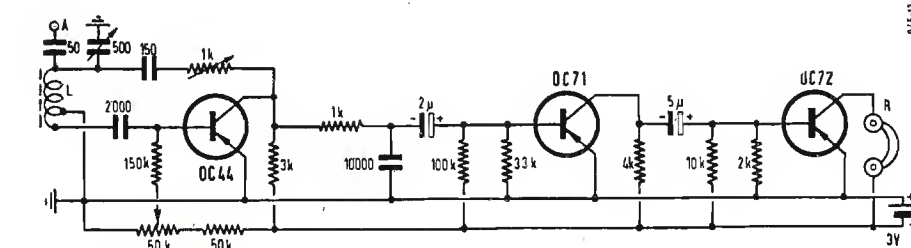


Fig. 5 - Ricevitore a reazione a tre stadi.  $L$  = nucleo ferrite  $10 \times 110 - 190 \mu\text{H}$ , 60 spire filo rame  $\varnothing 0,35$  mm con presa per la massa alla 10ª spira dal lato base primo transistor;  $R$  = cuffia ad altoparlante con impedenza  $Z = 500 \div 2.000 \Omega$ .

indesiderate sia alquanto inferiore che nel caso delle valvole. Questo fatto dipende dalle impedenze in gioco molto minori: capacità ed induttanze parassite giocano pertanto un ruolo molto meno dominante.

L'accoppiamento reattivo nello schema di fig. 4 è assicurato dalla presenza del circuito oscillante  $L_2 - C_2$ , inserito sul ritorno a massa dell'emettitore. Questo circuito oscillante è accordato su una frequenza fissa, leggermente inferiore alla frequenza più bassa della

L'unica sorgente di alimentazione è una piletta di 3 volt.

L'accoppiamento reattivo è ottenuto a mezzo di una presa sull'induttanza  $L_1$ , ed è dosato a mezzo della resistenza variabile da  $1.000 \text{ ohm}$ . Il potenziometro che regola la polarizzazione di base dello stadio rivelatore può essere del tipo semifisso, e va regolato in modo tale che variando la resistenza da  $1.000 \Omega$  si abbia l'innesco delle oscillazioni quando questa è tutta esclusa.

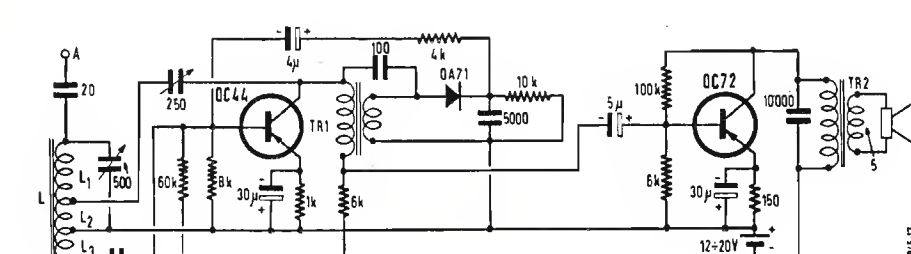


Fig. 6 - Ricevitore reflex.  $L$  = nucleo ferrite  $6 \times 110 - 3$  pezzi bobinati assieme  $240 \mu\text{H}$ ;  $L_1$  = 50 spire filo rame  $\varnothing 1$  mm;  $L_2$  = 9 spire filo rame  $\varnothing 1$  mm;  $L_3$  = 11 spire filo rame  $\varnothing 1$  mm;  $TR_1$  = impedenza primaria  $10 \text{ mH}$ , rapporto  $1 : 1$ ;  $TR_2$  = impedenza primaria ottima  $3.600 \Omega$ , rapporto  $27 : 1$  (per impedenza bobina mobile  $5 \Omega$ ).

gamma che si desidera ricevere. Esso presenta quindi una reattanza induttiva per tutte le frequenze della gamma, e provoca l'innesco delle oscillazioni (alla frequenza determinata da  $L_1 - C_1$ ) date le reciproche relazioni di fase, purché la polarizzazione della base sia sufficientemente negativa.

L'induttanza  $L_1$  è la solita indut-

Lo stadio rivelatore è accoppiato a resistenza capacità allo stadio che segue, con interposta una cella di filtraggio dell'alta frequenza.

Pure a resistenza capacità è accoppiato lo stadio finale.

Le basi dei due transistori amplificatori sono polarizzate a mezzo di divisori di tensione per assicurare una



L'impedenza ottima del circuito di uscita dello stadio di potenza è compresa fra 500 e 2.000 ohm, e la cor-

Il trasformatore ha il rapporto di 1 : 1 ed è costituito di due bobine a nido d'ape di 10 mH montate su un

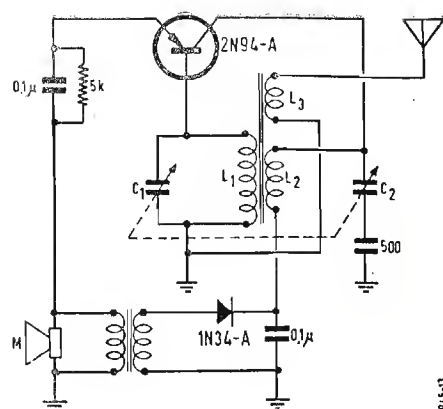
Tutti e due gli stadi sono accoppiati a resistenza e capacità. Per queste ultime si usano valori abbastanza elevati, date le piccole impedenze di ingresso che seguono. Si trovano ora piccoli condensatori elettrolitici, co-

The diagram shows a circuit with two main components: a 'Radio' on the left and an 'Amplificatore' on the right. The 'Radio' is represented by a vertical rectangle with two terminals on its left side. A variable resistor, labeled 'R', is connected between the top terminal of the 'Radio' and the top terminal of the 'Amplificatore'. The 'Amplificatore' is represented by a vertical rectangle with two terminals on its right side. A ground symbol is connected to the bottom terminal of the 'Amplificatore'.

Modulazione

0,1p  
15k  
20000  
250  
500k  
15V  
2N94-A  
L<sub>1</sub>  
L<sub>2</sub>

La corrente a vuoto assorbita dai due collettori complessivamente si re-



La resistenza  $R$ , un piccolo potenziometro a grafite, con resistenza totale

Chi infatti fornisce l'alimentazione è un microfono a bobina mobile.

| TIPO EUROPEO |        |       | TIPO AMERICANO                    |         |
|--------------|--------|-------|-----------------------------------|---------|
| OC 32        | OC 601 | —     | —                                 | —       |
| OC 33        | OC 602 | OC 70 | 2 N 63                            | 2 N 123 |
| OC 34        | OC 604 | OC 71 | 2 N 34, 64, 65, 76, 112, 113, 114 |         |
| OC 38        | —      | OC 72 |                                   |         |
| OC 410       | OC 612 | OC 44 | [2 N 94 - A]                      |         |
| M 34 a       | OA 50  | OA 74 | 1 N 34 - A                        |         |
| M 38 a       | OA 55  | OA 81 | 1 N 38 - A                        |         |
| M 51         | —      | —     | 1 N 51                            |         |
| M 54 a       | OA 51  | OA 71 | 1 N 54 - A                        |         |
| M 55         | —      | —     | 1 N 55                            |         |
| M 56         | —      | OA 73 | 1 N 56                            |         |
| M 60         | OA 60  | OA 70 | 1 N 60                            |         |
| M 69         | OA 56  | —     | 1 N 69                            |         |
| M 70         | OA 53  | —     | 1 N 70                            |         |
| M 81         | —      | OA 72 | 1 N 81                            |         |
| M 95         | —      | —     | 1 N 95                            |         |

| T I P O   | OC 71 | OC 72   | OC 44 |     |
|---|-------|---------|-------|-----|
| Dissipazione ammissibile per temperatura ambiente = 45° | 50    | 65      | 45    | mW  |
| Tensione collettore                                     | — 5   | — 15    | — 5   | V   |
| Corrente emettitore                                     | 1     | 10      | 1     | mA  |
| Resistenza ingresso (emettitore a a massa)              | 600   | —       | 1.800 | Ω   |
| Resistenza uscita                                       | 30    | 0,5 ÷ 2 | —     | kΩ  |
| Amplificazione di potenza                               | 42    | 20      | —     | dB  |
| Frequenza limite media                                  | 1,1   | 0,5     | 12    | MHz |
| Capacità base - collettore                              | —     | —       | 13    | pF  |

9/576

Punto rosso

The diagram shows a cross-section of a cable with three internal conductors labeled 'c', 'b', and 'e' from top to bottom. The conductors are separated by insulation. The entire bundle is enclosed in an outer jacket. A small semi-circular mark on the top of the jacket is labeled 'Punto rosso' with an arrow pointing to it.



# Studio sulla TV a Circuito Chiuso

## Il Preamplificatore Video di Telecamera

Gino Nicolao

(sesto articolo di questa serie)

### 1. - IL PREAMPLIFICATORE A VALVOLE.

L'AMPLIFICATORE video usato nelle telecamere ha particolari caratteristiche che lo distinguono dai normali amplificatori a resistenza e capacità, usati per esigenze diverse, anche se previsti per una risposta a larga banda (fig. 1).

Esso deve infatti rispondere ai seguenti requisiti:

- 1) Deve fornire un guadagno di valore determinato in base all'uscita del tubo da presa impiegato, e del segnale richiesto all'uscita.
- 2) Tale guadagno deve risultare costante in tutta la gamma delle frequenze trasmesse.
- 3) Non deve provocare distorsione di fase e cioè il ritardo deve essere costante per tutte le frequenze del campo video frequenza che interessano.
- 4) La risposta ai segnali transitori non deve introdurre apprezzabile degradamento di un fronte d'onda di segnale rettangolare.
- 5) Deve presentare un elevato fattore segnale disturbo, onde permettere il migliore sfruttamento della sensibilità del tubo da presa.
- 6) Il rumore a frequenza rete, captato o dovuto a modulazione dei filamenti deve essere il più basso possibile, inferiore al valore dell'1 %.

Prendiamo in considerazione ora un preamplificatore generico, da impiegarsi in unione ad una telecamera funzionante con tubo vidicon. Questo tubo con illuminazione media fornisce una corrente di segnale di 0,1  $\mu$ A, la quale ai capi della resistenza di carico di 100.000  $\Omega$  determina una differenza di potenziale di 0,01 V.

Ammettendo di voler ottenere una uscita sul cavo coassiale da 75  $\Omega$ , di 1 V pp., l'amplificatore dovrà avere un guadagno di 100 volte. Se ora l'uscita dal vidicon fosse lineare dalle frequenze più basse a quelle più alte

del campo video, il nostro preamplificatore dovrebbe avere anch'esso una risposta lineare, fino a circa 3,5 MHz. Dato però che il circuito d'ingresso della prima valvola assieme al circuito costituito dal target del vidicon hanno caratteristiche tali da comportare una forte capacità parassita, così da attenuare fortemente le frequenze alte, è necessario introdurre nel preamplificatore o nell'amplificatore successivo una compensazione che permetta di portare la curva totale del complesso vidicon-preamplificatore alla linearità. Questo viene ottenuto con circuiti speciali che illustreremo più oltre. Altra particolarità dell'amplificatore video della telecamera rispetto a quelli normali è la necessità di un'uscita finale a bassa impedenza. Questa in genere è ottenuta a mezzo di un opportuno «cathode follower», o «anode follower» (fig. 2).

### 2. - LO STADIO D'INGRESSO DEL PREAMPLIFICATORE.

Nel preamplificatore di telecamera descritto nello scorso numero, la prima valvola era costituita da un triodo impiegato come stadio d'entrata. Per poter ottenere un ottimo segnale-disturbo, per poter cioè far sì che anche alla minima illuminazione sia possibile ottenere un'immagine priva di «soffio» (che si traduce sullo schermo in effetto neve o sabbia, assai fastidioso) è necessario infatti avere un primo stadio della miglior qualità possibile. La RCA nella sua realizzazione «TV Eye» illustrata sempre nello scorso numero, ha scelto un triodo montato in circuito convenzionale, dato che — come è noto — esso ha un migliore rapporto segnale-disturbo rispetto al pentodo.

Quando sia necessario ottenere risultati ancora migliori è indispensabile

ricorrere a quel circuito, che viene impiegato su vasta scala — in altro campo — nei ricevitori per onde ultra corte, e per televisione. Esso è il «cascode».

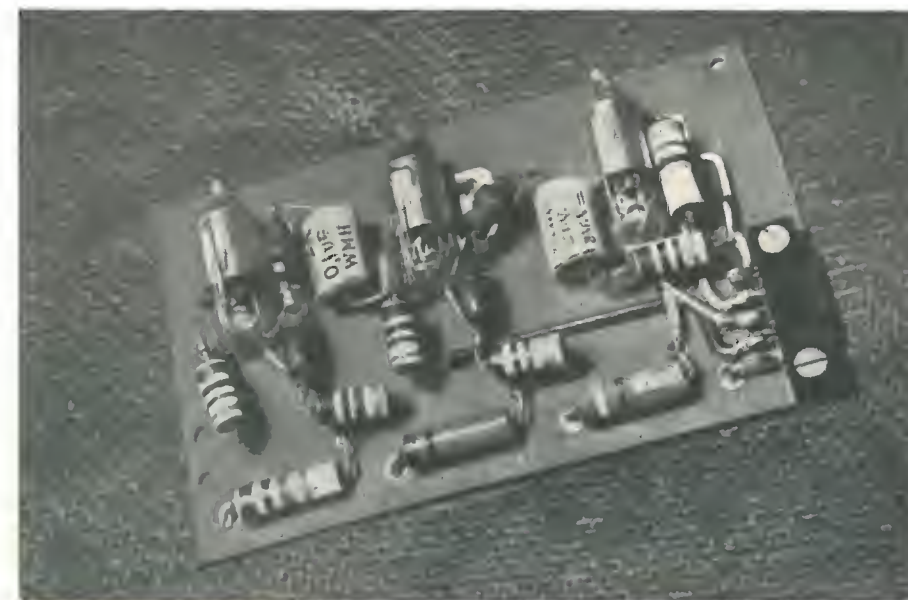
In questa disposizione, un triodo montato secondo gli schemi classici è seguito da un altro triodo collegato con griglia a massa, a cui è fortemente accoppiato.

In questo circuito si sfrutta il fatto che il triodo presenta in materia di amplificazione il vantaggio di non essere affetto da rumore di partizione, come i pentodi, e di avere quindi una resistenza equivalente di rumore assai bassa. Per contro esso ha lo svantaggio di presentare una capacità griglia-anodo piuttosto alta per cui tende ad entrare in regime di autooscillazione se non è convenientemente disaccoppiato. Il triodo però può essere connesso anche con circuito griglia a massa, ed in questo caso permette di ottenere una notevole amplificazione con basso rumore, pur senza andare incontro ai pericoli detti in precedenza.

Nel caso particolare dell'amplificatore video, i pericoli di autooscillazione sono molto minori che nell'impiego del triodo in alta frequenza (e vedi quindi l'utilizzazione di esso secondo un circuito classico nello schema RCA), ciò nonostante la combinazione triodo in circuito normale-triolo con griglia a massa porta ad una serie di vantaggi tali, da fare quasi universale la sua adozione nei preamplificatori di telecamera ed in molte altre applicazioni in alta e bassa frequenza, ovunque vi sia necessità di alto guadagno con basso rumore.

Le valvole impiegate per questo circuito sono le stesse che vengono usate nei gruppi per TV e negli altri casi generali, e cioè le americane 6BQ7A, 6BQ7A e le europee PCC84, ECC84 ed ECC85 e le recenti E88CC e PCC88.

Fig. 1 - Preamplificatore di telecamera realizzato con tre valvole subminiatura.



Un tipico stadio amplificatore a basso rumore per vidicon, facente uso di due doppi triodi 6BQ7A è illustrato nella fig. 3. Le due sezioni di ogni triodo si trovano in parallelo tra loro e sono disaccoppiate tramite resistenze di basso valore. Il condensatore d'entrata da 0,05  $\mu$ F deve essere collegato al target del tubo da presa. Il suo valore non è critico, ed a volte può essere inferiore a quello indicato (0,01  $\mu$ F). Ciò non pregiudica la resa alle frequenze basse, dato che esse si trovano in eccesso nella caratteristica del circuito d'entrata, e sarebbe necessario egualmente introdurre una correzione — come abbiamo già accennato — nel circuito amplificatore video.

La resistenza di catodo da 120  $\Omega$  può essere shuntata o meno. Nelle realizzazioni americane essa è generalmente by-passata da un condensatore elettrolitico di alto valore (700  $\mu$ F) mentre in quelle europee viene spesso eliminato detto elemento, sfruttando la controeazione catodica che si verifica in questo modo, per ottenere una linearizzazione della banda passante. Le placche di  $V_1$ , collegate tra loro in parallelo, sono connesse, attraverso una resistenza da 100  $\Omega$ , al catodo della seconda valvola.

La tensione presente sulla placca di  $V_1$ , sarà quindi la stessa presente sui catodi di  $V_2$ , e quando il circuito sia bilanciato esattamente, avrà il valore uguale a metà della tensione presente sulle placche di  $V_2$ .

La griglia controllo di quest'ultima valvola, a massa dal punto di vista della corrente alternata per mezzo di un condensatore da 0,1  $\mu$ F, è polarizzata conseguentemente a mezzo di un partitore posto tra il positivo e massa, ad una tensione appena inferiore a quella del catodo di  $V_2$ .

Nel circuito anodico è prevista una resistenza di carico di basso valore, in serie con un'induttanza di compensazione per la risposta alle frequenze

alte. Il condensatore d'uscita è da 0,05  $\mu$ F, e dev'essere collegato alla griglia dello stadio seguente, generalmente realizzato con un pentodo.

Molto accurata dev'essere la schermatura delle due valvole, ed è consigliabile l'impiego di zoccoli con sospensioni antimicrofoniche, per evitare fastidiosi disturbi nell'immagine.

Un amplificatore video di telecamera capace di fornire un guadagno pari a quello da noi richiesto, dovrebbe

avere — considerando una valvola adibita all'effetto di esaltazione delle frequenze alte — quattro stadi per una banda passante di circa 4,5 MHz senza attenuazione. Passeremo ora in esame due schemi di preamplificatori video impiegati nelle telecamere per televisione industriale, con tubi da presa del tipo vidicon, ed un amplificatore video previsto per l'impiego con iconoscopio modificato del tipo «utilicon».

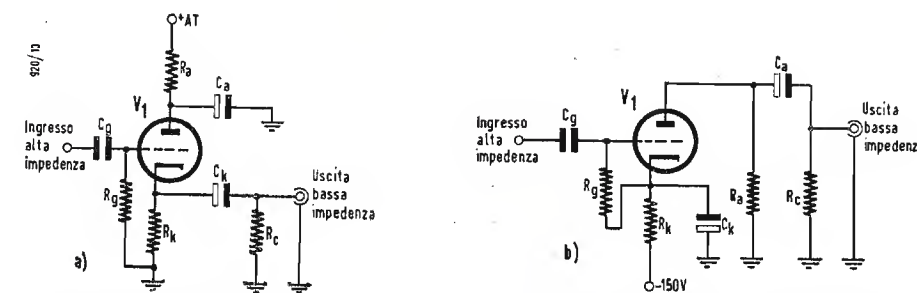


Fig. 2 - Stadi d'uscita per preamplificatori video di telecamera: a) «cathode follower», b) «anode follower». Il primo permette di ottenere un segnale a bassa impedenza di fase uguale a quello d'entrata, il secondo invece un segnale a bassa impedenza di fase opposta a quello d'entrata.

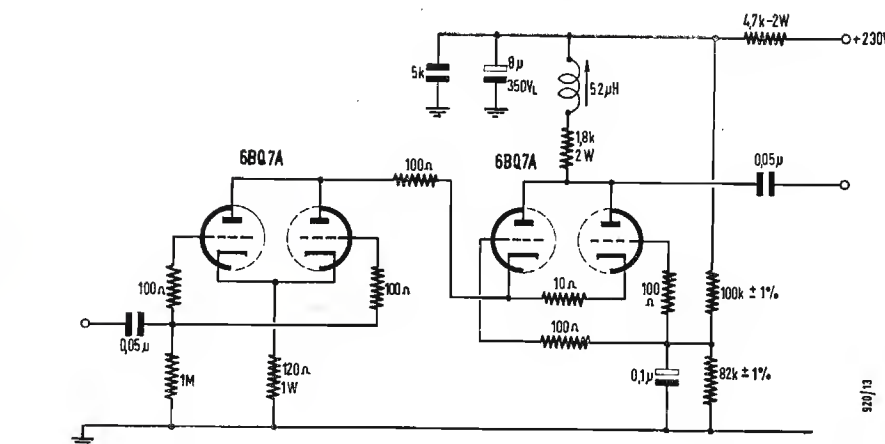


Fig. 3 - Stadio d'ingresso di preamplificatore video «cascode» con due doppi triodi 6BQ7A.



Lo schema della fig. 4 illustra l'amplificatore video dell'impianto di televisione industriale della RCA, denominato «TV Eye». Il tubo vidicon impiegato è del tipo 6198 ed ha l'elettrodo di segnale (target) collegato con il primo stadio del preamplificatore video a mezzo di un condensatore da 0,25  $\mu$ F. Il carico del vidicon (la resistenza cioè ai cui capi si sviluppa la tensione impulsiva che costituisce il segnale video) è in questo caso di 56 k $\Omega$ , mentre un'ulteriore resistenza da 560 k $\Omega$  provvede al disaccoppiamento dell'alimentazione dell'elettrodo del vidicon ed al filtraggio della corrente continua. Il condensatore d'accoppiamento è direttamente collegato alla griglia del primo stadio, che impiega una sezione del triodo pentodo 6U8; la resistenza di griglia è di 680 k $\Omega$  e la polarizzazione è ottenuta direttamente, dato che il catodo di questa

sezione di 6U8 è connesso a massa. La resistenza di carico della stessa valvola è di 4300  $\Omega$ , ed in serie ad essa è posta un'induttanza di compensazione alle note alte, che ha il compito di sollevare la risposta di questa sezione in prossimità della frequenza alta di taglio.

Noteremo qui per inciso, che un amplificatore a resistenza e capacità, preso senza alcuna compensazione ha una frequenza di taglio inferiore (verso le frequenze basse) ed una frequenza di taglio superiore (verso le frequenze alte). La caduta verso le frequenze basse si compensa in genere con opportuni condensatori di alta capacità, mentre quella alle frequenze alte può essere spostata con l'ausilio di una bobina risonante verso quella frequenza, smorzata oppure libera.

Riprendendo la descrizione del pre-

amplificatore, potremo osservare che la seconda valvola amplificatrice video è costituita dalla sezione pentodo della stessa 6U8 ed è anch'essa montata sullo stesso principio. Soltanto potremo notare un condensatore catodico di forte capacità (100  $\mu$ F), e la connessione della griglia schermo a valle della resistenza di disaccoppiamento da 1000  $\Omega$ , nel punto in cui è fissato anche un condensatore elettrolitico da 30  $\mu$ F.

Questa soluzione è stata adottata per ottenere una compensazione del guadagno alle note basse. La resistenza di placca della sezione pentodo della 6U8 di 2400  $\Omega$  è anch'essa posta in serie ad un'induttanza di compensazione, costituita da una bobinetta del valore di 60...130  $\mu$ H, accordata per mezzo di un nucleo ferromagnetico. La sezione triodica della 6U8 successiva è accoppiata alla placca di questa valvola per mezzo di un circuito di compensazione alle note alte, introdotto, come è stato illustrato precedentemente, per correggere la risposta del segnale all'uscita del vidicon, che tende a diminuire con l'aumentare della frequenza. Esso agisce in quanto il condensatore variabile da 50 pF, in parallelo alla resistenza da 120 k $\Omega$ , offre una resistenza via via minore al passaggio delle alte frequenze rispetto a quelle basse, e crea quindi una compensazione maggiorando il guadagno alle frequenze alte dello stesso valore di quanto esse erano state attenuate. Il compensatore permette di trovare il punto ottimo di risposta, che non è esattamente calcolabile, per l'inevitabile presenza delle capacità dei collegamenti e parassiti sul target del vidicon. Il preamplificatore si conclude con la sezione pentodica della 6U8 sulla cui griglia è connesso un diodo al germanio con funzione di reinseritore della componente continua (DC restorer).

Nel caso di questa telecamera una altra 6U8 è impiegata in funzione di modulatrice e di oscillatrice, per poter disporre di un segnale in radio frequenza e pilotare così ricevitori normali televisivi in funzione di monitori. I circuiti di deflessione e sincronismo sono simili a quelli descritti in altra parte di questo articolo.

L'amplificatore di telecamera illustrato dalla fig. 5 è quello costruito dalla Grundig per il suo impianto «Fernauge». Esso impiega una valvola PCC84, in circuito «cascode», una EF94 seconda amplificatrice ed una ripetitrice catodica (cathode follower) facente uso di una sezione della ECC81.

Tutti gli stadi sono compensati con induttanze poste in serie ai carichi anodici, per ottenere una maggior risposta alle frequenze alte, in prossimità della frequenza di taglio. La compensazione in serie è completata da altri circuiti induttivi, che sono posti tra la placca e la griglia degli stadi; in essi le bobine sono smorzate, rispettivamente, con resistenze ad impasto da 15, 6 e 3,5  $\Omega$ . Nel circuito del preampli-

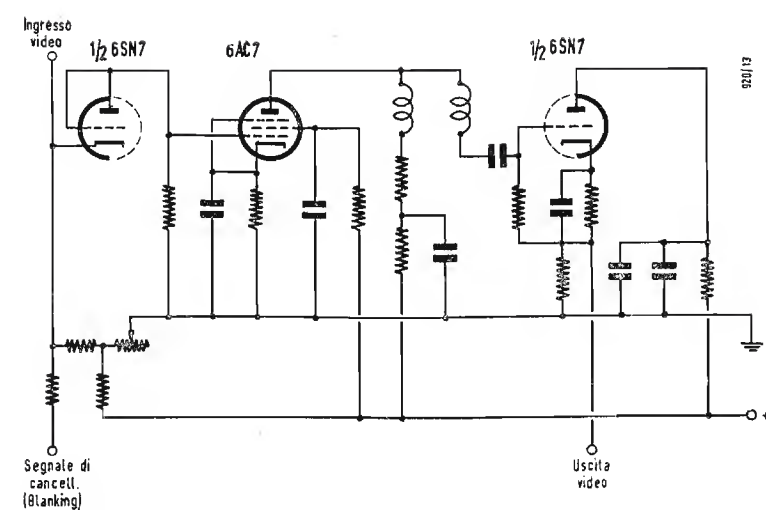


Fig. 6 - Schema di principio del preamplificatore di telecamera «Diamond».

ficatore video si potrà notare che non è presente alcun sistema per compensare la perdita alle frequenze elevate introdotta dal circuito del vidicon. Questo circuito è esterno alla telecamera e si trova in quella parte dello amplificatore, contenuta nell'unità di comando. Ogni valvola è disaccoppiata singolarmente da un circuito a resistenza e capacità, posti in serie alla rispettiva alimentazione anodica.

La fig. 6 mostra un amplificatore video molto semplice usato nelle telecamere installate nella centrale termoelettrica di Piacenza. La realizzazione non è molto recente, e quindi in queste telecamere sono impiegate delle valvole metalliche al posto di quelle miniatura. Il tubo da presa è di tipo speciale, un «utilicon», a catodo freddo, munito di un fotomoltiplicatore ad emissione secondaria interno.

Dato il relativamente alto segnale d'uscita di questo tubo, non è necessario provvedere ad una forte amplificazione, nè è necessario preoccuparsi eccessivamente del rapporto segnale-disturbo, poichè in questo caso il disturbo introdotto dal primo stadio del preamplificatore video, è trascurabile, essendo noto che il moltiplicatore ad emissione secondaria consente di ottenere un'amplificazione senza modificare il rapporto segnale-disturbo. Il preamplificatore illustrato impiega due valvole, una 6SN7 ed una 6AC7. Il segnale all'uscita del moltiplicatore elettronico dell'utilicon (composto di undici stadi) è di circa 0,5 V, valore elevatissimo, rispetto a quello (dell'ordine dei mV) fornito dagli altri tipi di tubi da presa. Esso è applicato alla griglia della 6AC7 tramite una sezione della 6SN7, connessa a diodo, ed impiegata come cancellatrice della traccia di ritorno. La 6AC7 è collegata in modo convenzionale, con induttanze in serie al circuito di carico anodico e verso la griglia della valvola successiva. La banda passante di questo stadio giunge a 7 MHz. La seconda sezione della 6SN7 funziona da ripetitore catodico, come nello schema precedente, ed invia il segnale video, attraverso un cavo coassiale a bassa impedenza, al monitor. La società realizzatrice di questa telecamera è la «Diamond Power Speciality Corp».

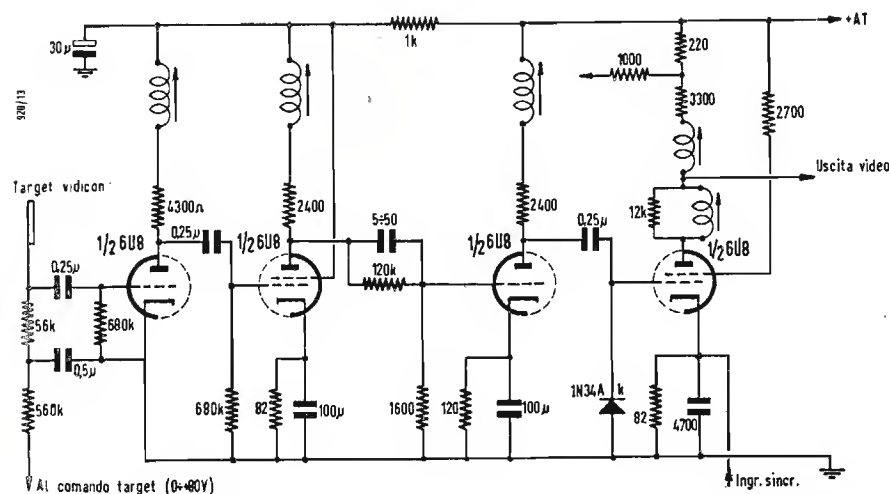


Fig. 4 - Preamplificatore video della telecamera industriale RCA «TV-Eye».

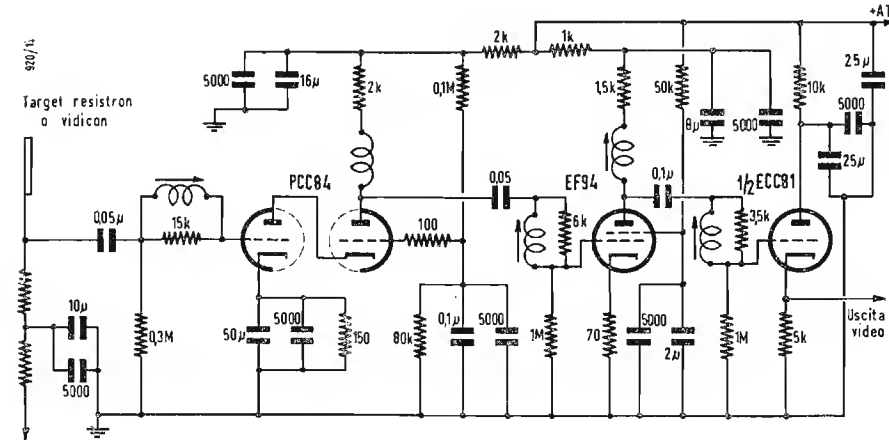


Fig. 5 - Preamplificatore video della telecamera Grundig «Fernauge».

## La Telecamera Miniaturizzata

### 3. - TELECAMERE A TRANSISTORI.

L'impiego dei transistori nella televisione industriale è molto recente, e molti sono i fattori che hanno limitato la loro diffusione in questo interessante campo. In primo luogo vi sono alcuni elementi dell'impianto di televisione industriale che si prestano ad essere transistorizzati vantaggiosamente ed altri invece che nella transistorizzazione vedono soltanto un esperimento e non una pratica sorgente di nuove utilizzazioni. I transistori possono essere impiegati con successo in quegli impianti che debbono avere caratteristiche di portatilità quali ad esempio quelli dei telecronisti e quelli usati per scopi militari, dove peso ed ingombro sono fattori di predominante importanza. Solo in questo caso allo stato attuale è conveniente prevedere una completa trasformazione a transistori dell'impianto di televisione industriale stesso. Diverso è il discorso per quanto riguarda la telecamera. La telecamera,

che inizialmente aveva dimensioni notevoli, si è andata sempre più rimpicciolendo. È possibile farsi un'idea di ciò osservando le illustrazioni che abbiamo precedentemente pubblicato. Dalle unità contenenti deflessione e spesso anche alimentazione, di dimensioni notevoli come la vecchia Pye, si passò a unità contenenti soltanto il preamplificatore video e successivamente si cercò di ridurre ulteriormente le dimensioni sia abbassando il numero delle valvole contenute nelle telecamere, sia miniaturizzando i componenti di deflessione e di focalizzazione per quanto possibile. Infine si impiegarono valvole subminiatura al posto delle valvole normali. Con la nascita in Germania del tubo mini-resistron venne immediatamente alla luce la possibilità di ridurre ulteriormente le dimensioni realizzando camere da presa facilmente dissimulabili o incorporabili in apparecchiature industriali preesistenti.

La prima realizzazione conosciuta è quella della Grundig, che abbiamo già



Fig. 7 - Telecamera portatile per uso reportage. Essa comprende anche un piccolo trasmettitore su ultrafrequenze.



illustrato, telecamere di dimensioni talmente ridotte da poter essere contenute agevolmente nel palmo di una mano. Questa telecamera però non contiene ancora transistori ma solo

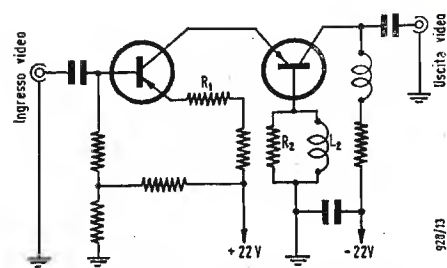


Fig. 8 - Amplificatore video sperimentale proposto nel 1953 e realizzato con transistori a punto di contatto (P.I.R.E.).

il piccolo tubo da presa, alcune valvole subminiatura ed i condensatori e resistenze necessari per la realizzazione del circuito elettrico. Il fatto che la Grundig non abbia previsto l'impiego di transistori è facilmente spiegabile. La realizzazione risale a circa un anno e mezzo fa, tempo in cui i transistori erano molto instabili nel campo dell'amplificazione delle frequenze elevate, specialmente per quanto riguarda la produzione europea.

La difficoltà di reperire sul nostro mercato a prezzi accessibili, transistori capaci di raggiungere le frequenze più elevate, consigliavano di limitarsi all'impiego di valvole subminiatura, assai più stabili e di facile reperibilità anche se di costo non molto inferiore. Gli studi preliminari per usare i transistori nel campo della televisione sono stati realizzati dalla RCA e già nel 1952-53 sulla Rivista americana *Proceeding of I.R.E.* è stato riportato un lungo articolo relativo alla realizzazione di un televisore con transistori, impiegati in tutte le sue parti componenti (fig. 8).

Salvo questa realizzazione che aveva uno scopo esclusivamente pubblicitario e di studio, nessuna altra notizia di amplificatori video realizzati con transistori si ebbe in seguito, specialmente nel campo della televisione industriale.

Esaminando la produzione di transistori di questi ultimi anni potremo notare che vi sono alcuni tipi che possono servire egregiamente come amplificatori a video frequenza, dal punto di vista della frequenza, e precisamente il CK760, CK761, CK762. Il CK760 ha una frequenza di taglio di 3,5 MHz; può essere quindi impiegato in amplificatore lineare fino a circa 2 o 3 MHz; infine il CK762 a una frequenza di taglio di 20 MHz può essere quindi utilizzato in amplificatori a larga banda con frequenza massima dell'ordine dei 5 MHz (fig. 9). La presenza sul mercato

di questi transistori già da 2 o 3 anni e delle serie europee di nuovo sviluppo, tra le quali l'interessante OC45 della Philips, sembra portare alla domanda per qual motivo essi sono stati impiegati nella miniaturizzazione della telecamera industriale. I motivi sono diversi e di diversa natura: in primo luogo questi transistori non sono stati realizzati con lo scopo di funzionare in amplificatori a larga banda ma di amplificare una frequenza singola compresa nel campo tra poche centinaia di kHz e 2 o 3 MHz. Il carico che viene generalmente applicato a questi transistori è quindi costituito da un circuito oscillante. Il rendimento del transistor viene a cadere quando venga utilizzato in circuito a resistenza e capacità. Vi sono inoltre differenze notevoli di rendimento tra transistori e transistori dello stesso tipo, specialmente quando esso venga usato nell'amplificazione di una larga banda. Infine il rumore proprio di queste unità non soltanto è variabile da unità ad unità, ma cambia con il variare della temperatura ed è generalmente molto violento per un'amplificazione continua di una larghissima gamma di frequenza qual'è la banda video. Il costo dei transistori speciali è molto elevato: Le unità selezionate a basso rumore non sono in generale facilmente accessibili. Solo in questi ultimi tempi alcune grandi case americane hanno posto sul mercato transistori di caratteristiche migliori soprattutto per quanto riguarda stabilità e rumore a prezzi che cominciano ad essere accessibili. Ultimo dei problemi che ha vietato — fino a poco tempo fa — l'impiego dei transistori in televisione è la necessità di un lungo lavoro di ricerca e di studio in laboratorio che

poteva essere realizzato soltanto da qualche grande casa in cui la produzione potesse essere trascurata e potesse avere importanza sufficiente già la sola risoluzione del problema. Recentemente sono stati posti sul mercato internazionale nuovi transistori chiamati drift transistor di tipo p-n-p dei quali il tipo principale è il 2N247 della RCA. Il transistor 2N247 è un transistor drift del tipo a giunzione di germanio p-n-p realizzato particolarmente per l'amplificazione a radio frequenza in apparecchiature militari e commerciali, e in ricevitori speciali che funzionano a frequenze comprese nel campo delle onde medie ed onde corte.

Questi transistori però, per il loro basso rumore, la loro stabilità e il loro alto limite di taglio in frequenza possono essere con successo utilizzati nei punti principali dell'impianto di televisione industriale: amplificazione video, sia di telecamera che di monitor, sia per la produzione di speciali segnali ad onda quadra. La differenza che esiste tra il tipo 2N247 e gli altri transistori è che per la prima volta è utilizzata in esso la tecnica di inserire in una certa regione della base una distribuzione di impurità esattamente controllata, in modo da produrre un campo d'accelerazione interno. Questo campo d'accelerazione favorisce lo spostamento della corrente dall'emissore al collettore in modo diverso per regolarità a tutti gli altri transistori convenzionali, con il risultato che la resistenza di base e la capacità di transizione del collettore vengono fortemente ridotte. Un'altra importante modifica, che contribuisce a rendere molto interessante il nuovo transistor nel campo delle frequenze più elevate, è la presenza di uno schermo esterno

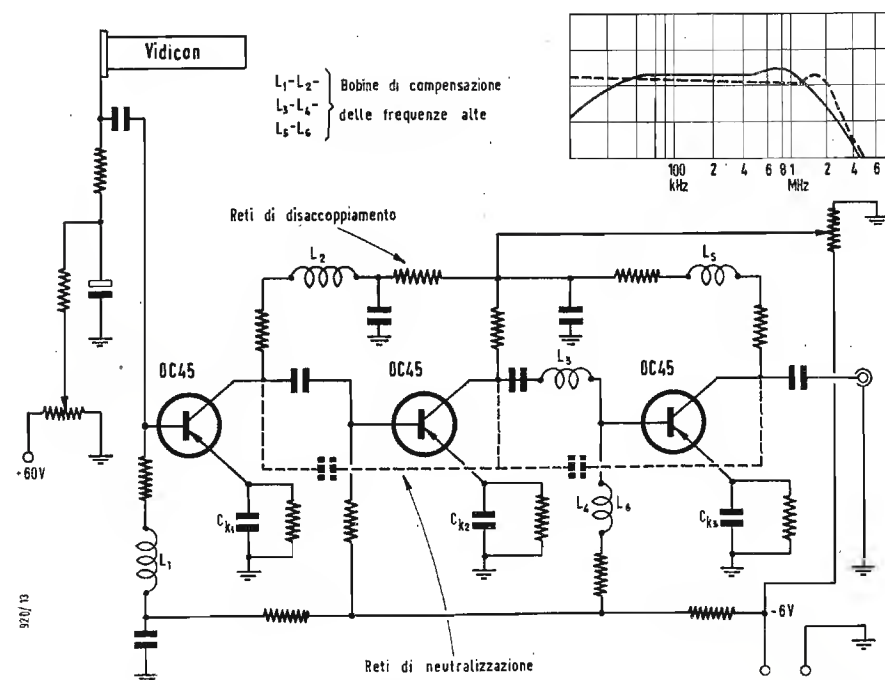


Fig. 9 - Circuito sperimentale amplificatore video di telecamera realizzato con transistori. La banda passante prevista è di 2 MHz  $\pm$  2 dB.

facente capo ad un opportuno collegamento. Esso tende a rendere minime le possibilità di accoppiamento con i circuiti adiacenti e mantenere basse le capacità tra gli stadi evitando così

utilizzato con vantaggio nella realizzazione di preamplificatori video di telecamera a basso rumore e forte guadagno. In questo modo il problema della miniaturizzazione della telecamera

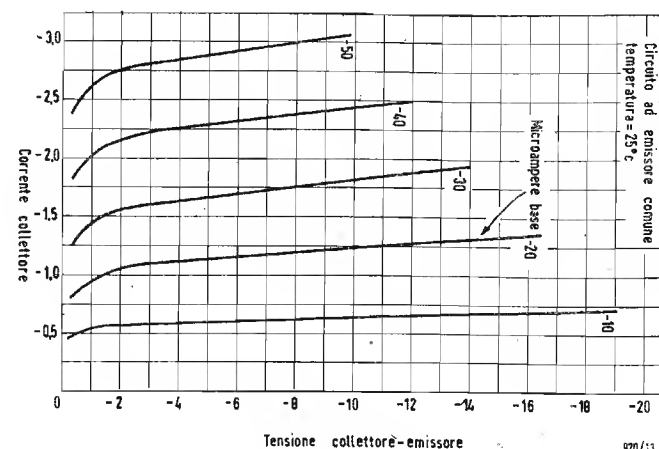


Fig. 10 - Caratteristiche di collettore medie del «drift transistor» 2N247.

gli accoppiamenti tra i terminali di collegamento. Montato in circuito ad emissor comune con ingresso sulla base questo transistor dà un guadagno in potenza di circa 45 dB a 1,5 MHz e 24 dB a 10,7 MHz. La bassa capacità di transizione del collettore, che è appena di 1,7 pF, rende possibile ottenere un buon guadagno nel campo delle frequenze basse e delle frequenze medio alte senza che sia necessario introdurre una rete di neutralizzazione. Le caratteristiche eccellenti di questo transistor fanno sì che esso possa essere

stessa viene ad essere praticamente risolto. Le caratteristiche del transistor descritto sono illustrate nella Tabella 1 mentre le fig. 10 e 11 riportano le caratteristiche medie dei tipi 2N247.

#### 4. - TELECAMERA A TRANSISTORI.

La telecamera realizzata a transistori comprende il preamplificatore video, lo stadio amplificatore del segnale di cancellazione composito, e l'equipaggiamento di focalizzazione e deflessione

del vidicon miniatura. Lo schema a blocchi è illustrato nella fig. 12. La parte principale della telecamera è il preamplificatore, completamente realizzato con transistori di tipo drift e

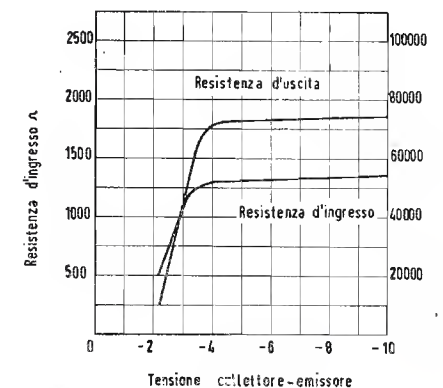
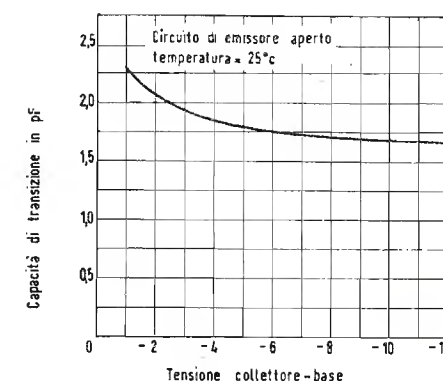


Fig. 11 - Caratteristiche medie del transistor 2N247.

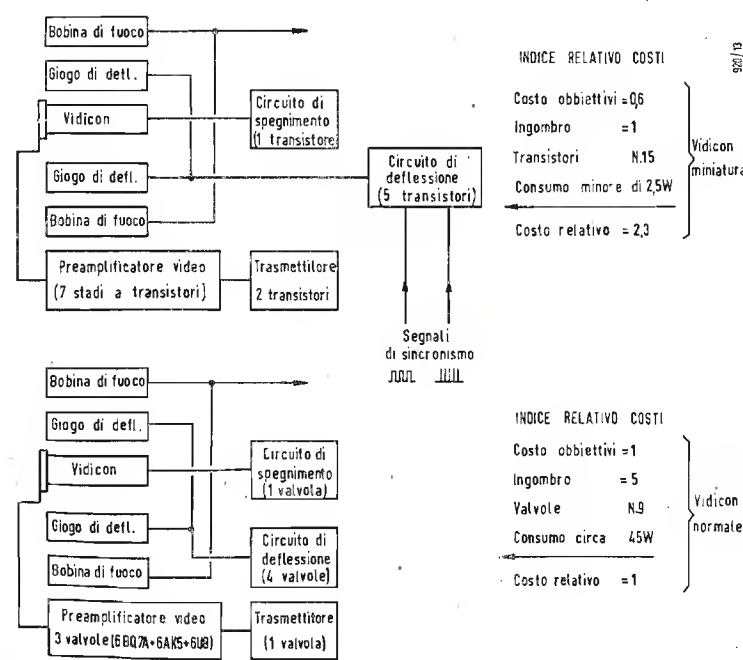


Fig. 12 - Confronto tra telecamere a valvole e a transistori. Numero di elementi, consumo e costo relativo sono riportati a destra.



## CARATTERISTICHE DEL "DRIFT TRANSISTOR" 2N247 RCA

|                                      |                  |
|--------------------------------------|------------------|
| Tensione di collettore               | —35 V max        |
| Tensione cc Emissore - Base          | — 1 V max        |
| Corrente di collettore (cc)          | —10 mA max       |
| Corrente d'emissore                  | 10 mA max        |
| Dissipazione di collettore (a 70 °C) | 35 mW max        |
| Campo di funzionam. temperatura      | da—55 a + 85 °C. |

|  |                |
|--|----------------|
| Tensione cc Collettore-Emissore                      | — 9 V          |
| Corrente cc di Collettore                            | — 1 mA         |
| Rapporto di trasferimento in corrente                | — 60           |
| Tensione cc Base - Emissore                          | — 0,2 V        |
| Resistenza d'ingresso (Base)                         | 1.350 $\Omega$ |
| Resistenza d'uscita                                  | 70 k $\Omega$  |
| Guadagno in potenza                                  | 45 dB          |
| Rumore proprio                                       | 8 dB           |
| Guadagno effettivo per una frequenza di 10 MHz       | 24 dB          |
| Frequenza alla quale il guadagno si riduce all'unità | 132 MHz        |
| Banda passante massima ottenibile                    | 10 MHz.        |

Il comando di guadagno dell'amplificatore video è inserito nel circuito di collettore del settimo stadio amplificatore con emittore comune, e comprende un potenziometro da 1 k $\Omega$  ed un condensatore. All'uscita del preamplificatore è disponibile un segnale video di 0,5 V pp di tensione, con un'estensione abbastanza lineare per 6 MHz. Oltre all'amplificatore video, nella camera o è inserito un tran-

**Quattro italiani tra i laureati  
della Scuola Internazionale  
di Scienza e Tecnica Nucleare  
di Chicago**

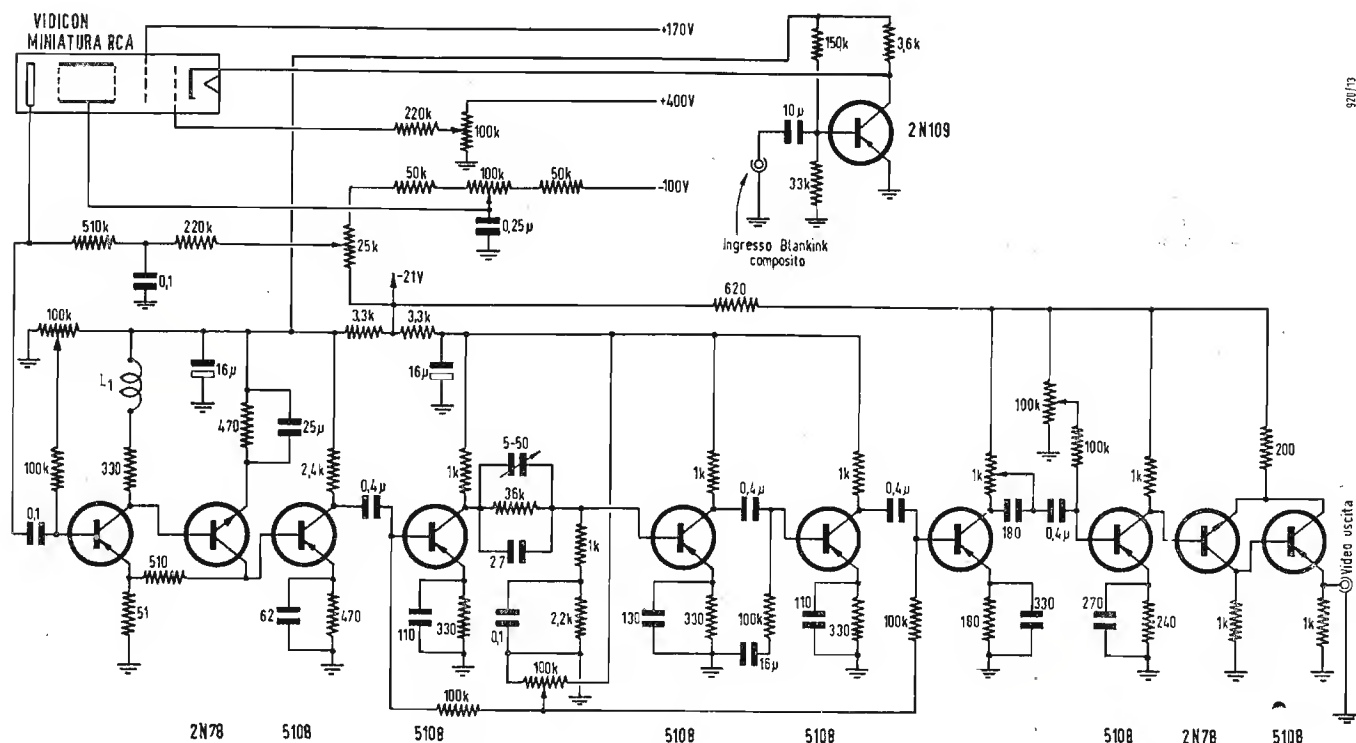
Con una cerimonia svoltasi nei giorni scorsi presso il Laboratorio Nazionale Argonne, il direttore del laboratorio Norman Hilberry ha consegnato i diplomi di laurea a 13 studenti americani a 47 di 10 paesi del mondo libero che hanno frequentato il 4° corso di perfezionamento presso la Scuola Internazionale di Scienza e Tecnica Nucleare. Tra gli studenti che hanno superato il corso con profitto figurano gli italiani Mario Bonanni, Gian Franco Castelli, Silvio Corno e Giovanni Vacchelli.

Il preside della Facoltà di Chimica dell'Università del Wisconsin, dott. Farrington Daniels, ha rivolto ai neo-laureati un breve discorso per sottolineare l'importanza dell'energia atomica e per invitarli a dedicarsi attivamente alle ricerche per lo sfruttamento dell'energia solare.

La Scuola Argonne, istituita nel marzo 1955 nel quadro del programma «Atomi per la Pace» del Presidente Eisenhower, ha già svolto quattro corsi di 9 mesi ciascuno cui hanno preso parte 162 studenti di 38 paesi e 65 americani.

I corsi, destinati al perfezionamento nella scienza e nell'ingegneria nucleare dei laureati di chimica, fisica e ingegneria dei paesi del mondo libero, sono svolti in collaborazione con l'Università Statale della Pennsylvania e con l'Istituto Superiore Statale del North Carolina.

(u.s.)

326 *Luglio 1957*

**Dispositivo di correzione dell'errore di quadrante per antenne magnetiche.**

**Perfezionamenti ai tubi elettronici.**  
Eitel McCullough Inc. a San Bruno California (S.U.A.) (10-3218)

**Apparecchio di televisione a colori.**  
International Standard Electric Corporation  
New York (S.U.A.) (12-2642)

**Ing. A. RACHELI Ing. R. BOSSI & C.**  
Studio Tecnico per deposito brevetti di  
Invenzione, Modelli, Marchi, Diritto di  
Autore, Ricerche, Consulenza.  
Milano - Via Pietro Verri 6 - Tel. 700.018  
792.288



# Stabilizzazione del Punto di Lavoro dei

## 1. - INTRODUZIONE.

Prima di affrontare il problema della stabilizzazione del punto di funzionamento dei transistori, vengono prima brevemente discussi i due tipi principali di circuiti amplificatori a transistori: quello con base a terra e quello con emettitore a terra.

### 1.1. - Circuito con base a terra.

La fig. 1 mostra un circuito con base a terra in cui viene amplificato il segnale di uscita di un microfono e l'uscita dell'amplificatore è una resistenza di carico  $R_L$ .

Si usano i trasformatori di adattamento di ingresso e di uscita  $T_1$   $T_2$  per ottenere il massimo guadagno.

Il punto di lavoro del transistor è determinato dalle tensioni  $V_1$  e  $V_2$  e dalla resistenza  $R_b$ .

La funzione di  $R_b$  in questo tipo di connessione è particolarmente importante perché il punto di lavoro è determinato principalmente dalla corrente continua  $I_c$  e dell'emettitore.

Poiché la resistenza di ingresso del transistor  $r_i$ , che può essere dell'ordine di 50  $\Omega$ , dipende da molti fattori ed è soggetta a grandi variazioni, il punto di lavoro deve essere fissato connettendo una resistenza  $R_b$  in serie di almeno 1000  $\Omega$ . In tal caso la corrente dell'emettitore è determinata unicamente dalla tensione  $v_1$  e dalla resistenza  $R_b$  e non viene più a dipendere dalle proprietà del transistor.

La relazione fra la corrente del collettore  $I_c$  e la corrente dell'emettitore

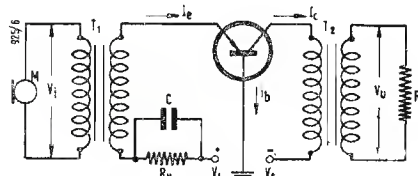


Fig. 1 - Amplificatore di un microfono con transistor con base a terra.

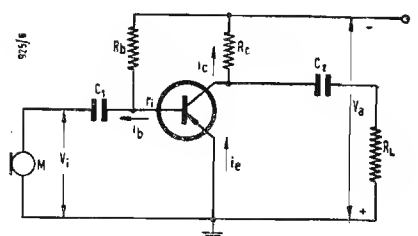


Fig. 2 - Amplificatore di un microfono con transistor con emettitore a terra.

$I_c$ , nella connessione con base a terra è data da:

$$I_c = \alpha I_e + I_{co} \quad [1]$$

dove  $\alpha$  è il fattore di trasferimento. Sarebbe improprio chiamare  $\alpha$  fattore di amplificazione perché esso è più piccolo di 1 e varia da 0,97 a 0,985, a seconda del tipo di transistor usato.  $I_{co}$  è la corrente di perdita che fluisce dalla base al collettore, dipende dalla temperatura e non influisce direttamente il processo di amplificazione. Questa corrente di perdita sarà per ora ignorata sebbene un'ulteriore esame mostrerà che essa è la causa dell'effetto di temperatura che è discusso più avanti.

L'equazione [1] vale per le correnti continue, e dato che  $I_{co}$  è una costante, l'equazione corrispondente in c.a. sarà:

$$i_c = \alpha i_e \quad [2]$$

La relazione lineare [2] rimane valida fino a che si ha a che fare con segnali di piccola ampiezza. Bisogna pure che la frequenza di lavoro non superi la frequenza di taglio del transistor, poiché il guadagno, nei transistori, dipende dalla disposizione degli elettrodi ed esso cade alle frequenze più alte. Questo fenomeno dipende, fra le altre cause, dal tempo di ritardo delle «cavità» e degli elettrodi.

La frequenza di taglio per transistori ad audio frequenza è dell'ordine dei 10 ÷ 50 kHz, e per transistori a radio frequenza è dell'ordine di 1 ÷ 20 MHz.

Per eliminare l'effetto della resistenza  $R_b$  sul guadagno in c.a., si usa il condensatore  $C$ .

Se si fa il caso pratico in cui l'impedenza del microfono sia di 600  $\Omega$ , l'impedenza d'ingresso del transistor in c.a.  $r_i = 50 \Omega$ , l'impedenza di uscita  $r_o = 500 \text{ k}\Omega$  e  $R_L = 600 \Omega$ , e se, per semplificare le cose, si fa  $\alpha = 1$ , allora la tensione del microfono  $v_i$ , con un corretto adattamento di impedenza, sarà amplificata di 100 volte,  $v_u = 100 v_i$ , cioè il guadagno sarà di 40 dB.

In realtà la costruzione di un trasformatore di uscita con una impedenza di 500 k $\Omega$ , presenterebbe delle difficoltà, e quindi non si può in pratica ottenere un guadagno di tale ordine. Con un trasformatore che avesse 20.000  $\Omega$  di impedenza, che è un valore realizzabile, si otterrebbe un guadagno di 26 dB.

### 1.2. - Circuito con emettitore a terra.

La fig. 2 mostra l'amplificatore di

un microfono con un transistor connesso con emettitore a terra. Confrontando con il circuito di fig. 1, si vede che non sono stati usati trasformatori di adattamento, e che è necessaria una sola sorgente di tensione.

È per questi due vantaggi che il circuito con emettitore a terra è usualmente preferito al circuito con base a terra, anche se il primo è molto più sensibile alle variazioni di temperatura, argomento che tratteremo più avanti.

Non è male però osservare fin da ora che nel circuito di figura 2 la corrente di base viene tramite la resistenza  $R_b$  di alto valore, per cui la corrente di base è indipendente dalla bassa resistenza di ingresso di base.

Dall'equazione [1] e dalla:

$$I_e = I_b + I_c \quad [3]$$

che è una conseguenza delle leggi di Kirchhoff, si ottiene:

$$I_c = \alpha/(1-\alpha) I_b + I_{co}/(1-\alpha) \quad [4]$$

La quantità  $\alpha/(1-\alpha)$  viene definita con fattore di amplificazione. Per valori di  $\alpha$  che vanno da 0,97 a 0,985,  $\alpha/(1-\alpha)$  va da 32 a 66.

Limitatamente ai valori in c.a., l'equazione [4] diventa:

$$i_c = \alpha' i_b \quad [5]$$

Nel circuito con emettitore a terra l'impedenza di ingresso è notevolmente più alta che non nel circuito con base a terra, mentre, al contrario, l'impedenza di uscita è notevolmente più bassa. In entrambi i casi i valori differiscono di un fattore  $\alpha'$  (2). Se si fa il caso pratico in cui  $\alpha' = 60$ ,  $r_i = 300 \Omega$  e  $R_L = 600 \Omega$  allora da

$$i_b = \frac{v_i}{r_i} \quad \text{e} \quad v_u = i_c R_L = \alpha' i_b R_L =$$

$$= \alpha' R_L v_i / r_i \quad \text{si può calcolare il guadagno di tensione:}$$

$$\frac{v_u}{v_i} = \frac{\alpha' R_L}{r_i} = 60 \times \frac{600}{3000} = 12$$

mentre il guadagno di potenza è:

$$\alpha' \times 12 = 720 \quad \text{o} \quad 28,5 \text{ dB}$$

cioè leggermente più grande di quello che si può ottenere con il circuito con base a terra.

## 2. - EFFETTO DELLA TEMPERATURA.

Nelle equazioni usate fino ad ora è sempre stato trascurata l'influenza della corrente di perdita  $I_{co}$ .

# Transistori\*

È perfettamente plausibile fare questo a temperatura ambiente, perché in queste condizioni  $I_{co}$  è trascurabile rispetto alle altre componenti.

Ma poiché la corrente di perdita,  $I_{co}$ , è proporzionale a una funzione esponenziale della temperatura, è chiaro che non la si può ignorare a più alte temperature.

Esaminiamo ora questa questione:

### 2.1. - La corrente di perdita del collettore.

Il valore della corrente di perdita del collettore  $I_{co}$  nella equazione [1] va da 5 a 10  $\mu\text{A}$ , mentre  $I_c$  assume valori di molti mA. L'effetto di  $I_{co}$  è perciò completamente trascurabile. La corrente di perdita del collettore aumenta di un fattore di 2,2 per 10°C ed è perciò solo a 70° o 80°C che essa raggiunge un valore che è paragonabile con  $I_c$ .

Per temperature inferiori a 70°C quindi il circuito con base a terra non presenta difficoltà, e per esso l'equazione [1] rappresenta una buona approssimazione.

La variazione di  $I_{co}$  con la temperatura è data nella seguente tabella:

|                             |     |     |     |      |      |     |     |
|-----------------------------|-----|-----|-----|------|------|-----|-----|
| Temperatura:                | 20° | 30° | 40° | 50°  | 60°  | 70° | 80° |
| Fattore di moltiplicazione: | 1   | 2,2 | 4,8 | 10,6 | 23,5 | 52  | 113 |

Nel circuito con emettitore a terra l'effetto delle variazioni di temperatura sulla corrente di perdita del collettore è molto più grande. Questo diviene evidente quando esaminiamo l'equazione [4] dopo averci introdotto il fattore  $\alpha'$ :

$$I_c = (\alpha' + 1) I_{co} + \alpha' I_b \quad [4']$$

In questa equazione il fattore  $\alpha' + 1$ , ha, come si è visto, almeno il valore 50. Poiché la corrente di base  $I_b$ , nel circuito di fig. 2, è costante a causa dell'alto valore della resistenza  $R_b$  in serie, ne segue dall'equazione [4'] che una leggera variazione  $\Delta I_{co}$  della corrente  $I_{co}$  produrrà una variazione  $\Delta I_c$  nella corrente del collettore data da:

$$\Delta I_c = (\alpha' + 1) \Delta I_{co}$$

La componente  $(\alpha' + 1) I_{co}$  della corrente del collettore nella equazione [4'] può essere anche designata come la corrente apparente di perdita  $I'_{co}$ . Con ciò l'equazione [6] prende la forma:

$$\Delta I_c = \Delta I'_{co} \quad [6']$$

Questa variazione non può essere trascurata neppure a temperature leggermente superiori a quella ambiente.

(\*) CRAWFORD, A., Transistor Operating Point Stabilization, Philips Telecommunication Review, gennaio 1957, XVII, 3, pag. 100.

Le conseguenze di tale variazione possono essere esaminate sulla fig. 3 in cui sono riportate un certo numero di caratteristiche  $I_c/v_c$  in corrispondenza di vari valori della corrente di base  $I_b$ . Le caratteristiche a tratto intero sono valide per la temperatura ambiente.

La figura riporta anche una retta di carico corrispondente ad una resistenza esterna di carico  $R_L = v_{cm}/I_{cm}$ . Il punto di lavoro  $P$  è stato scelto in modo che esso si trovi nel mezzo della retta di carico, così la corrente del collettore può variare da circa zero a circa  $I_{cm}$ , e la tensione del collettore da circa  $V_{cm}$  a circa zero, in modo da avere in uscita la massima potenza ottenibile senza distorsione. Se, per un aumento di temperatura la corrente  $I_{co}$  aumenta di una quantità  $\Delta I_{co}$ , la corrente del collettore  $I_c$  aumenterà di  $(\alpha' + 1) \Delta I_{co} = \Delta I'_{co}$  per tutti i valori della corrente di base.

In altre parole l'intera serie di caratteristiche viene spostata verso il basso di tale quantità.

Le caratteristiche spostate sono rappresentate dalle curve tratteggiate di

una sola sorgente di tensione, giustificano la ricerca di metodi di stabilizzazione, metodi che ora saranno illustrati.

## 3. - METODI DI STABILIZZAZIONE DEL PUNTO DI LAVORO

Per rendere possibile l'uso di transistori al germanio, anche a temperature relativamente alte occorre applicare sistemi di stabilizzazione, me-

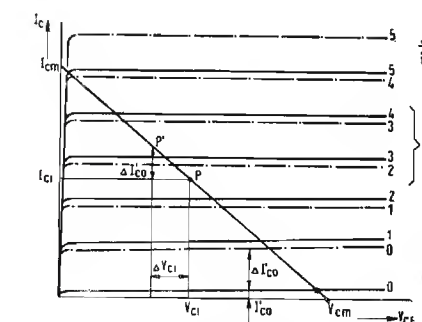


Fig. 3 - Serie di caratteristiche  $I_c - V_{ce}$  e per vari valori della corrente di base  $I_b$ . Le linee a tratto intero valgono per temperatura ambiente, le linee tratteggiate per temperatura più alta. Il punto di lavoro  $P$  è segnato sulla linea di carico.

dante i quali il punto di lavoro sia reso indipendente dalla variazione di temperatura. I migliori risultati si sono ottenuti con la reazione negativa in corrente continua, poiché essa agisce automaticamente ed è indipendente dai parametri del transistor. È possibile usare circuiti di compensazione in cui le variazioni di un transistor sono bilanciate dalle variazioni di un secondo transistor, ma tali sistemi non sono indipendenti dalle particolari caratteristiche del transistor. Gli stessi inconvenienti si hanno con elementi che dipendono dalla temperatura come i diodi o le resistenze NTC (resistenze con gradiente di temperatura negativo, o termistori).

### 3.1. - Grado di stabilizzazione.

Per prima cosa è conveniente definire cosa si intenda per grado di stabilizzazione. Per fare ciò bisogna tenere presente che la cosa più importante è quella di mantenere il punto di lavoro il più possibile al centro del campo di lavoro. Nel presentare la fig. 3 del paragrafo 2.1., si è osservato che la corrente del collettore può variare da circa zero a circa  $I_{cm}$ . Se si esamina però l'equazione [1], si vede che la corrente del collettore non può mai raggiungere il valore zero, poiché vi è il termine costante  $I_{co}$ , a meno che il termine  $\alpha I_e$  non diventi negativo.

Ma, a causa dell'effetto di blocco della giunzione emettitore-base,  $I_e$  non può mai essere inferiore a zero e quindi  $I_c$  non può essere mai inferiore a  $I_{co}$ .



La corrente  $I_{co}$  costituisce quindi il limite inferiore del campo di variazione della corrente del collettore, ed essa varia con la temperatura. Anche il limite superiore, costituito da  $I_{cm}$  varia con la temperatura, ma le sue variazioni sono così piccole che, rispetto a quelle di  $I_{co}$ , possono essere trascurate.

La variazione della corrente del collettore che deve essere compensata è  $\Delta I_c = (\alpha' + 1) \Delta I_{co}$ .

Ma si deve anche tenere conto che, con l'aumento di temperatura il campo di variazione della corrente del collet-

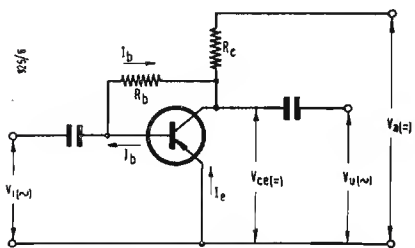


Fig. 4 - Metodo di stabilizzazione di un amplificatore con emettitore a terra. Questo metodo utilizza la diminuzione della tensione di collettore, provocata da un aumento della corrente nel collettore.

ore è stato ridotto di  $\Delta I_{co}$  e che quindi il centro di tale campo è stato spostato di  $\frac{1}{2} \Delta I_{co}$ . Per portare nuovamente il punto di lavoro, si deve applicare una compensazione:

$$(\alpha' + 1) \Delta I_{co} - \frac{1}{2} \Delta I_{co} = (\alpha' + \frac{1}{2}) \Delta I_{co}$$

### 3.2. - Limite di stabilizzazione.

Alla temperatura di 80 °C e oltre, l'aumento della corrente del collettore è tale che essa assume valori che sono dello stesso ordine di grandezza della corrente di polarizzazione  $I_{ci}$  di fig. 3, in tali condizioni, malgrado la stabilizzazione, il campo di lavoro è ridotto notevolmente.

Inoltre  $I_{co}$  diventa così grande che la sua dissipazione provoca un aumento di temperatura tale da provocare instabilità; d'altra parte si può rimediare alla instabilità aumentando la resistenza di carico e cioè riducendo la corrente del collettore ma questo a sua volta porterebbe a una diminuzione della massima escursione.

Tutti questi fattori pongono un limite di temperatura entro cui possono essere usati transistori a giunzione. A temperature più alte bisogna rinunciare ad usare transistori al germanio e ricorrere a transistori al silicio. Oltre al fatto che il silicio resiste a più alte temperature che il germanio, i transistori al silicio hanno la corrente  $I_{co}$  che è 10° volte più piccola di quelli al germanio, a temperatura ambiente, e quindi, benché essi abbiano un coefficiente di temperatura leggermente più grande (circa 3 in confronto a circa 2,2), la corrente  $I_{co}$  non assume valori significativi se non a 150 °C.

I transistori al silicio perciò sono la migliore soluzione per lavorare ad alte temperature. La loro fabbricazione però presenta delle difficoltà e quindi essi non si possono ottenere nella quantità e nella varietà di tipi dei transistori al germanio, e inoltre alcune delle loro caratteristiche particolari non sono ancora state sufficientemente studiate, come invece è stato fatto per i transistori al germanio.

### 3.3. - Principio della stabilizzazione.

È già stato osservato nel paragrafo 3 che la migliore stabilizzazione si

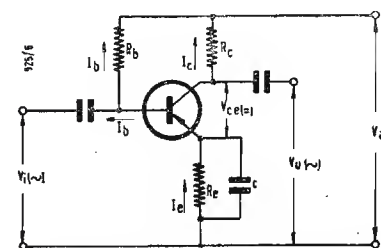


Fig. 5 - Stabilizzazione di un amplificatore con emettitore a terra, mediante una resistenza sull'emettitore.

ottiene con la reazione negativa c.c. Una variazione della corrente del collettore causata da una variazione di temperatura deve essere controbilanciata dalla reazione negativa in misura eguale alla variazione che si avrebbe nel circuito non stabilizzato, misura che è definita dalla espressione [7]. Consideriamo il circuito di fig. 2, la variazione della corrente del collettore in questo circuito è data dalle equazioni [6] e [6']. Bisogna anche notare che quando la corrente del collettore varia di  $\Delta I_c$ , la tensione fra emettitore e collettore, a causa della resistenza in serie  $R_c$ , varia di una quantità:

$$V_{ce} = -\Delta I_c R_c = -\Delta I'_{co} R_c = -(\alpha' + 1) \Delta I_{co} R_c \quad [8]$$

È possibile utilizzare la variazione di  $V_{ce}$  connettendo la resistenza  $R_b$  invece che alla batteria al collettore, come è mostrato nella fig. 4. Se  $V_{ce}$  diminuisce, in accordo alla espressione [8], quando la corrente del collettore aumenta, la tensione fra base ed emettitore diminuisce e quindi diminuisce anche la corrente di base  $I_b$ .

Questa a sua volta fa diminuire la corrente del collettore. Se si assume che  $\alpha' > 1$ ,  $V_{be} < V_{ce}$  e  $R_b > R_c$ , l'espressione [4'] può essere scritta:

$$I_c = \frac{I'_{co} R_b}{R_b + \alpha' R_c} + \frac{\alpha' V_a}{R_b + \alpha' R_c} \quad [9]$$

La variazione di  $I_c$  ora diviene:

$$\Delta I_c = \frac{\Delta I'_{co} R_b}{R_b + \alpha' R_c} \quad [10]$$

Poiché  $R_b$  è grande rispetto a  $R_c$ , e deve essere circa eguale a  $\alpha' R_c$  se si vuole ottenere la massima escursione, si vede dalla [10] che con questo metodo la variazione primitiva non può essere ridotta che della metà, il che è generalmente insufficiente. Questo circuito ha inoltre lo svantaggio che la reazione negativa applicata agisce anche sulla corrente alternata, e quindi il guadagno viene ridotto. Questo sistema è, per questi motivi, poco usato.

Se invece, come nella fig. 5, si inserisce una resistenza  $R_e$  sull'emettitore e se si assume che  $R_b > R_e$ ,

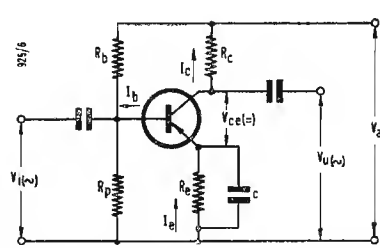


Fig. 6 - Stabilizzazione di un amplificatore con emettitore a terra, per confronto fra tensione di base e di emettitore.

$V_{be} < V_{ce}$  e  $\alpha' > 1$ , si può scrivere:

$$I_c = \frac{I'_{co} R_b}{R_b + \alpha' R_e} + \frac{\alpha' V_a}{R_b + \alpha' R_e} \quad [11]$$

e quindi la variazione di  $I_c$  diventa:

$$\Delta I_c = \frac{\Delta I'_{co} R_b}{R_b + \alpha' R_e} \quad [12]$$

Poiché in pratica vi è un limite nel valore di  $R_e$ , il grado di stabilizzazione ottenuto con questo metodo è circa lo stesso di quello ottenuto con il metodo precedente, però questo ha il

$$\Delta I_c = \frac{\Delta I'_{co} R_b}{R_b + \alpha' R_e} \quad [12]$$

vantaggio che si può evitare l'effetto sulla corrente alternata bypassando  $R_e$  con un condensatore  $C$  di alto valore.

Risultati migliori sono ottenuti con il circuito di figura 6, in esso la corrente  $I_c$  è data dalla espressione:

$$I_c = \frac{I'_{co} (K + 1)}{K \alpha'} + \frac{V_a}{K R_b} \quad [13]$$

dove:

$$K = \frac{R_e (R_b + R_p)}{R_b R_p} \quad [14]$$

L'equazione [13] è valida per  $\alpha' > 1$ ,  $V_{be} < V_{ce}$  e  $K > 1$ . Per la variazione

di  $I_c$ , si ha:

$$\Delta I_c = \frac{\Delta I'_{co} (K + 1)}{K \alpha'} \approx \frac{\Delta I_{co} (K + 1)}{K}$$

Quando  $K = 1$  la variazione primitiva è ridotta di un fattore  $\frac{1}{2} \alpha'$ , cosicché si è ottenuto un grado di stabilizzazione più alto che negli altri casi. La variazione di  $I_c$  è ora solo due volte più grande che nel caso di un circuito con base a terra. Aumentando il fattore  $K$ , il che si può ottenere riducendo le resistenze  $R_b$  e  $R_p$  o aumentando la resistenza  $R_e$ , si può guadagnare ancora un fattore di circa 2. Ma entrambi questi procedimenti presentano degli inconvenienti: la riduzione di  $R_b$  e di  $R_p$  non solo fa aumentare il consumo della batteria, ma fa anche diminuire il guadagno in c.a., perché parte della corrente alternata di ingresso viene bypassata dal parallelo di  $R_b$  e  $R_p$ ; aumentando invece  $R_e$  si ha una diminuzione della tensione c.c. utilizzabile fra collettore ed emettitore.

Per queste ragioni il fattore  $K$  in pratica viene scelto approssimativamente eguale ad 1, anche perché in

generale una stabilizzazione con un fattore  $\frac{1}{2} \alpha'$  è sufficiente.

Se la tensione della batteria è abbastanza grande, per un corretto funzionamento del circuito  $R_b$  deve essere scelto grande rispetto a  $R_p$ , e in questo caso si deve avere  $R_b \approx R_e$  per avere  $K = 1$ .

Poiché, in accordo con le caratteristiche del transistor, la tensione c.c.  $V_{be}$  fra base ed emettitore è sempre piccola rispetto alla tensione c.c.  $V_{ce}$  fra collettore ed emettitore e rispetto alla tensione ai capi della resistenza di polarizzazione, la caduta ai capi di  $R_p$  è approssimativamente eguale a quella ai capi di  $R_e$ , il che vuol dire che la corrente attraverso  $R_p$  è circa eguale a quella attraverso  $R_e$ . Il consumo di batteria con questo circuito stabilizzato è perciò circa il doppio di quello con il circuito non stabilizzato.

La tensione  $V_{be}$ , fra base ed emettitore, è trascurabile rispetto alle altre tensioni in giuoco, solo se  $R_e$  è sufficientemente grande, cioè circa 1000  $\Omega$ .

Se  $R_e$  è molto più piccolo di tale valore le variazioni di  $V_{be}$ , che è sensibilissima alle variazioni di temperatura

( $V_{be}$  diminuisce quando la temperatura aumenta e può anche diventare positiva) hanno un effetto dannoso sulla stabilizzazione del circuito. Questo effetto tuttavia può essere ignorato se  $R_e$  è abbastanza grande.

Si può anche scegliere un alto valore per  $R_p$ , e ciò ha un effetto favorevole sul guadagno in c.a.

Questo sistema di stabilizzazione quindi da buoni risultati, anche se si ha un maggior consumo di batteria e una certa diminuzione del guadagno; ma se tuttavia si scelgono valori opportuni di  $R_b$  e  $R_p$ , anche in relazione all'impedenza di ingresso del transistor, la diminuzione del guadagno è solo di 4 o 5 dB, il che è del tutto accettabile.

### 4. - BIBLIOGRAFIA.

- 1) CRAMWINCKEL A., Brief review of the physical and electrical properties of the transistor, *Comm. News XVI*, 84, 1956.
- 2) WALLACE, R. L. e PIETENPOL, W. J., Some circuit properties and applications of n-p-n transistors, *Proc. IRE*, 39, 753, 1951.

(dott. ing. Idalgo Macchiarini)

## Alimentatore Stabilizzato per 500 W\*

Tensione regolabile con continuità tra 800 e 1000 V, erogazione massima 500 mA, stabilizzazione contenuta entro il  $\pm 2\%$  per variazioni di rete di  $\pm 15\%$  e per variazioni di carico di  $\pm 100\%$ .

### 1. - INTRODUZIONE.

La maggior parte degli apparecchi utilizzati in fisica sperimentale necessitano per il loro funzionamento corretto di sorgenti di alimentazione avente un'ottima stabilità. La variazione di tensione d'alimentazione nel corso di una misura può in effetti tradursi in errori non trascurabili. La grandezza della tensione di alimentazione è fissata dalle caratteristiche degli apparecchi che vengono utilizzati; essa generalmente deve essere regolabile in misura assai larga. In quanto al valore ammesso per le fluttuazioni di questa tensione, sia in funzione di variazioni della sorgente principale

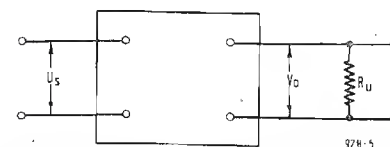


Fig. 1 - Schema a blocchi di una alimentazione. Il carico utile, rappresentato da  $R_u$ , è alimentato dalla tensione  $V_o$ . La tensione della sorgente di alimentazione (ad es. una rete a 50 Hz) è indicata con  $U_e$ .

(rete di distribuzione), sia in funzione del consumo assorbito dall'apparecchio utilizzatore, viene a fissare il limite degli errori tollerabili.

### 2. - GENERALITÀ.

Qualunque sia il dispositivo di alimentazione utilizzato (stabilizzato o no)

$$\frac{dV_o}{V_o} = \left[ \frac{\partial V_o}{\partial U_e} \right] \cdot \frac{U_e}{V_o} \cdot \frac{dU_e}{U_e} + \left[ \frac{\partial V_o}{\partial R_u} \right] \cdot \frac{R_u}{V_o} \cdot \frac{dR_u}{R_u};$$

l'insieme può essere rappresentato molto schematicamente dalla fig. 1. La tensione della sorgente rappresentata da  $U_e$  (rete a 50 Hz per esempio),  $R_u$  rappresenta la resistenza equivalente dell'utilizzatore e  $V_o$  la tensione ai morsetti dell'utilizzatore. Generalmente il valore di  $V_o$  per un dato montaggio dipende da  $U_e$  e da  $R_u$ , queste due ultime grandezze possono d'altra parte variare indipendentemente l'una dall'altra. Si ha quindi:  $V_o = f(U_e; R_u)$  la variazione di  $V_o$  in funzione delle possibili variazioni di  $U_e$  e di  $R_u$  può

essere rappresentata dalla differenza totale:

$$dV_o = \left[ \frac{\partial V_o}{\partial U_e} \right] dU_e + \left[ \frac{\partial V_o}{\partial R_u} \right] dR_u;$$

espressione che può scriversi sotto la forma dell'uguaglianza:

che fissano la relazione esistente fra la variazione relativa  $dV_o/V_o$  della tensione di utilizzazione e le variazioni relative  $dU_e/U_e$  della tensione della sorgente e  $dR_u/R_u$  del carico.

I coefficienti:

$$S_1 = \frac{1}{\left[ \frac{\partial V_o}{\partial U_e} \right] \cdot \frac{U_e}{V_o}};$$

(\*) YANCO, M., Alimentation Stabilisée 500 W, *Electronique Industrielle*, marzo-aprile 1957, 13, pag. 32.



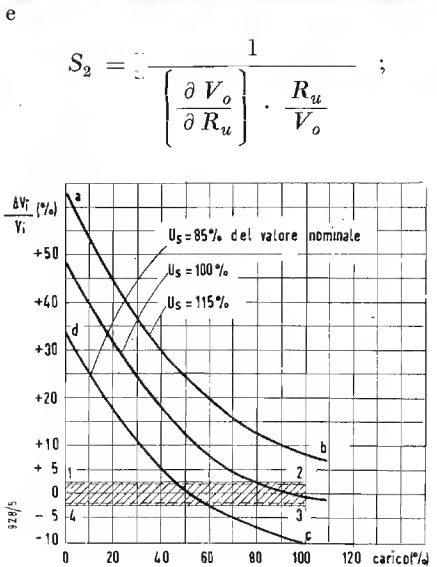


Fig. 2 - Percentuale di variazione della tensione all'uscita di un raddrizzatore in funzione della variazione di carico. Le curve sono tracciate per diversi valori della tensione di alimentazione.

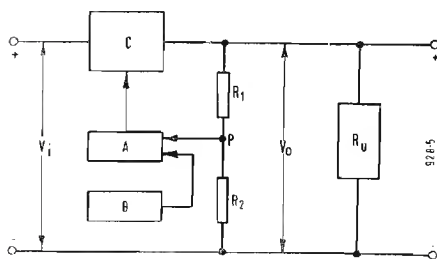


Fig. 3 - Schema a blocchi di un circuito di stabilizzazione.  $V_i$  = tensione raddrizzata non stabilizzata;  $V_o$  = tensione stabilizzata; B = elemento di riferimento; A = amplificatore; C = elemento di regolazione.

definiscono le caratteristiche di stabilizzazione dell'alimentazione considerata.

Allorché le esigenze imposte dalla stabilità di funzionamento della alimentazione saranno tanto più severe quanto più i coefficienti  $S_1$  ed  $S_2$  dovranno essere grandi. Viene descritto appresso in linea generale la realizzazione di una alimentazione stabilizzata capace di erogare una potenza utile di 0,5 kW e avente le seguenti caratteristiche:

- 1) tensione di alimentazione progressivamente regolabile fra 800 e 1000 V (corrente continua);
- 2) corrente erogata: 0,5 A.
- 3) tensione di utilizzazione stabilizzata entro una percentuale uguale o minore del più o meno 2 % per delle variazioni simultanee di:
  - a) più o meno 15 % della tensione di rete;
  - b) più 0 e meno 100 % della corrente erogata.

Per meglio presentare ai lettori le condizioni poste al funzionamento di

questo apparecchio sono state riprodotte in fig. 2 le curve di variazione della tensione di uscita  $V_i$  di una alimentazione non stabilizzata di ugual potenza in funzione delle variazioni del carico. Queste curve sono state tracciate per tre valori di tensioni di rete d'alimentazione: nominale, più il 15 % e nominale meno il 15 %. Le variazioni sono espresse in centesimi del valore medio corrispondente al pieno carico e la rete considerata nel valore nominale. Seguendo le variazioni del carico e della tensione di rete il punto di funzionamento di un tale alimentatore si sposta nell'interno della zona segnata con  $a b c d$ . Se ci si riporta alle specifiche precedentemente enunciate, gli spostamenti nel punto di funzionamento dovranno essere limitati alla zona 1, 2, 3, e 4. L'azione del dispositivo di stabilizzazione deve dunque produrre una compressione notevole della zona d'evoluzione del punto di funzionamento.

### 3. - PRINCIPIO DELLA STABILIZZAZIONE.

Lo schema a blocchi scelto per questa realizzazione per la parte di regolazione di questa alimentazione è riprodotto nella fig. 3. È del tipo a regolazione serie, la resistenza interna variabile dell'elemento «C» si trova in serie con la resistenza  $R_u$  che rappresenta l'utilizzatore. Una frazione della tensione di uscita prelevata dal punto P, è confrontata con una tensione di riferimento fornita dall'elemento B. Lo scarto fra queste due tensioni (tensione di errore), comanda il funzionamento dell'amplificatore «A» il quale a sua

volta agisce sull'elemento regolatore «C» frapponendo fra la sorgente della tensione non stabilizzata  $V_i$  e i morsetti di utilizzazione. In questo modo, il valore della tensione di errore è sempre mantenuto prossimo a zero. Si può quindi dire che l'azione della regolazione si traduce a causa del mantenimento di una uguaglianza fra la tensione di riferimento e la tensione del punto P. Sia  $V_b$  il valore della tensione di riferimento. Si avrà sempre:

$$V_o = V_b \left[ \frac{R_1 + R_2}{R_1} \right]$$

da cui si potranno trarre due conclusioni:

- 1) per un rapporto  $R_1/R_2$  dato,  $V_o$  è mantenuto invariabile (effetto di stabilizzazione);
- 2) facendo variare il rapporto  $R_1$  diviso  $R_2$  si può molto facilmente far variare il valore di  $V_o$ . Nell'apparecchio descritto (fig. 4), il compito di elemento regolatore è affidato alla resistenza interna di un raggruppamento di tubi di tipo EL38 collegati in parallelo ( $L_1$ ). Le griglie di questi tubi sono collegate direttamente alla placca di un pentodo ( $L_2$ ) che fornisce l'amplificazione necessaria del segnale di errore. L'elemento che fornisce la tensione di riferimento è costituito da un gruppo di tubi stabilizzatori di tensione che fissa il potenziale del catodo del pentodo amplificatore. È evidente che in questo modo la regolazione che preleva il segnale di controllo a partire dalla tensione di uscita, implica necessariamente l'esistenza

stenza della tensione di utilizzazione. La stabilizzazione ottenuta non è dunque teoricamente mai perfetta, all'incontro, la regolazione controbilancia altrettanto bene gli effetti di variazione della tensione di rete che si pro-

dove  $Kd$  designa il coefficiente di amplificazione dinamico del tubo  $L_1$ . Si trova ugualmente:

$$\frac{\Delta V_o}{\Delta R} = \frac{V_o (R + \varrho_2)}{R^2 \mu_2 P K d_1}$$

| Tensione rete<br>in % del<br>valore nominale                    | 100 %<br>$\frac{\Delta U_s}{U_s} = 0$ |         | 115 %<br>$\frac{\Delta U_s}{U_s} = + 15\%$ |         | 85 %<br>$\frac{\Delta U_s}{U_s} = - 15\%$ |     |
|---|---------------------------------------|---------|--|---------|---|-----|
| Corrente in mA  | 500                                   | 0       | 500  | 0       | 500                                       | 0   |
| $\Delta V_o$ (variazioni<br>in volt della<br>tensione di uscita | 0                                     | +12     | —20  | +3      | +18                                       | +20 |
| Scarto in %   | 0%                                    | + 1,2 % | — 2 %                                      | + 0,3 % | + 1,8 %                                   | +2% |

ducono per via delle variazioni di assorbimento determinate dall'utilizzatore. Come in tutti i dispositivi autoregolati il circuito di regolazione deve essere dimensionato in maniera tale da evitare fenomeni di pendolazione. Nella realizzazione qui descritta non si sono dovuti lamentare fenomeni del genere.

### 4. - CALCOLO DEI COEFFICIENTI DI STABILIZZAZIONE.

Lo studio matematico dettagliato dei circuiti permette di calcolare il valore dei coefficienti di stabilizzazione precedentemente definiti. Ci si riferisca alle indicazioni riportate sulla fig. 4 e si ponga con  $R$  la resistenza equivalente risultante dal parallelo della resistenza di utilizzazione  $R_u$  e della catena potenziometrica  $R_1 - R_2$ , il cui assorbimento non è sempre trascurabile. Venga inoltre designato con  $\Delta V_1$  e con  $\Delta V_o$  le variazioni di tensione all'ingresso e all'uscita del dispositivo di stabilizzazione. La soluzione di questo calcolo dà il seguente risultato:

$$\frac{\Delta V_1}{\Delta V_o} = \frac{1}{R \cdot (R_a + \varrho_1)} \times [(R + \varrho_2) (R_a + \varrho_1) + R \cdot R_a \mu_1 \mu_2 P]$$

dove i termini  $\mu_1$ ,  $\mu_2$  e  $\varrho_1$ ,  $\varrho_2$  sono i coefficienti di amplificazione e le resistenze interne dei tubi  $L_1$  e  $L_2$ ;  $P$  è definito da:

$$P = \frac{R_2}{R_1 + R_2}$$

operando qualche approssimazione questa espressione può scriversi sotto la formula semplificata:

$$\frac{\Delta V_1}{\Delta V_o} = P \mu_2 \cdot K d_1 ;$$

Per calcolare i coefficienti  $S_1$  e  $S_2$  definiti all'inizio di questo articolo e che caratterizzano tutto il funzionamento dell'intera apparecchiatura bisogna tener conto della legge che lega le variazioni  $\Delta V_1$  a quelle  $\Delta U_s$  della rete, legge indicata dalla fig. 2. In più degli elementi essenziali indicati sullo schema di fig. 4. L'apparecchio completo comporta una serie di tele-ruttori e relè di sicurezza. La fig. 5 indica l'aspetto generale dell'insieme completo.

### 5. - RISULTATI OTTENUTI.

Le prove di questa apparecchiatura sono state effettuate nella maniera seguente: la tensione  $U_s$  della rete è stata portata al valore nominale (100%), è stata regolata la tensione  $V_o$  a 1000 V per una erogazione di corrente pari a 0,5 A, nell'utilizzazione. Si è fatto variare quindi la tensione della rete del più o meno 15 %. Simultaneamente è stata fatta variare la corrente erogata fra un valore massimo di 0,5 A ed un valore zero, vale a dire a vuoto. I risultati conseguiti sono indicati nella tabella qui riportata dove si nota che la variazione della tensione di uscita non sorpassa mai i limiti imposti di più o meno 2 % del suo valore nominale.

(Raoul Biancheri)

## Memorie per Calcolatrici con Diodi a Gas\*

I CONTATORI numerici richiedono delle «memorie» a due stati stabili: (aperto) e (chiuso) che nel codice numerico binario corrispondono a zero-uno. Sono adoperati largamente a tal fine dei circuiti flip-flop e dei nuclei magnetici.

### 1. - MEMORIA A UN DIODO.

Il diodo a gas, a catodo freddo, è un componente molto interessante per le calcolatrici. Richiede poca potenza, può momentaneamente tollerare grandi voltaggi, è piccolo, leggero, non si scalda, è poco costoso ed ha una vita normale di oltre 10.000 ore. Si presta inoltre ad essere collegato a uscite fotoelettriche ed elettriche con entrambe le polarità. Tuttavia quattro inconvenienti hanno impedito fino ad oggi il diffondersi del suo uso.

- 1) Soltanto una delle sue caratteristiche, il massimo voltaggio di accensione, è controllata;
- 2) le caratteristiche di ciascun individuo variano con l'uso;
- 3) il tempo di ionizzazione limita la velocità di lavoro;
- 4) è necessario un circuito chiuso per mantenere la ionizzazione.

(\*) HOLD, A.W. e FRIEDMAN, D.C., Summary Technical Report 1918, Nat. Bureau of Standards.

Il National Bureau of Standards, ha sviluppato diversi circuiti memoria a diodi a gas, con innesco e deionizzazione rapidi. I circuiti, impiegando questi diodi, possono raggiungere il costo di 10 cents per unità, paragonati al costo attuale di un dollaro per unità per i circuiti memoria tradizionali.

L'unità base del circuito a diodo è semplicemente un diodo a gas, in serie con due resistori. La corrente viene fornita al punto A (v. fig. 1). Basta collegare i punti B e C a un flip-flop, a una griglia, ecc. per far funzionare il circuito come memoria. Il principio basilare è che il potenziale di accensione di un diodo a gas è più alto del potenziale di tenuta. Di conseguenza se un voltaggio superiore al potenziale di tenuta, ma inferiore al potenziale di accensione, è applicato ad A, il diodo non si accende; B è allora al potenziale di A; C è a potenziale di massa; la valvola è allo stato zero in codice binario (come detto al principio). L'applicazione di un potenziale istantaneo positivo in A o in B — o di un potenziale negativo in C — accenderà la valvola, ponendola in stato uno del codice binario. Lo svantaggio di questo circuito è che si deve interrompere il potenziale di tenuta per

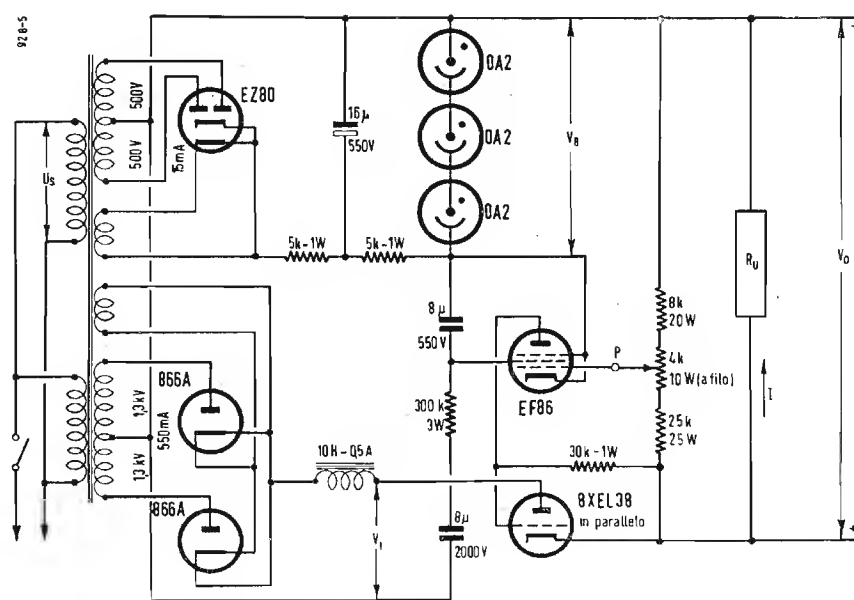


Fig. 4 - Schema completo dell'alimentazione e del circuito di regolazione adottato.



deionizzare la valvola, ed è difficile realizzare l'accesso ad una unità senza disturbare le altre. Questa difficoltà di accesso è stata affrontata cambiando l'unità statica in una unità dinamica e cioè applicando in *A* un impulso di 5 microsecondi a 100 volt ogni 100 microsecondi, anziché il potenziale continuo di tenuta. Quest'impulso non riesce ad accendere una valvola in stato *zero*, invece ri-ionizzerà una valvola in stato *uno*. Per scrivere un *uno* è necessario applicare

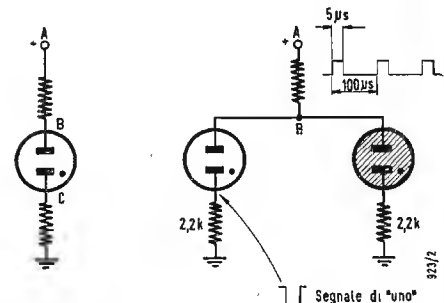


Fig. 1 - Unità base del circuito a diodo.

Fig. 2 - Unità a doppio diodo.

un impulso positivo in *B* ed un impulso negativo in *C*, simultaneamente. Dato che le due condizioni si verificano soltanto all'intersezione delle sbarre selezionate, soltanto le unità desiderate vengono trasferite in stato *uno*. Notare che *uno* è immagazzinato soltanto se una valvola è stata accesa entro gli ultimi 100 microsecondi.

Questo circuito è una memoria a senso unico; l'informazione deve essere cancellata prima che una nuova informazione possa esservi scritta.

## 2. - MEMORIA A DUE DIODI.

Una seconda innovazione è stata fatta per procurare una alta velocità di scrittura nelle due direzioni, usando una unità a doppio diodo (v. fig. 2).

Il voltaggio applicato in *A* è superiore al potenziale di accensione, di conseguenza un diodo sarà sempre passante. Per scrivere la cifra opposta, il potenziale del catodo della valvola non passante è abbassato da un impulso negativo di lavoro che causa l'accensione. Ciò provoca la caduta del punto *B* quasi a potenziale di massa (anche dopo che l'impulso negativo è cessato) di modo che il diodo che era passante incomincia a deionizzarsi. Alla fine dell'impulso di lavoro, tutta la corrente passa attraverso la valvola ora « chiusa » e l'altra rimane aperta. Dato che il sistema è simmetrico, è possibile la registrazione rapida tanto dell'uno quanto dello zero.

Il passaggio dell'uno alla zero e viceversa avviene in 5 microsecondi.

(dott. ing. Piero Nucci)

# Alimentatore Stabilizzato

IN un alimentatore stabilizzato sono normalmente impiegati, oltre al puro raddrizzatore, un tubo regolatore in serie, un tubo amplificatore destinato al pilotaggio del precedente, ed un tubo a gas come sorgente della tensione di riferimenti.

Si può pensare di sostituire al tubo amplificatore uno stadio a transistor. Lo scopo di questo stadio è di confrontare la tensione in uscita, ovvero una frazione di essa, con una tensione di riferimento.

Secondo lo schema riportato in fig. 1, una differenza fra queste due tensioni provoca una alterazione della corrente di base esistente in condizioni di equilibrio, e quindi una variazione della corrente di collettore e della tensione di controllo applicata alla griglia del tubo regolatore.

$$L' \text{ amplificazione dello stadio } \frac{\Delta V_c}{V - V_0}$$

risulta molto elevata: si impiega infatti, data la piccola corrente di lavoro, una resistenza di collettore molto elevata, di 0,5 MΩ.

La tensione amplificata è applicata alla griglia del tubo regolatore attra-

potenziometro da 20 kΩ. È infatti trascurabile la caduta di tensione fra emettitore e base.

Immaginiamo che all'uscita venga ad un certo momento applicato un carico rilevante. La tensione di uscita avrebbe la tendenza a cadere. Ma mentre ciò comincia ad avvenire, la base assume un potenziale via via più negativo rispetto all'emettitore.

Ciò provoca un aumento della corrente di collettore, che fluisce nella resistenza da 0,5 MΩ.

La tensione sulla griglia del tubo regolatore si sposta quindi verso tensioni più positive, il tubo stesso diminuisce la sua resistenza interna e permette il passaggio della maggior corrente richiesta dal carico con una caduta di tensione che resta più o meno costante.

Nello stesso modo sono anche corrette le variazioni di tensione esistente sulla rete di distribuzione. Nel caso di abbassamenti di tensione la stabilizzazione avviene fintanto che il tubo a gas rimane stabilmente innescato.

Il tubo a gas 85A2 è particolarmente studiato per essere usato quale sor-

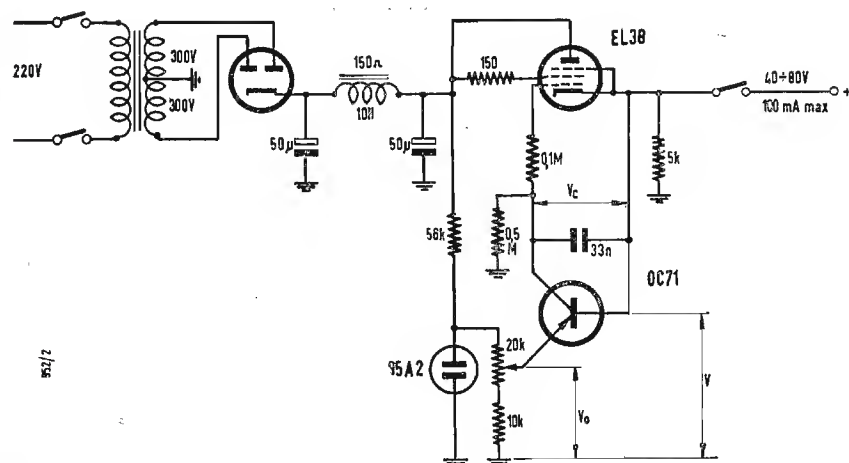


Fig. 1 - Alimentatore stabilizzato.

verso una resistenza di protezione di 0,1 MΩ.

Un condensatore da 33.000 pF, che praticamente restringe la banda dello stadio amplificatore, impedisce che, per qualche condizione di lavoro, il circuito divenga, ovvero entri in oscillazione.

La tensione stabilizzata che si ricava all'uscita ha un valore praticamente uguale alla tensione di riferimento applicata all'emettitore attraverso il

gente di tensione di riferimento, dove sovente un tempo si impiegava una pila a secco ovvero una piccola batteria di accumulatori.

Al fine di ottenere una buona costanza anche a lungo termine della tensione di scarica del tubo 85A2, si ha l'interesse di fare lavorare questo ultimo con una corrente di lavoro la più ridotta, compatibilmente con una stabile accensione.

Per stabilizzare una tensione più

# con Tubo e Transistore\*

elevata si farà uso di un altro tubo a gas con più elevata tensione di scarica, ed eventualmente di un trasformatore di alimentazione a più alta tensione di uscita.

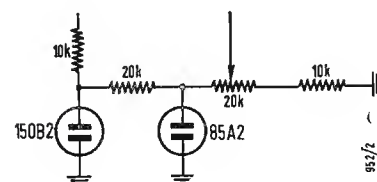


Fig. 2 - Sorgente modificata della tensione di riferimento.

Una indipendenza ancora maggiore dalle variazioni di tensione della rete può essere ottenuta se si sostituisce al semplice tubo 85A2 un circuito comprendente una doppia stabilizzazione, come è indicato in fig. 2. La 85A2 è alimentata cioè ad una tensione approssimativamente costante fornita da una 150B2.

Nello schema indicato era possibile variare la tensione di uscita fra 40 ed 80 volt. Ad un valore prefissato, variando il carico da zero a 100 mA, la tensione di uscita variava di circa 0,3 V.

Nel caso di erogazione a pieno carico (100 mA), variazioni della rete di  $\pm 10\%$  provocano una variazione della tensione di uscita di circa  $\pm 0,2$  V. La tensione di uscita risulta anche indipendentemente dalla temperatura, in quanto non dipende quasi affatto dalle caratteristiche del transistor, ma solo dalla tensione di riferimento.

Variazioni di caratteristiche del transistor si ripercuotono piuttosto sulla sensibilità del sistema e sull'estensione dell'intervallo regolato.

In vista di assicurare l'innescio del tubo a gas, è opportuno prevedere un interruttore posto sull'uscita. In tal modo è possibile l'avviamento dello stabilizzatore a vuoto, e solo quando esso funziona, il carico viene collegato.

(dott. ing. Gustavo Kuhn)

(\*) Radio Mentor, maggio 1957, 5.

## Borse di studio per l'elettronica e la radiotecnica

Domenica 9 giugno, con simpatica cerimonia, alla presenza di rappresentanti di Enti e Industrie, di insegnanti, di allievi e di famiglie, ha avuto luogo presso l'Istituto Radiotecnico in Via Circo 4, la distribuzione di 33 borse di studio per l'importo complessivo di L. 1.695.000, elargite da Enti ed Industrie a titolo di incoraggiamento agli studi elettronici e radiotecnici. La Commissione per l'assegnazione delle borse di studio aveva stabilito di convertirle in altrettanti libretti di risparmio.

Dopo aver vivamente ringraziato gli Enti e gli Industriali offerenti, il Presidente del Radiotecnico, passati in rassegna i perfezionamenti apportati nel 1956-57 al metodo sperimentale didattico che costituisce la precipua caratteristica dell'Istituto, ha segnalato le direttive di perfezionamento per l'avvenire. Dopo un caldo elogio ai giovani intelligenti e volenterosi, ma privi di mezzi di fortuna che, frequentando i corsi serali, compiono incredibili sacrifici per elevarsi sino ai vertici della tecnica, il Presidente del Radiotecnico ha comunicato che l'intero ciclo novennale di studi elettronici sarà presto una realtà poiché, ai sette anni ora esistenti, ne verranno aggiunti altri due di spinta specializzazione nei tre grandi rami dell'automazione, dell'elettronica nucleare e delle telecomunicazioni. I primi cinque anni, tanto serali quanto diurni, gli ultimi quattro serali. L'importo complessivo dei 33 libretti di risparmio era di L. 1.695.000: due (complessive lire 200.000) offerti dalla Cassa di Risparmio delle Province Lombarde; otto (L. 400.000) dalla Fiera Campionaria di Milano; una (L. 30.000) dalla Banca Popolare di Milano; quattro (lire 125.000, una borsa da L. 50.000 non assegnata,

passata all'anno 1957-58) dall'IBM-Italia; quattro (L. 170.000) dalla Olivetti-Bull; una (L. 100.000) dalla Pirelli; tre (L. 160.000) dalla RAI - Radiotelevisione Italiana; una (lire 30 mila) dalla Lesa; una (L. 60.000) dalla FIAT; otto (L. 420.000) dall'ing. Beltrami. Per elettronica stanno ora per essere iniziati i corsi sottoindicati:

1) Con inizio 7 ottobre: corso quinquennale diurno o serale per ottenimento del titolo statale di perito elettronico, per licenziati di scuola media o di avviamento professionale.

2) Con inizio 9 luglio: corso serale biennale per conseguimento di attestato statale di perfezionamento di elettronica per periti industriali (radiotecnici, elettronici, meccanici), per dottori in fisica o chimica e per ingegneri.

3) Con inizio 17 ottobre: corso serale annuale di preparazione all'esame di ammissione per chi è in possesso di maturità classica o scientifica, oppure di abilitazione tecnica o magistrale.

4) Con inizio 17 ottobre: corso serale di elettronica industriale, sezione professionale, della durata di due semestri scolastici, per elettrotecnici. Nei corsi sopracennati vengono trattati i seguenti argomenti:

Televisione - Telefonia elettronica - Radiotecnica - Radar - Servomeccanismi elettronici per tutte le industrie - Saldatrici elettroniche e macchine utensili a programma elettronico - Ultrasuoni - Microscopia elettronica - Misure elettroniche industriali - Elettronica e tecnologie elettroniche nucleari - Tecnologie elettroniche varie - Macchine calcolatrici e cervelli elettronici. (r.b.)

Da questo mese di Luglio anche il prezzo dell'abbonamento sarà adeguato al prezzo di copertina: e cioè, per l'interno 1 anno **L. 3500 + 70 i.g.e.** per l'estero invariato **L. 5000 + 100 i.g.e.**

(segue da pag. 319)

La modulazione può essere effettuata direttamente a mezzo di un microfono a cristallo collegato ai morsetti o meglio attraverso uno stadio amplificatore a bassa frequenza a transistor.

Per ora la frequenza massima di questi ricevitori e trasmettitori è limitata a pochi megacicli dalle caratteristiche dei transistori a giunzione per alta frequenza fino ad ora disponibili sul mercato.

Speriamo comunque di ritrovarci presto su queste pagine per esaminare dei circuiti operanti in frequenze più interessanti per il radioamatore.

Ben presto infatti dovrebbe essere disponibile un transistor RCA di nuova concezione.

Si tratta del tipo 2N 247, a capacità particolarmente ridotta, circa 1,7 pF fra base e collettore e previsto in modo speciale per funzionare quale amplificatore a frequenza intermedia di 10,7 MHz, in apparecchi per modulazione di frequenza.

La frequenza massima di oscillazione sarebbe ben più elevata, e precisamente di 132 MHz.

## 5. - APPENDICE.

Nella tabella I sono riportate le equivalenze fra transistori di differenti marche, come pure fra diodi al germanio (pag. 319).

Alcune caratteristiche di transistori sono riportate dalla tabella II. Esse sono state estratte da una pubblicazione della Ditta INTERMETALL di Düsseldorf. \*

## TECNICA E COMMERCIO

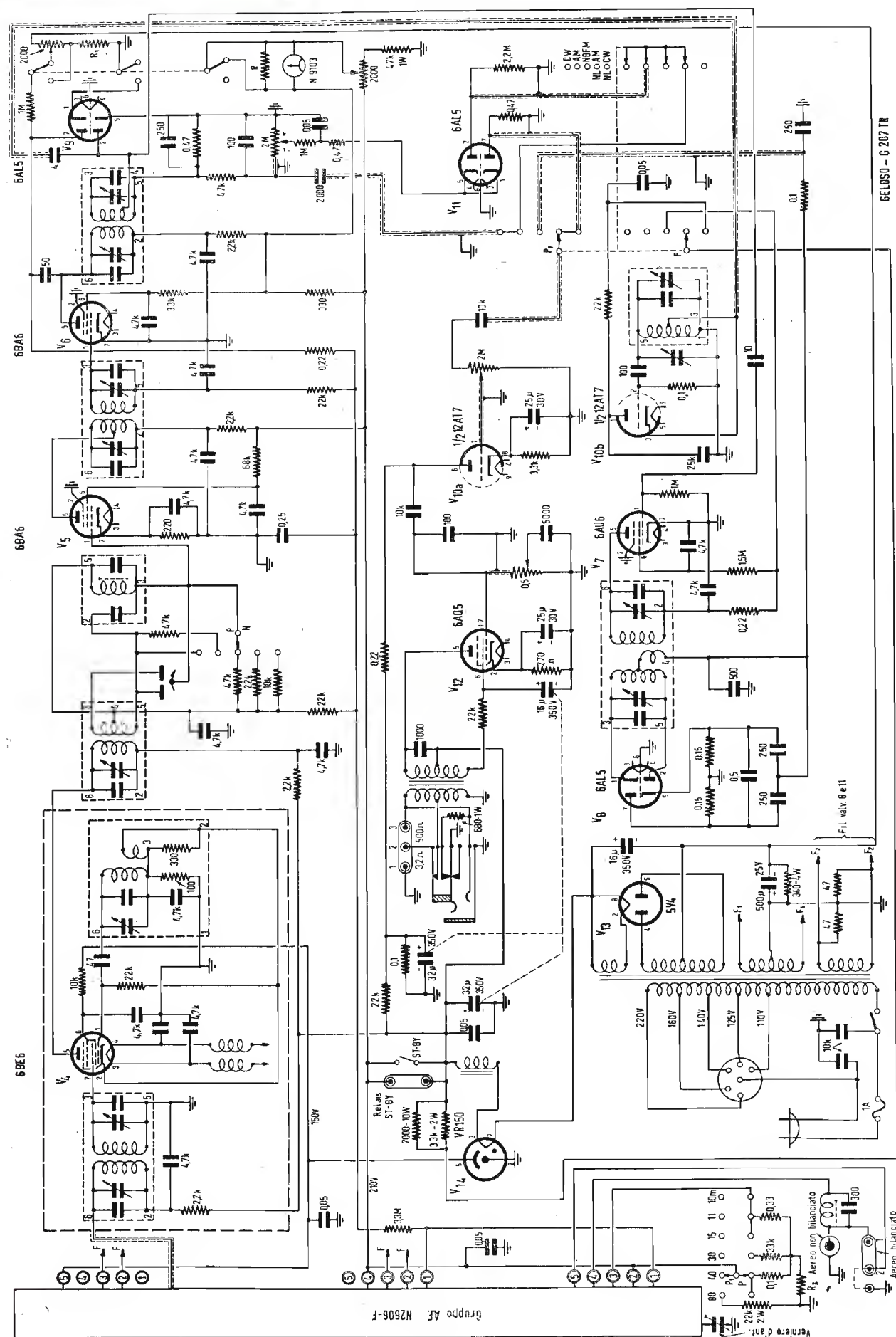
(segue da pag. 289)

è non solo inconsistente ma dannoso in quanto ci ha già relegato decisamente in coda alla ormai montante attività tecnica sperimentale che si manifesta in tutti i Paesi ove esiste un regolare servizio di TV.

Ed occorre anche rendersi conto che proprio in questo momento di febbrile attività dei laboratori alla ricerca di qualche altro dispositivo o circuito o componente od altro, che porti ad una semplificazione o ad un affinamento del sistema N.T.S.C. nei riguardi dell'apparecchio ricevente, i nostri tecnici ed i nostri laboratori, pure non dotati dei mezzi e materiali che viceversa abbondano in molti laboratori stranieri, avrebbero ancora molte probabilità di dire una loro parola e portare così un contributo fattivo alla comune causa dello sviluppo della TV a colori.

Questa non è esterofilia o inopportuna ambizione ma semplicemente buon senso nella corretta valutazione delle nostre presenti possibilità. A. Banfi





SCHEMA ELETTRICO DEL RADIORICEVITORE PER OC, GELOSO, MOD. G 207 TR

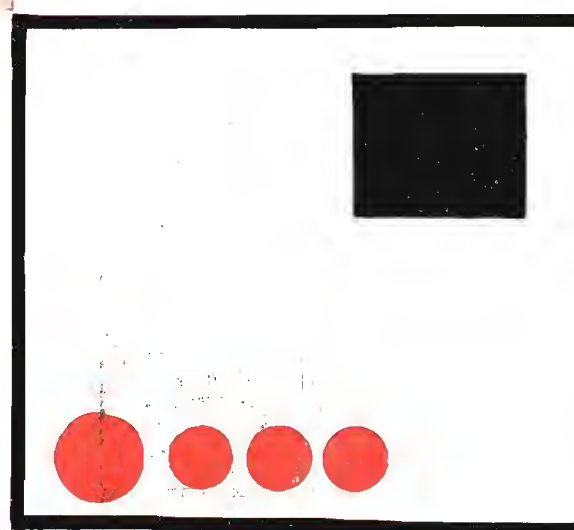
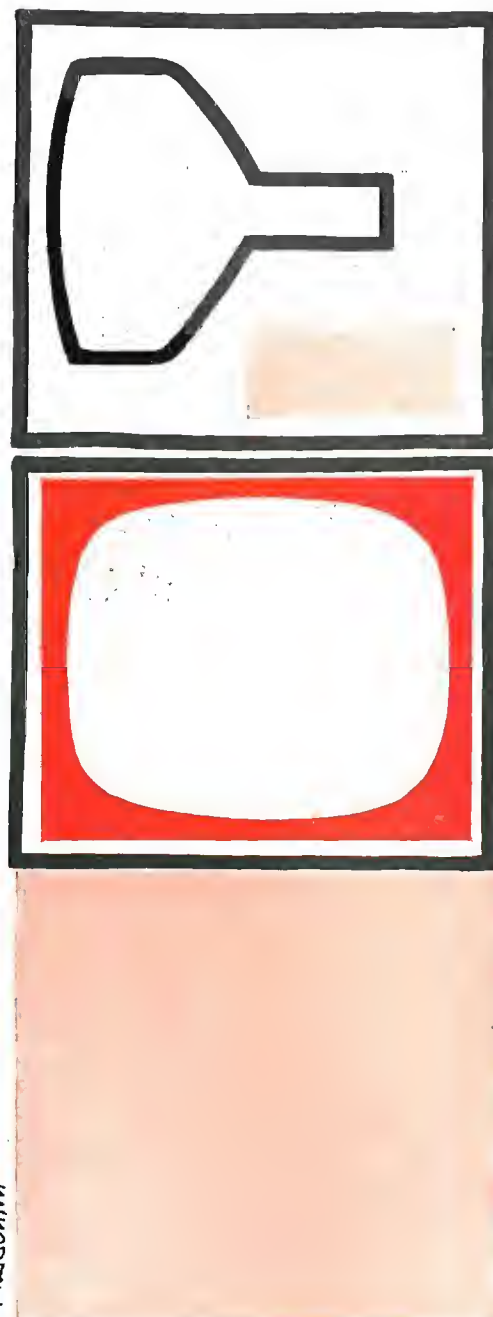


TRANSITION

17''

22''

27''



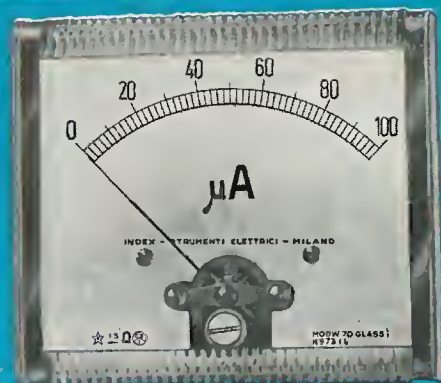
# MAJESTIC



PAVIA - VIA FRANK 15



*non c'è fiducia  
senza precisione*



serie GLASS



serie Q

### TUTTI GLI STRUMENTI

*per radiomisure  
per telefonia  
per elettrotecnica  
per elettromedicali  
per industria  
per laboratori*



**INDEX** S.R.L.

INDUSTRIA COSTRUZIONI STRUMENTI ELETTRICI DI MISURA  
MILANO - VIA NICOLA D'APULIA 12 - TELEF. 24.34.77



## NUOVE VALVOLE TV



**1X2B**

*La valvola miniatura  
rettificatrice A.A.T.  
per apparecchi portatili.*

**FABBRICA ITALIANA VALVOLE RADIO ELETTRICHE**

Via Guastalla 2 - MILANO - Tel. 700.335 - 700.535



UNE PRODUCTION FRANÇAISE  
DE CLASSE  
INTERNATIONALE



**COMPAGNIE INDUSTRIELLE FRANÇAISE  
DES TUBES ÉLECTRONIQUES**  
1, PLACE HEROLD - COURBEVOIE (Seine)  
Téléph. DEFense 37-50      Télégr. CIFTE-COURBEVOIE

**Taylor**

Generatore per TV  
con AM, FM e Sweep



MODELLO  
**94 B**

Per tutti gli standard TV

**4 Strumenti Convenzionali  
incorporati in uno solo**

- (1) Generatore di monoscopia per TV.
- (2) Generatore di segnali AM con uscita variabile di BF.
- (3) Generatore di segnali FM.
- (4) Generatore Sweep per TV.

7 gamme di frequenze:

- (1) 4 a 7 MHz
- (2) 8 a 14 MHz
- (3) 15 a 22 MHz

- (4) 30 a 45 MHz
- (5) 45 a 80 MHz

- (6) 85 a 145 MHz
- (7) 150 a 220 MHz

TUTTE IN FONDAMENTALE

#### GENERATORE DI MONOSCOPIO PER TV

**Modulazione.** Tutti i monoscopi sono interamente interlacciati, completi dei segnali di «blanching» di riga e di quadro, di sincronismo con impulsi equalizzatori per 625 e 525 righe. Tre graduazioni dei monoscopi permettono l'apprezzamento della risposta ai transistori alle frequenze alte, medie e basse. Impulsi di griglia per il controllo della linearità. Generatore di barre per la determinazione della definizione a 1,5; 2; 2,5; 3,5; 4 e 4,5 MHz. Barre orizzontali. Barre verticali con apprezzamento in MHz della banda passante. Quadro bianco, quadro nero e suono.

**Uscita a RF.** Attenuatore con tre posizioni, 0; -20 dB e -40 dB relativi a 100 mV.

**Uscita alla f. di video.** Ricavata da uno stadio a separazione catodica su 2 kΩ diretti, positiva o negativa ad un livello di 3 Volt picco-picco.

**Uscita del sincronismo.** Uscita addizionale del sincronismo su una R di 2 kΩ attraverso 8 μF. 10 Volt di tensione picco-picco con forma d'onda positiva comprendente gli impulsi di sincronismo di riga e di quadro, segnali per l'interlacciato (e

gli impulsi equalizzatori per gli standard a 625 ed a 525 righe). BF. Diretta da un separatore catodico su 2 kΩ. Tensione variabile di BF a 900 Hertz. Con ampiezza massima di 3 Volt picco-picco.

**Caratteristiche principali dei generatori di AM, di FM e di Sweep:**

**Frequenza:** da 4 a 220 MHz in sette sottogamme espanse. Precisione di taratura  $\pm 1\%$ . **Uscita:** AM 100 mV, FM e Sweep 3 mV. **Attenuazione:** 0; -20; -40 dB. **Impedenza d'uscita:** 75 ohm asimmetrica. **Frequenza di sweep:** 50-60 Hertz. **Modulazione di BF dell'AM e della FM:** a 900 Hertz sinusoidale. **Profondità di modulazione AM e deviazione di FM e Sweep:** controllabile.

**Alimentazione:** 105-125 oppure 200-250 Volt CA alla frequenza di 40-100 Hertz.

**Assorbimento totale:** 70 Watt.

**Peso:** 9 kg circa.

**Dimensioni:** 43x23x20 cm.

**Caratteristiche del mobile:** custodia in ferro con verniciatura martellata grigia.

**TAYLOR ELECTRICAL INSTRUMENTS LTD**

Montrose Avenue, Slough, Bucks

Rappresentante esclusivo per l'Italia:

**MARTANSINI s.r.l.** - Via Montebello, 30 - Tel. 667.858-652.792 - Milano



## TRIO SIMPLEX



APPARECCHIO SECONDARIO



## APPARECCHI DI COMUNICAZIONE AD ALTA VOCE

Novate Milanese - MILANO - Tel. 970.861/970.802

L'apparecchio TRIO SIMPLEX consente di eseguire un impianto con un apparecchio principale (L. 25.000) e uno, due, o tre apparecchi secondari. Questi ultimi possono essere o del tipo normale, quindi con risposta automatica SO (cad. 9.000) o del tipo riservato quindi con risposta a comando SO/B (cad. L. 10.300). La chiamata da parte del secondario è effettuata alla voce. Il trio Simplex combinazione è composto di due apparecchi (1 principale e 1 secondario) e di 15 metri di cavo. - Costa L. 34.000

La Nova produce pure gli apparecchi TRIO K per l'esecuzione di impianti complessi e di chiamata persone. E' fornitrice della Marina da guerra Italiana.



APPARECCHIO PRINCIPALE

**CHIEDETECI INFORMAZIONI -  
PROSPETTI - PREVENTIVI**

Valvole Philips Fivre  
R.C.A. Telefunken ecc.  
tubi TV Dumont Philips Fivre ecc.  
altoparlanti tutti i tipi  
parti di ricambio radio e t.v.  
strumenti di misura  
troverete presso:

# la Radio Argentina

che vanta 27 anni di attività; la più vecchia azienda della Capitale, via Torre Argentina, 47 - telef. 565.989  
**sconti massimi**

immediata spedizione della merce all'ordine

**interpellateci!**

## Rag. FRANCESCO FANELLI

Via Cassiodoro, 3 - MILANO - Telefono 383.443

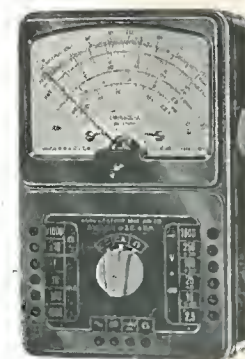
- Fili rame isolati in seta • Fili rame isolati in nylon
  - Fili rame smaltati oleoresinosi • Fili rame smaltati autosaldanti capillari da 004 mm a 0,20 • Cordine litz.
- per tutte le applicazioni elettroniche



## ELETTROCoSTRUZIONI CHINAGLIA

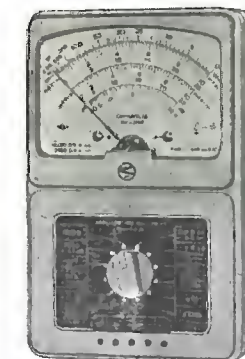
BELLUNO - Via Col di Lana, 36 - Telef. 4102  
MILANO - Via Cosimo del Fante, 14 - Tel. 383371

ANALIZZATORE Mod. AN-28  
sensibilità 5000  $\Omega$  v



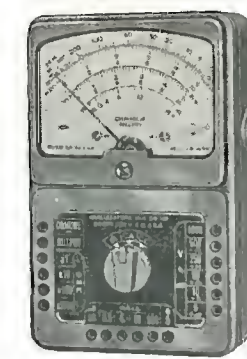
Dimensioni mm. 150 x 95 x 50

ANALIZZATORE Mod. AN-119  
sensibilità 10.000  $\Omega$  v



Dimensioni mm. 150 x 95 x 50

ANALIZZATORE Mod. AN-138  
sensibilità 20.000  $\Omega$  v



Dimensioni mm. 150 x 95 x 50

MICROTESTER  
con «signal tracer»



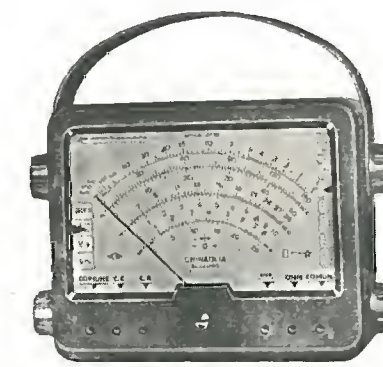
Dimensioni mm. 123 x 95 x 45

MICROTESTER Mod. 22  
sensibilità 5000  $\Omega$  v



Dimensioni mm. 95 x 84 x 45

ANALIZZATORE ELETTRONICO  
Mod. ANE - 102



Dimensioni mm. 140 x 115 x 63

PUNTATE  
Signal Tracer



Dimensioni diametro mm. 30 - lunghezza mm. 180

PROVAVALVOLE  
Mod. 560



Dimensioni mm. 245 x 305 x 115

KILOVOLTMETRO A PUNTATE Mod. KV/25  
**TV** per misure fino a 25.000 V



Dimensioni: diametro mm. 65 - lunghezza totale mm. 250



# VORAX RADIO - Viale Piave, 14 - Tel. 79.35.05 - MILANO

Minuterie viterie<sup>2</sup> pezzi staccati per la Radio e la Televisione - Strumenti di misura

## NUOVO TESTER S.O. 114 a 20.000 OHM per Volt Massima sensibilità - Gran precisione

Strumento a bobina mobile da 50  $\mu$ A  
Arco della scala mm. 100 - Flangia mm. 125 x 100

CAMPI  
DI  
MISURA

V. c. c. 10 - 50 - 250 - 1000 - 5000 V.  
(20.000 Ohm/V.)  
V. c. a. 10 - 50 - 250 - 1000 - 5000 V.  
(5.000 Ohm/V.)  
A. c. c. 100 micro A. - 10 - 100 - 500 mA.  
Ohm: 2 kOhm - 200 kOhm - 20 Mohm con  
alimentazione a pile.  
Fino a 400 Mohm con alimentazione  
esterna da 120 a 160 V. c. a.  
Decibel da -3 a +55.

Dimensioni: mm. 240 x 210 x 90  
Peso netto: Kg. 1.750

## OSCILLATORE MODULATO S.O. 122 preciso, stabile

INDISPENSABILE PER IL RADIORIPARATORE

Modulato a 400 cicli p/s. oppure non modulato -  
Possibilità di prelevare una tensione a B. F. e  
di modulazione con tensione esterna. Mano-  
pola a demoltiplica da 1 a 6 - Scala a grande  
raggio - Valvole: oscillatrice-modulatrice 6SN7  
più una raddrizzatrice.

GAMME D'ONDA:

A da 147 a 200 KHz E da 1,4 a 3,5 MHz  
B da 200 a 520 KHz F da 3,5 a 9 MHz  
C da 517,5 a 702 KHz G da 7 a 18 MHz  
D da 0,7 a 1,75 MHz H da 10,5 a 27 MHz



Dimensioni: mm. 240 x 180 x 130  
Peso netto: Kg. 4 circa



Dimensioni: mm. 240 x 180 x 130  
Peso netto: Kg. 4.200 circa

## VOLTMETRO a VALVOLA S.O. 300

Voltmetro a c. c.  
(impedenza di entrata 11 Megaohm)  
5 - 10 - 100 - 500 - 1000 V

Voltmetro a c. a.  
(impedenza di entrata 3 Megaohm)  
5 - 10 - 100 - 500 - 1000 V

Ohmetro:  
da 0,2 Ohm a 1000 Megaohm in 5  
portate diverse.

Lettura a centro scala: 10 - 100 - 1000  
- 10.000 Ohm e 10 Megaohm.

## ENERGO ITALIANA MILANO VIA CARNIA 30 - TELEF. 287.166

### FILO AUTOSALDANTE

**energo**  
*super extra*



**3 anime deossidanti**  
**resina esente da cloro**  
**massima velocità di**  
**saldatura**  
**sviluppo minimo di**  
**fumo**

CONFORME ALLA NORMA  
INGLESE M.O.S. DTD/598

non corrode la punta dei saldatori



## TESTERS ANALIZZATORI - CAPACIMETRI - MISURATORI D'USCITA MODELLO BREVETTATO 630 «ICE» E MODELLO BREVETTATO 680 «ICE»

Sensibilità 5.000 Ohms x Volt

Sensibilità 20.000 Ohms x Volt

Essi sono strumenti completi, veramente professionali, costruiti dopo innumerevoli prove di laboratorio da una grande industria. Per le loro molteplici caratteristiche, sia tecniche che costruttive essi sono stati brevettati sia in tutti i particolari dello schema elettrico come nella costruzione meccanica e vengono ceduti a scopo di propaganda ad un prezzo in concorrenza con qualsiasi altro strumento dell'attuale produzione sia nazionale che estera!

### IL MODELLO 630 presenta i seguenti requisiti:

- Altissime sensibilità sia in C.C. che in C.A. (500 Ohms x Volt)
- 27 PORTATE DIFFERENTI
- ASSENZA DI COMMUTATORI sia rotanti che a leva!!!
- Sicurezza di precisione nelle letture ed eliminazione di guasti dovuti a contatti imperfetti!
- CAPACIMETRO CON DOPPIA PORTATA e scala tarata direttamente in pF. Con letture dirette da 50 pF fino a 500.000 pF. Possibilità di prova anche dei condensatori di livellamento sia a carta che elettrolitici (da 1 a 100  $\mu$ F).
- MISURATORE D'USCITA tarato sia in Volt come in dB con scala tracciata secondo il moderno standard internazionale 0 dB = 1 mW su 600 Ohms di impedenza costante.
- MISURE D'INTENSITA' in 5 portate da 500 microampères fondo scala fino a 5 ampères.
- MISURE DI TENSIONE SIA IN C.C. CHE IN C.A. con possibilità di letture da 0,1 volt a 1000 volts in 5 portate differenti.
- OHMMETRO A 5 PORTATE ( $\times 1 \times 10 \times 100 \times 1000 \times 10.000$ ) per misure di basse, medie ed altissime resistenze (minimo 1 Ohm - MASSIMO 100 «cento» megaohms!!!).
- Strumento con ampia scala (mm. 83x55) di facile lettura.
- Dimensioni mm. 96x140 - Spessore massimo soli 38 mm. Ultrapiatto!!! Perfettamente tascabile - Peso grammi 500.

IL MODELLO 680 è identico al precedente ma ha la sensibilità in C.C. di 20.000 Ohms per Volt. Il numero delle portate è ridotto a 25 compresa però una portata diretta di 50  $\mu$ A fondo scala.

PREZZO propagandistico per radioriparatori e rivenditori:

Tester modello 630 L. 8.860!!!

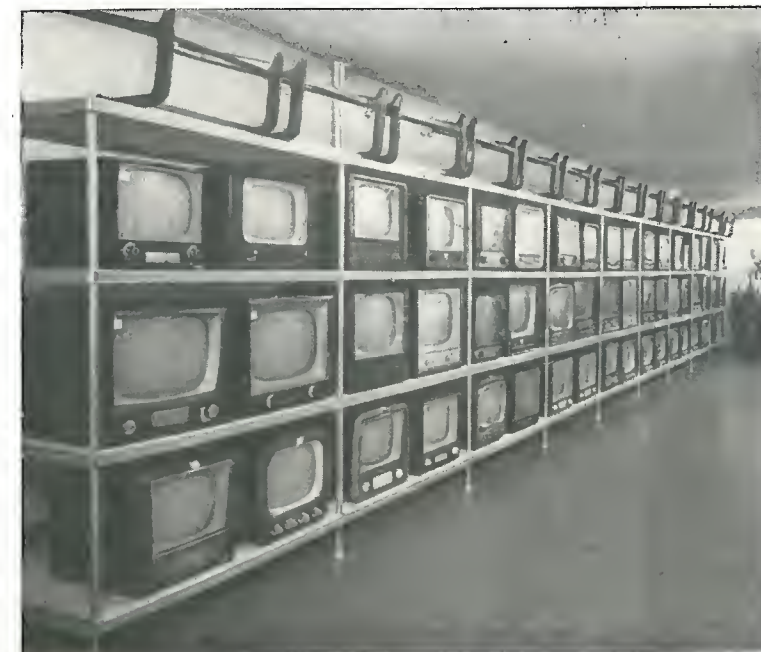
Tester modello 680 L. 10.850!!!

Gli strumenti vengono forniti completi di puntali, manuale d'istruzione e pila interna da 3 Volts franco ns. Stabilimento. A richiesta astuccio in vinipelle L. 480.



**I.C.E.** INDUSTRIA COSTRUZIONI  
ELETTROMECCANICHE  
MILANO Lio Rutilio, 14/16 - Tele. 531.554-5-6

## Scaffalature metalliche smontabili



**FEAL**

Montaggi e smontaggi rapidissimi  
Possibilità di modifiche o adattamenti  
Linearmente semplici ed eleganti  
Inalterabilità e durata illimitata  
Elevate caratteristiche meccaniche

Impianti per : Magazzini - Depositi Industriali - Negozi - Uffici - Archivi

CHIEDETE OPUSCOLI





### KRYLON INC. PHILADELPHIA, U.S.A.

Il KRYLON TV, applicato con lo spruzzo a tutte le connessioni di Alta Tensione (bobine, zoccoli, isolanti del raddrizzatore, trasformatore, ecc.), previene l'effetto corona, frequente causa di rigature e sfioccamenti sullo schermo TV. L'applicazione del KRYLON TV elimina pure la formazione di archi oscuri causati dall'umidità.

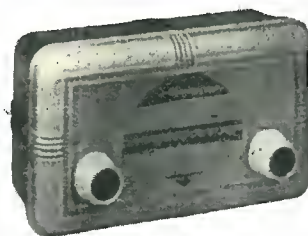
**Assicurate il massimo rendimento e più lunga durata agli impianti televisivi con soluzione acrilica**  
**KRYLON TV**

Concessionario di vendita per l'Italia:

**R. G. R.**

CORSO ITALIA, 35 - MILANO - TELEF. 30.580

### UNICO RICEVITORE IN ITALIA. L. 7.000



Ricevitore radio a 2 valvole e radd. selenio. 125/220 volt. Altoparlante - Scaletta numerica - Certificato garanzia 1 anno.

Altro tipo a transistor modello Dick L. 4.500.

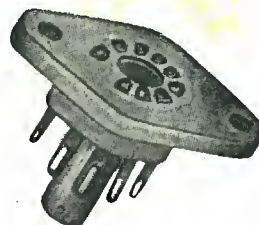
Ordini e vaglia sul c. c. p. 9/18993

DITTA CARIDI CIANCARLO - VIA D. DURO 2058 - VENEZIA

### PRIMARIA FABBRICA EUROPEA DI SUPPORTI PER VALVOLE RADIOFONICHE

SUVAL

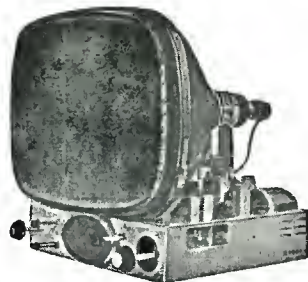
di G. GAMBA



ESPORTAZIONE IN TUTTA EUROPA ED IN U.S.A. - FORNITORE DELLA «PHILIPS»

Sede: MILANO - Via G. DEZZA 47 - TELEF. 44.330 - 48.77.27  
Stabilim.: MILANO - Via G. Dezza 47 - BREMBILLA (Bergamo)

### A / STARS di ENZO NICOLA



TELEVISORI PRODUZ. PROPRIA e delle migliori marche nazionali ed estere

Scatola montaggio ASTARS a 17 e 21 pollici con particolari PHILIPS E GELOSO Gruppo a sei canali per le frequenze italiane di tipo «Sinto-sci»

Vernieri isolati in ceramica per tutte le applicazioni. Parti staccate per televisione - MF - trasmettitori, ecc. «Rappresentanza con deposito esclusivo per il Piemonte dei condensatori C.R.E.A.S.»

A / STARS Via Barbaroux, 9 - TORINO } Tel. 49.507  
Tel. 49.974



**SUPERPILA**  
BATTERIE PER RADIO

# SIMPSON

ELECTRIC COMPANY (U. S. A.)

STRUMENTI CHE MANTENGONO LA TARATURA

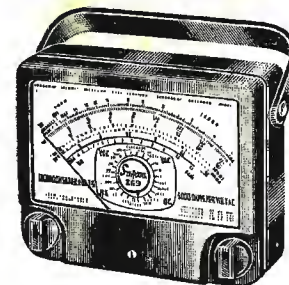


**260**

IL TESTER DI PRECISIONE PIU' POPOLARE NEL MONDO

29 PORTATE

volt - ohm - milliamperes  
1.000 ohm per volt c. a.  
20.000 ohm per volt c. c.  
Si può fornire 1 probe per 25.000 volt c. c. e 1 probe per 50.000 volt c. c.



Volt - ohm - milliamperes

**MOD. 269**

100.000 ohm V c.c.

33 PORTATE

il più sensibile tester attualmente esistente - scala a grande lunghezza 155 mm.



**MOD. 479**

GENERATORE DI SEGNALI TV-FM

comprende 1 generatore Marker con cristallo di taratura, 1 generatore FM  
Preciso, robusto, pratico, maneggevole

### ALTRI STRUMENTI SIMPSON

Nuovo Mod. 498 A e 498 D Misuratore d'intensità di campo - usabile in città o campagna - funzionamento con batteria o in corrente alternata.

Mod. 1000 Provavalvole a conduttanza di placca con possibilità di rapide prove con letture in ohm per le dispersioni e i corti circuiti.

Mod. 480 Genescope è uguale al generatore Mod. 479 però è completo di oscilloscopio da 3".

Nuovo Mod. 458 Oscilloscopio a 7" - ideale per il servizio TV a colori ed a bianconero.

Mod. 303 Voltmetro elettronico - strumento universale per misure in c.c. r.f. ed ohm.

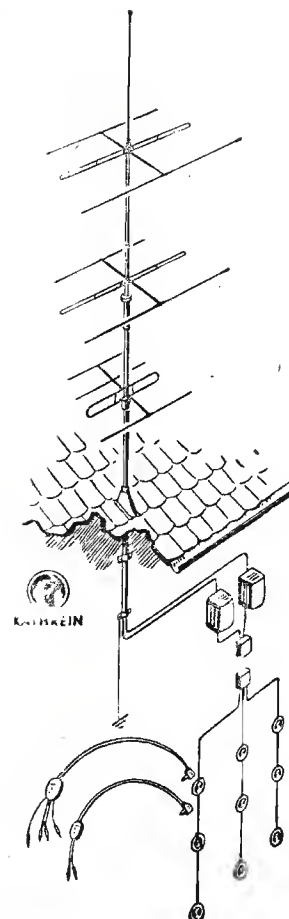
Mod. 262 Volt - ohm - milliamperometro - scala a grande lunghezza - 20.000  $\Omega/V$  in c.c. e 5000  $\Omega/V$  in c.a.

Agente esclusivo per l'Italia:

Dott. Ing. MARIO VIANELLO

Via L. Anelli, num. 13 - MILANO - Telefono 553.081

# Antenne TV-MF



# KATHREIN

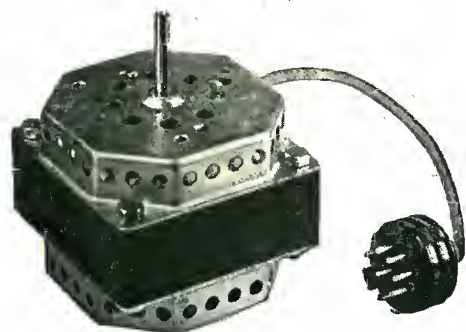
*la più vecchia e la più grande fabbrica europea 30 anni di esperienza*

Rappresentante generale:

**Ing. OSCAR ROJE**

Via Torquato Tasso, 7 - MILANO - Tel. 432.241 - 462.319





## MOTORINI per REGISTRATORI a NASTRO a 2 velocità

**Modello 85/32/2V**

4/2 Poli - 1400 - 2800 giri

Massa ruotante bilanciata dinamicamente

Absoluta silenziosità - Nessuna vibrazione

Potenza massima 42/45 W

Centratrice compensata - Bronzine autolubrificate

**ITELECTRA - MILANO**

VIA TEODOSIO, 96 - TELEFONO 28.70.28

## TERZAGO TRINCIATURA S.p.A.

MILANO - Via Taormina 28 - Via Cufra 23 - Tel. 606020 - 600191

LAMELLE PER TRASFORMATORI DI QUALSIASI POTENZA  
E TIPO - CALOTTE E SERRAPACCHI PER TRASFORMA-  
TORI - LAVORI DI IMBOTTITURA

*La Società è attrezzata con mac-  
chinario modernissimo per le lavo-  
razioni speciali e di grande serie*

**Gargaradio**  
R. GARGATAGLI

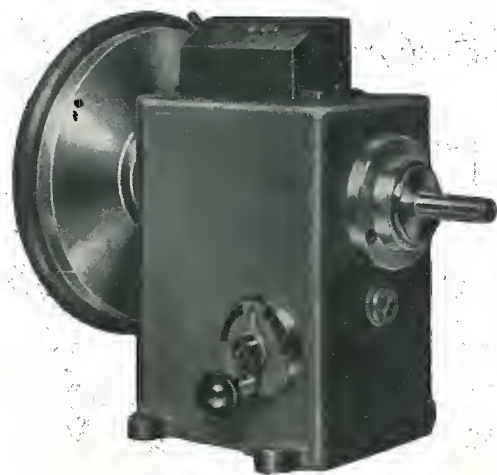
Via Palestina, 40 - Milano - Tel 270.888

Bobinatrici per avvolgimenti lineari  
e a nido d'ape

# Ing. R. PARAVICINI S.R.L. MILANO

Via Nerino, 8  
Telefono 803.426

## BOBINATRICI PER INDUSTRIA ELETTRICA



**TIPO AP 1**

Tipo **MP2A** Automatica a spire parallele per fili da 0,06 a 1,40 mm

Tipo **MP3** Automatica a spire parallele per fili da 0,05 a 2 mm

Tipo **MP3M.4** o M. 6 per bobinaggi **MULTIPLI**

Tipo **PV 4** Automatica a spire parallele e per fili fino a 3 mm

Tipo **PV 4M** Automatica per bobinaggi **MULTIPLI**

Tipo **PV 7** Automatica a spire incrociate - Altissima precisione -  
Differenza rapporti fino a 0,0003

Tipo **AP 1** Semplice con riduttore - Da banco

**PORTAROCHE TIPI NUOVI**

PER FILI CAPILLARI E MEDI

# Registrazione sempre uniforme con il nastro magnetico **KODAVOX!**



La registrazione sonora con il nastro magnetico  
prodotto dalla Kodak - il KODAVOX - si produce  
limpida e uniforme in ogni condizione  
di lavoro e d'ambiente. Il rumore di fondo  
è praticamente nullo, l'effetto d'eco abolito,  
la cancellazione perfetta.

Il livello di uscita, ottenuto  
senza distorsione, è particolarmente alto,  
quindi: resa eccellente a tutti i livelli  
di registrazione.

L'uniformità di spessore dell'emulsione magnetica  
del Kodavox assicura una regolarità di audizione  
tale che le differenze di livello di lettura  
da un nastro all'altro non eccedono di 0,5 db.

# Kodak

Milano, via V. Pisani 16



# Il monoscopio televisivo a vostra disposizione in ogni momento!



## **B&K** DYNA-SCAN PICTURE AND PATTERN VIDEO GENERATOR

MODELLO 1000

### ALCUNI IMPIEGHI DEL GENERATORE DI MONOSCOPI E DI IMMAGINI MODELLO 1000

La flessibilità di impiego del Generatore di monoscopi ed immagini — Modello 1000 — può essere agevolmente giudicata da questa breve rassegna delle presentazioni principali che questo Generatore può fornire.

- Riproduzione di qualsiasi diapositiva di 75 x 100 m/m.
- Controllo e regolazione della linearità orizzontale e verticale e delle dimensioni del quadro televisivo sia nei ricevitori TV per bianco e nero che per TV a colori.
- Controllo dell'ombreggiatura e del contrasto di tutti i ricevitori TV.
- Controllo della sensibilità a RF e regolazione del Controllo Automatico di guadagno per TV in bianco e nero per TV a colori.
- Generatore di punti bianchi per il controllo e la regolazione della convergenza statica dei ricevitori di TV a colori.
- Generatore di linee bianche incrociate per il controllo e la regolazione della convergenza dinamica dei ricevitori TV a colori.
- Controllo della stabilità del sincronismo composto in tutti i tipi di ricevitori TV.
- Generatore di monoscopio dimostrativo per la presentazione delle caratteristiche di qualsiasi tipo di televisore.
- Controllo della larghezza di bande e del potere risolutivo di qualsiasi televisore.
- Di facile trasportabilità, può essere usato dovunque.
- Può servire alla presentazione di merci al pubblico nei grandi magazzini.
- Può servire quale trasmettitore di sistemi «cerca-persone» in assemblee, ospedali, uffici, ecc.
- Controllo degli amplificatori video.
- Modulatore di un trasmettitore esterno per trasmissioni televisive in campo diletantistico.
- Riproduzione di diapositive relative a qualsiasi messaggio da trasmettere in luoghi a distanza.
- Controllo delle caratteristiche degli impianti di antenne centralizzate.

### CARATTERISTICHE TECNICHE PRINCIPALI

**Uscita a RF:** variabile con un massimo di 50.000 microvolt su 75 ohm.

**Impedenza d'uscita:** 75 ohm nominali.

**Frequenze portanti:** in fondamentale = Canali 2-6; in armonia = Canali 7-13.

#### Regolazione di Servizio:

Sbarre orizzontali  
Sbarre verticali  
Dimensioni dell'orizzontale  
Linearità orizzontale  
Dimensioni del verticale  
Linearità verticale  
Guadagno del moltiplicatore

#### Accessori:

Manuale di istruzioni.  
Diapositiva per il monoscopio con testa di indiano.  
Diapositiva per monoscopio formato da punti bianchi.  
Diapositiva per monoscopio formato da linee bianche incrociate.  
Diapositiva in acetato chiaro.

Distributori per l'Italia.

S. r. l. **LARIR** MILANO - Piazza Cinque Giornate 1 - telefoni 795.762 - 795.763